

32 3048

PRIRODNO-MATEMATIČKI FAKULTET

GRUPA ZA MEHANIKU

P R I L O G T E O R I J I P R E K I D N I H
S T R U J A N J A

DOKTORSKA DISERTACIJA

KANDIDAT:

MOMČILO ZDRAVKOVIĆ, dipl. ing.,
magistar mehaničkih nauka

UNIVERZITET U BEOGRADU

SEPTEMBAR 1965

S A D R Ž A J

	Strana
REZIME	5
1. UVOD	7
2. ANALIZA MEHANIZMA POJAVE DVOJNOG NIZA VIHORA	11
3. TEŠKOĆE PRI PRIMENI NAVIJE-STOKSOVIH JEDNAČINA NA SLUČAJ OPŠTEG VIHORNOG STRUJANJA	21
4. UVODNENJE TEORIJSKOG MODELA VRTLOŽNOG SLOJA	24
5. NAMOTAVANJE VRTLOŽNOG SLOJA IZA PLOČE Grafičko rešavanje konkretnog zadatka	31 34
6. APROKSIMACIJA SPIRALNOG VRTLOŽNOG SLOJA	45
7. UPOREĐIVANJE SA OGLEDNIM PODACIMA	53
8. O POSTOJANJU DVOJNOG VRTLOŽNOG NIZA	60
9. PRELAZ NA DVOJNI VIHORNI NIZ	69
9.1. Rasmeštajni poredak na početku dvojnog vihornog niza	69
9.2. Karmanova oblast dvojnog vihornog niza	73
9.3. Širenje dvojnog vihornog niza usled difuzije vihora	79
10. ZAKLJUČCI	85
LITERATURA	89

"L'imagination se lassera plutôt de
concevoir que la nature de fournir."

Pascal

("Ljudska mašta će se pre zamoriti od
shvatanja pojava nego priroda od
snabdevanja njina")

Paskal



Sl. 1. Dvojni niz vihora iz tela (snimak Ričardsa 39),

REZIME

U prvom poglavlju, je dat istorijski pregled razvoja teorija vihornih² i vrtložnih kretanja fluida sa kritičkim osvrtom na usroke odstupanja od oglednih podataka. Posebno je istaknuto da ova kretanja predstavljaju veoma čestu pojavu, kako pri kretanju čvrstih tela u fluidu, tako i pri obstrujavanju nepokretnih tela strujom fluida. Prikazani su male poznati radovi Golubijeva, koji je pokazao da dvojni nizovi vihora, ukoliko imaju suprotni smer obrtanja od Karmánovog vrtložnog niza, stvaraju potisak.

U drugom poglavlju je analiziran fizički mehanizam nastajanja i naimeničnog odvajanja vihora iz tela. Uvojena je idejna koncepcija po kojoj je nastajanje vihora iz tela posledica namotavanja vrtložnog sloja koji se odvajaju od prepreke. Oglednim snimcima je pokazano i stvarno postojanje ovakve pojave iz prepreke. Fizički mehanizam naimeničnog odvajanja vihora je protumačen periodičnim kretanjem "linije prijanjanja" od jedne do druge ivice tela. Ogledi su pokazali da ako se omogućiti "kretanje" ove linije iz tela postavljanjem pregradjivača, onda prestaje odvajanje vihora u celom opsegu značilaca Rejnoldsa u kome se obično javlja. Ovakva idejna koncepcija tumačenja pojave iskorisćena je u matematičkoj interpretaciji pojave.

U trećem poglavlju je prikazana nemogućnost rešavanja Navije-Stoksovih jednačina za slučaj opšteg vihornog strujanja. Pokazalo se da jedino rešenje (ako su nezavisno promenljive razdvojene) koje zadovoljava granične i početne uslove vihornog strujanja, jeste slučaj strujanja difuzije osamljenog vihora.

² U ovom radu se pod vihornim kretanjem podrazumeva strujanje koje nije potencijalno ni u jednoj tački polja, dok pri vrtložnom strujanju imaju potencijalne brzinske polje isključujući u njemu samo tačku u kojoj se nalaze vrtložna vrtanja.

U četvrtom poglavlju je uveden teorijski model vrtložnog sloja kao dalji korak u poboljšanju teorije prekidnih strujanja. Postavljene su približne diferencijalne jednačine kretanja, a zatim i opšti sistem nelinearnih integro-diferencijalnih jednačina kretanja. S obzirom da se vreme javlja kao parametar, to je ukoliko se sistem jednačina reši, moguće dobiti oblik vrtložnog sloja posle proizvoljnog vremena njegovog nastajanja.

U petom poglavlju je sprovedeno grafičko rešavanje sadatka o obliku i kretanju vrtložnog sloja. Pokazalo se da se konačni vrtložni sloj nametava u spiralu, koja tokom vremena narasta. Ovo dovodi do znatnog povećanja brzine u brazdi u poredjenju sa teorijom Kirchofa i Helmholtza što predstavlja osnovni uzrok povećanja otpora prepreke u struji fluida, jer izaziva uvećanje potpritiska u tragu iza tela.

U šestom poglavlju je izvedena aproksimacija spiralnog vrtložnog sloja logaritamskom spiralom. Sa ovako unapred usvojenim oblikom vrtložnog sloja se pokazalo da je moguće rešiti integrale koji se pojavljuju u tom slučaju. Rešenje je dobijeno razvijanjem podintegralne funkcije u red pri čemu se zadržavaju samo prva tri člana, a ~~ostatak~~ ostatak je procenjena greška usled njegovog zanemarivanja. Na osnovu toga je moguće omedjiti područje u kome ovakve rešenje važi pri unapred propisanoj tačnosti. Određjeno je rezultujuće strujno polje koje stvara vrtložni sloj oblika logaritamske spirale.

U sedmom poglavlju je izvršeno uporedjivanje sa oglednim podacima. Uz pomoć dimenzionalne analize je ukazano na novi bezdimenzioni značilac za opisivanje pojave odvajanja vihora iza tela. Novi značilac je pogodniji od značilaca Strouhala, u prvom redu, stoga, što je korelaciona zavisnost linearna. Takođe je pokazano da se zanaljiv fenomen uticaja pritiska i temperature može isto tako linearno predstaviti, i postavljena je jedna nova opšta korelacija za određivanje učestanosti odvajanja vihora iza tela.

U osmom je poglavlju ispitivana opravdanost primene Karmanove teorije u slučaju kada je fluid viskozan. Nadjeno je da postoji samo određena oblast, u tragu iza tela, za koju važi Karmanova teorija. Ispred ove oblasti nalazi se oblast u kojoj početak vihornog niza ne sme da se zanemari, dok se iza ove prostire oblast u kojoj se uticaj viskoznosti ne može da zanemari. Zanimljivo je da postoji prilično veliki deo opsega značilaca Rejnoldsa u kojoj dolazi do stvaranja dvojnog vihornog niza za koji teorija Karmana uopšte ne važi, što objašnjava zašto su u tom opsegu bila najveća odstupanja između ogle- da i teorije.

U devetom poglavlju je teorijski razmatrana i protumačena dav- no zapažena pojava širenja dvojnog niza vihora iza tela. Postavljene su funkcionalne zavisnosti za određivanje oblika širenja početka vihornog niza, kao i oblika širenja vihornog niza u oblasti dejstva viskoznosti. Na osnovu radova Mukera i Tinea postavljene su jednači- ne raspodele brzina u vihoru za uzdužni i poprečni pravac i pokazano je kako se teorijska predviđanja vrlo dobro poklapaju sa podacima ogle- da.

Na kraju, u poslednjem poglavlju, su u sažetom obliku izvučeni najvažniji zaključci do kojih se došlo u ovom radu.

1. U V O D

Pojava vihornih kretanja fluida u tragu iza prepreke nestruje-likog oblika je veoma davno zapažena (još u antici kako navodi Flahsbart¹²⁾). Međutim, uprkos tome, pitanje teorijskog objašnjenja mehanizma strujanja tečnosti ili gasa u tragu iza loše optičanog tela jeste jedno od ^{nerasvetljenih} pitanja savremene teorijske mehanike fluida. U toj oblasti postoji ogroman ogledni materijal, kao i veliki broj teorijskih radova sa pokušajima teorijskog objašnjenja pojave. Ali, kao po pravilu, većina teorijskih tumačenja zasniva se na manje ili više proizvoljnim pretpostavkama, što dovodi samo do delimičnog slaganja sa podacima iz ogleda. S druge strane, i ogledni rezultati se, takođe, dosta razlikuju u radovima raznih istraživača, a ednostvo iscrpnih opisivanja svih detalja i metoda merenja najčešće nas primoravaju da sa izvesnom opreznosću donesimo zaključke prilikom korišćenja raznih podataka.

Pojava odvajanja vihara iza tela koje se kreće u fluidu nije do danas teorijski objašnjena, jer problem još nije matematički formulisan. Činjenica da strujanje fluida oko tela može da bude periodično je vrlo često čak i čujna. Fijuk biča ili bačenog koplja kroz vazduh, hujanje žica na dalokovodima na vetru, zviždanje brodske ušadi na vreme bure, pištanje zategnutih žica na avionu, pa čak i nastajanje muzičkih tonova na "eolskoj harfi", poznatoj još u antici, predstavljaju čujnu manifestaciju ove pojave. Lepršanje sastave na vetru predstavlja jedan primer njenog vidnog manifestovanja.

Prvi je Strouhal⁴⁴⁾ 1878. godine otpočeo sa sistematskim ispitivanjima koja su pokazala zavisnost eolskog tona žice na vetru od njegeve brzine. Teorijsko tumačenje pojave dao je lord Rejli^{37a, 37b)}. Mada je već 1902. godine Alborn²⁾ snimio periodičke vihore u tragu iza optičanog tela, tek je Benar^{4a)} 1908. godine povezao muzičke tonove koje je ispitivao Strouhal sa dva najmenična nisa jednako raspo-



redjenih vihora iza obstrujavanog cilindra u vodi, kao posledice iste pojave.

Kao i za veliki broj važnih mehaničkih problema gde ne postoji još matematička postavka zadatka, već glavnu ulogu igraju ogledi, ovi jedini daju mogućnost uočavanja najprostijih zavisnosti. Za ispravnu postavku i obradu oglada, s jedne strane, i ustanovljavanje opšte zakonomernosti, koja se može primeniti na slučajeve koje ogled nije dao neposredno, s druge strane, kao i za ulaženje u suštinu pojave neophedno je ispomoci se teorijom sličnosti. Stega se i učestanost odvajanja vihora iza tela izražava pomoću bezdimenzionog znaka koji nosi ime Strouhal.

1911. godine Karman ^{23a)} je postavio teoriju beskrajnog dvojnog niza vrtloga ne ulazeći u to kako je ovakav sistem nastao. Iz uslova stabilnosti sistema, on je dobio parametre geometrijske konfiguracije sistema, a preke zakona o količini kretanja izračunao je veličinu otpora koja se jedine dovoljne dobro poklapala sa merenjima. Međutim, Kočin ^{26a)} 1939. godine je minuciornom analizom pokazao da je Karmanov geometrijski raspoređaj u opštem slučaju nestabilan i da predstavlja samo slučaj najmanje nestabilnosti sistema. Dolapčijev ^{9a, 9b)} je uopštio Karmanovu teoriju na dvoparametarske vrtložne nizove. Primenom Kočinove metode malih pomeranja pokazano je da su i dvoparametarski vrtložni nizovi u opštem slučaju nestabilni (Dolapčijev ^{9c, 10)} i drugi), a da šahovski raspoređajni poredak predstavlja samo najmanju nestabilnost sistema. Naglasimo da je Benar ^{4a)} ukazao na vrlo velika odstupanja svojih oglednih podataka od onih predviđenih Karmanovom teorijom.

Bee i Peterson ^{4b)} su 1911. godine na osnovu neposrednih vizuelnih opažanja postavili teorijski model "oscilatornog traga" iza prepreke. Oni su pretpostavili da ugacno ubrzanje mase fluida u tragu iza tela potiče usled aerodinamičke sile koja nastaje ako trag zamene nino aeroprofilem istog oblika, čija je dužina jednaka periodu traga.

Međutim, ovaj model nema fizičkog opravdanja, jer uopšte ne uvodi u rasmatranje vihorna krstanja fluida u tragu iza tela.

Abernati i Kronauer ¹⁾ su pošli od toga da se vrtložni slojevi nepromenljive, ali suprotnosmerne cirkulacije mogu predstaviti sa dva beskrajna niza konačnih vrtložnih niti. Zatim su ispitivali dejstvo antisimetričnih sinusoidalnih poremećaja raznih talasnih dužina na ovakve u početku paralelne nizove vrtložnih niti. Pokazalo se da tokom vremena dolazi do stvaranja dvojnog niza naizmeničnih vihora, koji se sastoje iz nagonilanih vrtložnih niti, nastalih kao rezultat međusobnog dejstva vrtložnih nizova. Osnovni nedostatak ove teorije jeste neophodnost postojanja sinusnih poremećaja u strujanju da bi došlo do obrazovanja dvojnog niza vihora, kao i da je potrebne izvesno vremensko razdoblje da se vrtlozi nagonilaju. Međutim, na sl. 2 (treći snimak) se vidi da se veliki vihor obrazuje neposredno iza ploče.

S obzirom na relativno retke teorijske obradivanje ovoga problema može se steći pogrešan utisak da se ovakvi vihorni sistemi javljaju vrlo retke u praksi. Međutim, u prirodi postoji niz pojava, čije mehaničko objašnjenje i njihova teorija su u najtešnjoj vezi sa teorijom dvojnog niza vihora.

Golubjev ¹⁶⁾ je pokazao, u nizu svojih radova, da se uporede sa sadatkom određivanja otpora javlja, u izvesnom smislu, obrnuti sadat - određivanje potiska mašućeg krila. U oba slučaja se javlja dvojni/naizmenični niz vihora iza tela, ali smer cirkulacije je obrnut. Ogledi Polenskog ³⁵⁾ su vizuelno pokazali postojanje dvojnog niza vihora iza mašućeg krila. Golubjev ¹⁶⁾ je tako uspeo da teorijski objasni i slučaj leta malih ptica i nekih insekata u mestu, što predstavlja savršenu nemogućnost s tačke gledišta savremene teorije us-gonskih površina.

Vihorna slika koja se još više približava slučaju potiska mašućeg krila iznenađeno kod obrazovanja potisne sile kod čamca pri radu sa krmenim veslom, koje ribari vrlo često upotrebljavaju. Ovde se kao

rezultat rada krmenog vesla isa čamca obrazuje tipični naizmenični dvojni niz vihora, ali sa smerom obrtanja suprotnom onom koga imamo u slučaju Karmanovog dvojnog niza vihora iza loše optičanih prepreka. S tačke gledišta obrazovanja sile potiska, dobijamo i ovde vihorni sistem koji se u potpunosti poklapa sa onim koga imamo kod mašućeg krila.

Na kraju, neobično blisak radu krmenog vesla je i mehanizam obrazovanja sile potiska pri radu repa riba. To znači da rep ribe radi u potpunosti isto kao krmene veslo, pri čemu veoma složena izvijajuća kretanja repa možda predstavljaju vrlo fini mehanizam koji primorava odvajanje vihora samo pri najvećim otklonima repa. U prilog takvih zaključaka ide i zapaženo prisustvo obrazovanih vihora, i to prilično intenzivnih, isa ribe koja pliva.

Navedeni primeri ukazuju na izuzetnu važnost koju vihorna kretanja imaju u objašnjenju osnovnih mehaničkih pojava u prirodi. Ali u teorijskim razmatranjima nailazimo na prilično veliki broj još neistraženih pitanja. Pre svega nisu objašnjeni uslovi stvaranja vihora kao rezultata raspada edvojenog graničnog sloja; nesumnjivo da je taj zadatak najtežnje povezan sa drugim veoma složenim i neizučanim problemom o stabilnosti kretanja edvojenog graničnog sloja.

2. ANALIZA MEHANIZMA POJAVE DVOJNOG NIZA VIHORA

Poznato je da se pri opticanju raznih prepreka odvajaju struja fluida duž brzođe, to jest granične strujnice, što znači da se u neposrednoj blizini isa tela strujanje "prekida", pa se otuda ovakva strujanja nazivaju prekida strujanja. Između graničnih strujnica fluid obrazuje trag, sa koji su još Helmholtz¹⁹⁾ i Kirhof²⁴⁾ pretpostavili da predstavlja relativno nepokretan fluid - "mrtvu vodu". U stvarnosti, trag iza tela može da ima veoma složeno i raznolika kretanja. Mi ćemo se, u ovom radu, baviti isključivo slučajevima kada se u tragu obrazuju dvojni nizovi vihora, koji zatim odlaze niz struju na vrlo velika rastojanja. Da bi se dobila što potpunija slika ove pojave, ukratko će biti izložene sve vrste kretanja u tragu iza prepreke, koje su u ogledima zapažene.

Trag iza prepreke predstavlja jedan od najkarakterističnijih primera koji potvrđuje fizičku važnost veličine Rejnoldsovog značilca²⁾. Sa porastom veličine Rejnoldsovog značilca trag iza kružnog ili eliptičnog cilindra, ravne ploče⁺, višouglaste prizme ili drugih prepreka beskrajnog raspona, pokazuje naglo izražene promene, koje je moguće, prema opštim osobinama razvrstati na sledeći način.

Pri vrlo malim vrednostima značilca Rejnolda (do 0,3) strujnice se zatvaraju isa ploče kao što se vidi na prvom Prantlovom snimku - slika 2, i simetrične su u odnosu na poprečnu osu prepreke.

²⁾ U Rejnoldsov značilac ulaze beskrajnoma brzina, najveća širina prepreke i kinematička viskoznost fluida.

⁺ U daljem opisu ograničavamo se samo na slučaj kada je prepreka ploča postavljena upravno na strujanje, i to samo stoga, što u tom slučaju tačke odvajanja strujanja ostaju nepomične tokom vremena i nalaze se na ivicama ploče. Kod ostalih vrsta prepreka tačka odvajanja menja svoj položaj tokom vremena čime se uslovljava mehanizam odvijanja pojave.



Kako Reynoldsov značilac približno predstavlja odnos inercijskih i viskoznih sila pri kretanju fluida, to su pri vrlo malim Reynoldsovim značiocima inercijske sile zanemarljive u poređenju sa viskoznim. Stoga su delići fluida, koji obilaze oko ivice ploče, u stanju da, zahvaljujući velikim viskoznim silama, zakrenu oko njih za 180° .

U opsegu $0,5 < Re < 4$ dolazi do razvlačenja strujnica iza ploče usled povećanih inercijskih sila, a time do narušavanja simetrije u poprečnom pravcu.



FIG. 62.— $wb/\nu = 10$.



Sl. 2. Strujanje iza ploče pri raznim značiocima Reynoldsa (znamenj Frantla 36e),

Kod još većih značitelja Reynoldsa, $1 < Re < 40$, strujnice se još zatvaraju iza ploče ali se obrazuju dva ustaljena simetrična vihora (lepo se vide na drugom Prantlovom snimku - slika 2). U ovoj oblasti su inercijske sile svakog delića fluida postale dovoljno velike da dovedu do odvajanja strujnica. Kako je skretanje strujnica najveće oko ivice ploče, to je logično da tu dolazi do odvajanja strujanja. Prilikom odvajanja strujanja istovremeno se stvaraju dva vihora, po jedan iza svake ivice, i to sa suprotnim smerom obrtanja. Ukoliko je veći Reynoldsov značilac u ovom opsegu brzina, utoliko su ovi ustaljeni vihori veći, izduženiji i postavljeni dalje iza ploče.

Pozmatrajući ove vihore kao tačkaste vrtloge Pöpl¹⁴⁾ je još 1913. godine isgradio teorijski potencijalni model ovakvih strujanja za slučaj da je prepreka kružni cilindar. Pored matematičke jednostavnosti, interesantne teorije stabilnosti, ovaj model daje strujnu sliku koja se odlično poklapa sa ogledima. Međutim, ovaj model je ipak teorijski neosnovan. U stvarnom fluidu cirkulacija se iz vrtloških središta rasplinjava, stvarajući umesto tačkastih vrtloga oblast vremenski promenljive zavihanosti. U blizini središta vrtloga teorijski se dobijaju skoro beskrajno velike brzine, što dovede, kao što je pokazao Milner¹⁵⁾, do vrlo velikog neslaganja raspodele pritiska teorijski pretpostavljenih i ogledom dobijenih.

U daljem opsegu $40 < Re < 10^3 - 10^4$ dolazi do najmeničnog nastajanja i odvajanja vihora sa jedne i druge strane ivice ploče, i to sa suprotnim smerom obrtanja (ovaj slučaj se vidi na trećem Prantlovom snimku - slika 2). Strujnice se više ne zatvaraju iza ploče, tako da se trag pruža beskonačno daleko ukoliko je fluid savršen.

Pre nego što predjemo na detaljno razmatranje ove oblasti naglasimo da pri daljem povećanju Reynoldsovega značilca izvan gornjeg opsega, trag postaje sve više turbulentan, a otkrivanje određene periodičnosti u njemu sve teže (Reinke¹⁶⁾).

Na kraju, pri Reynoldsovim značiocima reda $10^5 - 10^6$ i većim, granični sloj oko ploče postaje turbulentan (Flahsbart ^{12b}), odvajanje strujanja kao da se odlaže pa se trag iza tela primetno sušava, ali strujnice se i dalje ne zatvaraju.

Prelaz sa slučaja ustaljenih vihora iza ploče na neustaljeni dvojni vihorni niz odigrava se uvek kod jednog odredjenog značioca Reynoldsa, koji je karakterističan za ovu pojavu, i iznosi oko 40. Međutim, nepredodređuje samo Reynoldsov značilac sliku strujanja u tragu iza tela. Tako, na primer, ogleđina Kovasnjaja ²⁷) je pokazano da se karakteristični značilac Reynoldsa, iza koga trag postaje periodičan, smanjuje pod uticajem turbulentnosti okolnog strujnog polja. On se takođe smanjuje, ako se prepreka uvrsti na opruge, tako da slobodne oscilacije budu u rezonanci sa periodom odvajanja vihora u tragu. Na taj način je Tom ⁴⁷) dobio periodični trag već kod $Re = 11$.

S druge strane, ako je strujanje ograničeno paralelnim zidovima, tada karakteristični značilac Reynoldsa raste do 50 ili čak i više. Rosenhed ^{41a}) je teorijski pokazao, a Švabe ^{41a}) ogleđom potvrdio, da zidovi snižavaju kriterijum stabilnosti Karnana do veličine rasneštajnog odnosa $h/a = 0,1$ sa kanal širine $2h$.

Ša h se u celom radu označava poprečno rastojanje nizova, dok je " a " unužno rastojanje između osa vihora ili vrtložnih niti.

Međutim, očevidno je da je moguće isključiti iz rasmatranja sve ove dopunske uticaje i posmatrati šta se dešava kada Reynoldsov značilac postane veći od karakteristične vrednosti - 40. Analizu ćemo razdvojiti na dva dela:

- a) nastajanje vihora,
- b) odvajanje vihora.

Cim se prevaziđe karakteristični Reynoldsov značilac, dolazi do odvajanja i otiskivanja niz struju ustaljenih vihora, a posle toga do naimeničnog nastajanja i odvajanja vihora.

Kada bi ploča bila postavljena tačno pod pravim uglom, kada bi obe polovine prednje strane ploče bile savršeno simetrično obrađene i kada bi svi, makako mali bili, poremećaji u strujanju bili apsolutno simetrični, tada bi se moglo očekivati ponovno stvaranje para vihora, koji bi se, kada dostignu svoju kritičnu veličinu, otiskivali niz struju. Međutim, kako je u prirodi savršena simetričnost malo verovatna, to se ne može ni očekivati njeno ostvarivanje. U savianosti od niza nesimetričnih realnih mogućnosti, jedna od ivica ploče dobija, makar kako bile male, prednost, koje je odlučujuće za stvaranje novog vihora. Stoga se mehanizam nastajanja ovog i sledećih, narvaću ih neustaljenih vihora, suštinski razlikuje od prvog para nastalih ustaljenih vihora.

Pozmatrajmo nastalu situaciju posle odvajanja vihora. Neposredno iza ivice ploče, usled velikih inercijskih sila, dolazi do odvajanja strujanja, koje bi u savršenom fluidu dovelo do nastajanja mirne oblasti fluida omeđene graničnim strujnicama, kako to predviđa Helmholtz-Kirhofova teorija. Ali usled viskoznosti stvarnog fluida, diskontinuitet - skok brzina pri prelazu iz mirnog fluida na graničnu strujnicu je praktično neodrživ, već se obrazuje vrtložni sloj. Delići fluida, koji se nalaze u vrtložnom sloju, produžavaju svoj put po inerciji pravcem granične strujnice, ali pored toga, neprekidno od trenutka odvajanja od tela, vrtložni sloj je izložen indukovanim brzinama koje ga zakreću i tako namotavaju u spiralu. Ove se veoma lepo vidi na animcima Pirsu ³⁴⁾ - slika 3, gde je specijalnom oglednom tehnikom prikazano vidljivim namotavanjem vrtložnog sloja u spiralu sa obe strane ploče. Usled periodičnosti u osnovnom strujanju vidljive je obrazovanje malih vrtložnih jezgara duž spiralne šlake, kao posledica nestabilnosti vrtložnog sloja.

Vrtložni sloj, takođe, indukuje brzine u svakoј tački strujnog polja, što se odražava u usisavanju fluida iz mirne oblasti u spiralu (na slici 3 se vidi kao svetla linija). To znači da mirni fluid iz oblasti iza ploče, čiji je pokretač potpritisak kod ivice, ina takođe

spiralno strujanje. Dakle, strujanje koje nastaje od samog početka stvaranja vihera ima u cejoj oblasti radijalnu sastavnicu brzine.

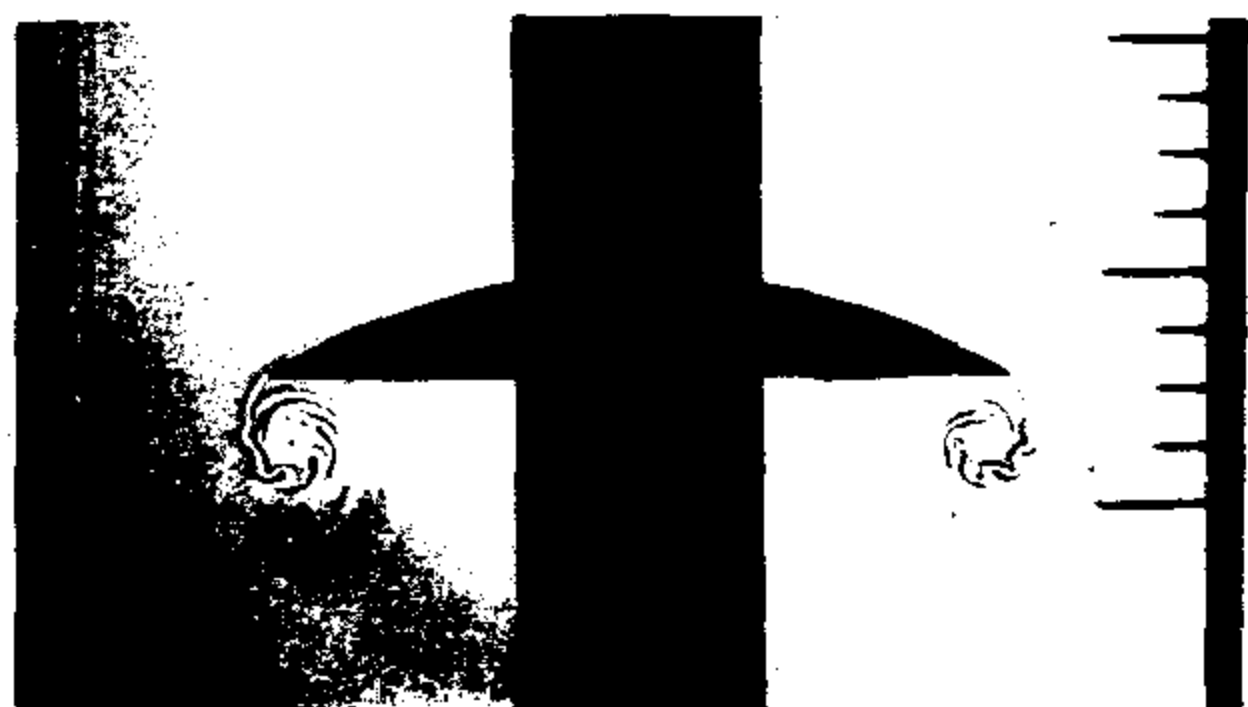


Fig. 3. Shadowgraph of convex plate system with final vortices. 1216 sec.

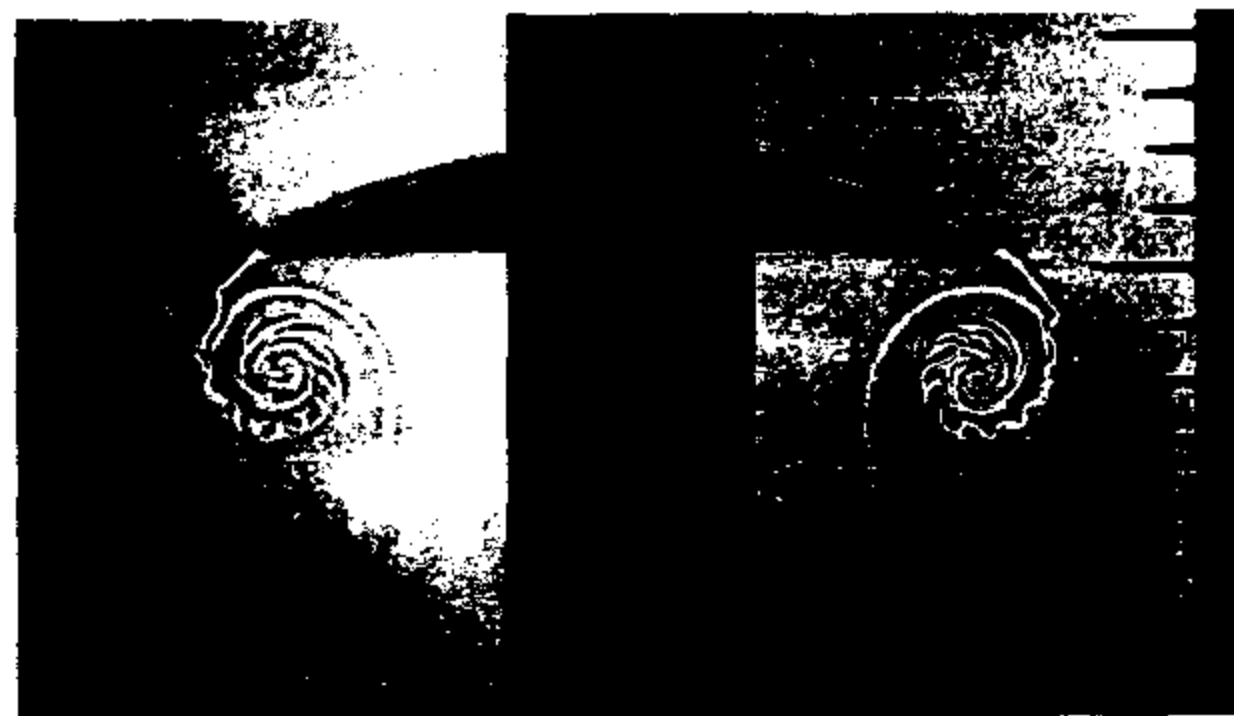
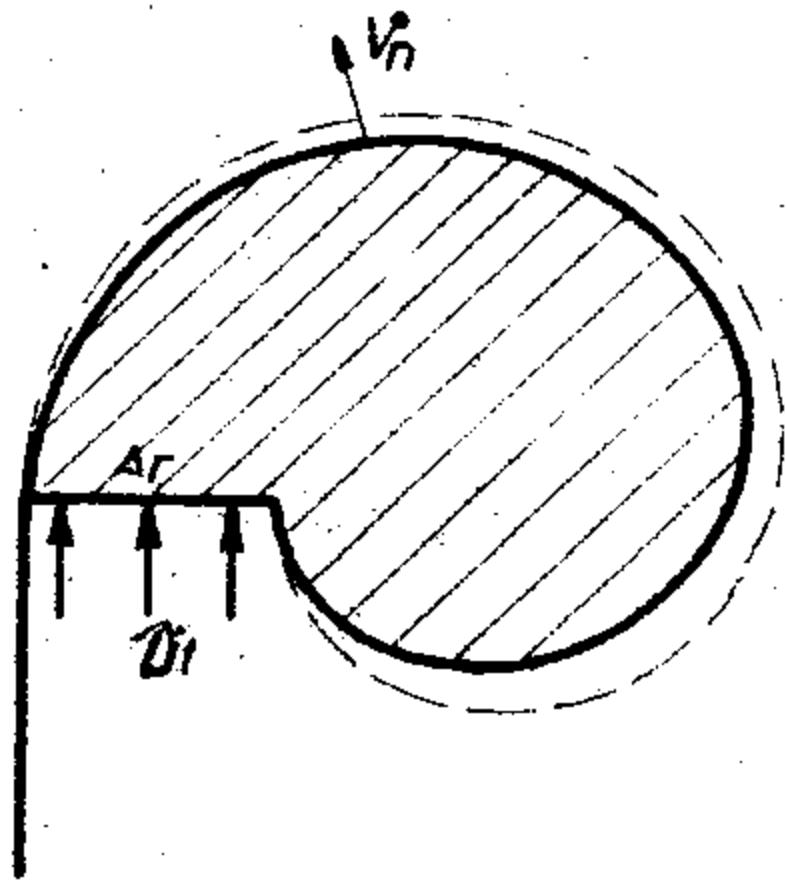


Fig. 4. Shadowgraph of convex plate system with final vortices. 1216 sec.

FIGURE 3. Shadowgraph of convex plate system with final vortices. 1216 sec.

Sl. 3. Spiralno namotavanje vrtločnog sloja iza ivica pleče (snimak Pirsca 34)

Svake spiralno strujanje uvek nastaje kao rezultat slaganja strujanja oko ponora i vrtloga, što znači da su i u ovom slučaju obostrano prisutni. Postavlja se pitanje: kako objasniti postojanje ponora u ovom slučaju kada nema sastavnice brzine u pravcu ose vihera? Kako jednačina neprekidnosti mora biti bezuslovno zadovoljena, to prestaje jedino da se pretpostavi da se spiralni vrtločni sloj u toku vremena ne kreće po jednoj neprekretnoj spiralnoj liniji, već po familiji spiralnih linija koje se šire i rasnotavaju za iznos količine fluida koji udje između dva navoja spirale iz sirsne oblasti iza pleče (slika 4). Dakle, istovremeno sa namotavanjem vrtločnog sloja u spiralu dolazi do nastajanja vihornog kretanja obuhvaćenog ovom spira-



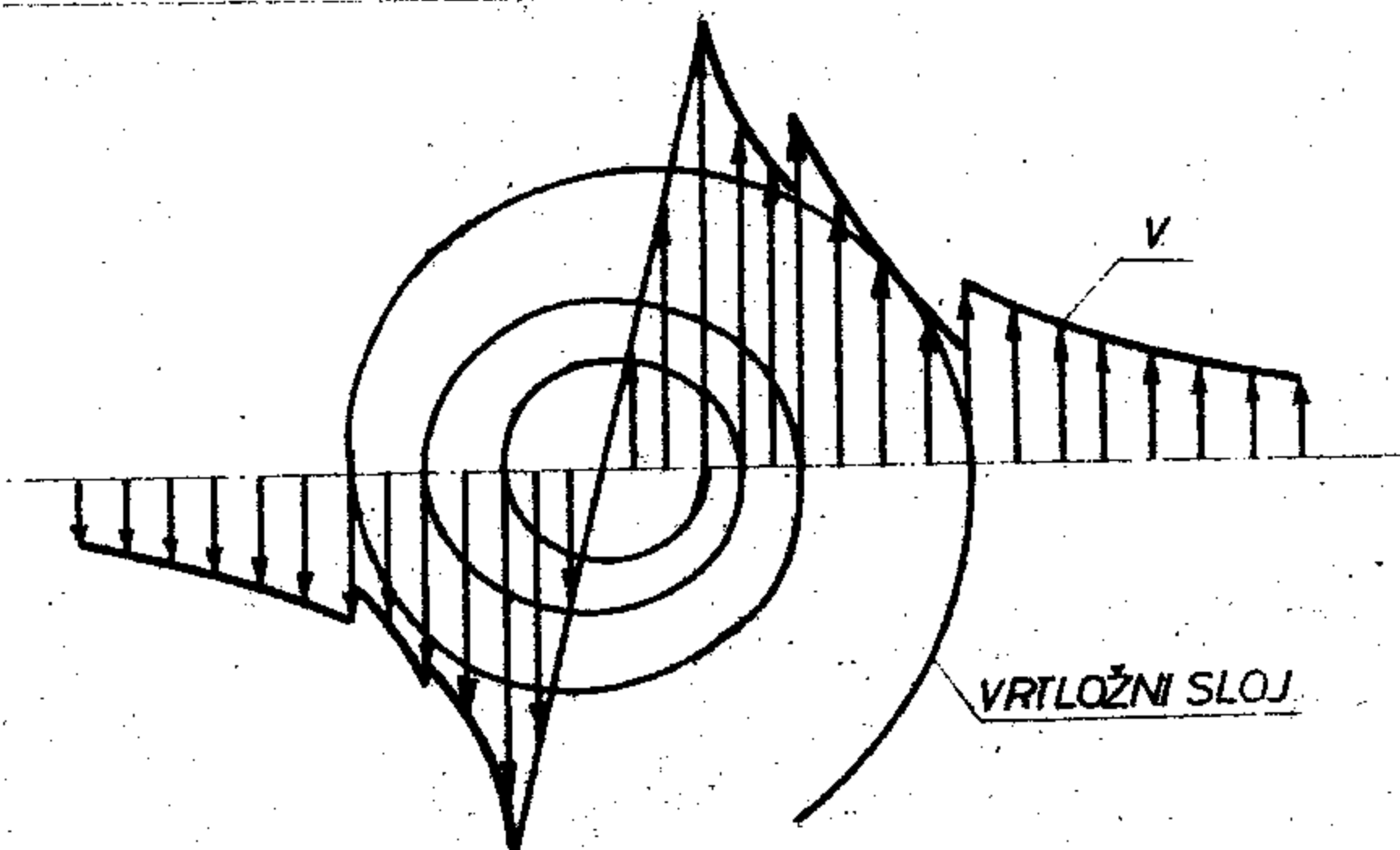
JEDNAČINA NEPREKIDNOSTI:

$$\int_{r_1}^{r_2} v_l \Delta r = \int_{r_1}^{r_2} \rho - 2\bar{u} U n dS$$

$$\Delta r = r_2 - r_1$$

Sl. 4. Shema narastanja spirale

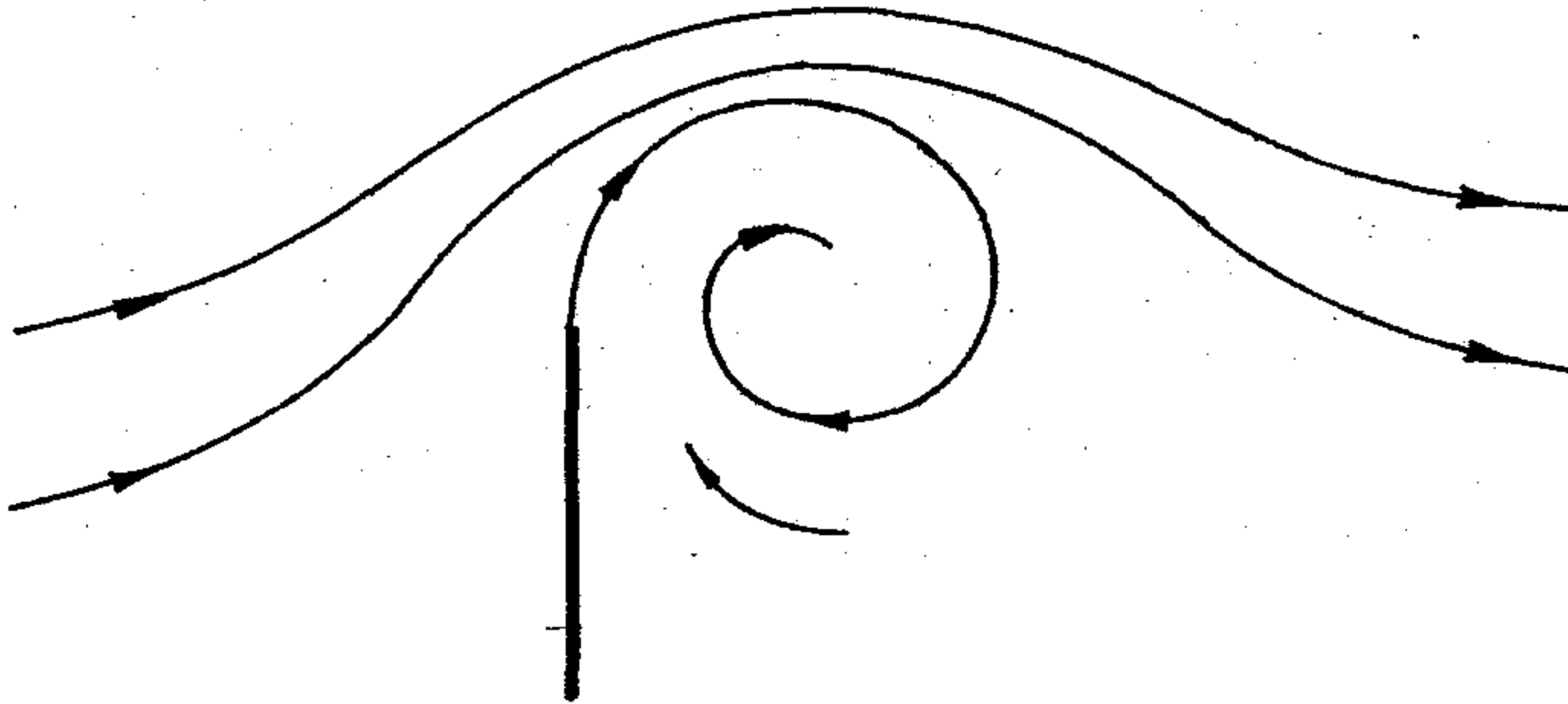
len. Očevidno je da strujanje u jezgri viora koji narasta, nije osno-
simetrično, ali da ukoliko su namotaji spirale gušći utoliko se prib-
ližavamo kružnom kretanju, koje, gledano teorijski, postoji samo u
neposrednoj okolini središta viora (slika 5).



Sl. 5. Raspodela obimne brzine u spiralnom
vrtložnom sloju (Bee 6b)

Na taj način, neposredno iza faze nastajanja nastupa kontinual-
na faza narastanja viora. Bežnim širenjem i "uticanjem" fluida u nje-
ga, vior narasta, i kao posledicu isaziva međusobno suševanje sused-

nih strujnica upravno na njihov pravac (slika 6).



Sl. 6. Shema narastanja vihora

Ovo preuzrokuje povećanje lokalne brzine čelića fluida u njima. Povećanje lokalne obimne brzine snaži povećanje inercijskih sila u graničnoj strujnici. Sa povećanjem sila inercije smanjuje se radijus poluprečnik krivine spiralne strujnice posle prolaska ivice ploče, a ovo dovodi do daljeg povećanja prečnika vihora. Medjusobni uticaj svih nabrojanih faktora dovodi neprekidno do narastanja vihora i povećanja njegove cirkulacije.

S druge strane, potrebna količina fluida, koja je neophodna za narastanje vihora, postaje sve veća ukoliko su njegove dimenzije veće. Sa linearnim povećanjem vihora potrebna količina fluida raste sa kvadratom, pa ova jedino predstavlja ograničenje u veličini vihora.

U dosadašnjem opisu je spatrahovan vihor na suprotnoj ivici ploče radi uprošćavanja fizičke slike zbivanja. Međutim, za odvijanje mehanizma naizmeničnog odvajanja vihora, bitno je da se stvaraju i na jednoj i na drugoj ivici ploče po jedan vrtložni sloj, koji usled suprotnosmerne zavijerenosti, dovode prilikom namotavanja oko svojih slobodnih krajeva, do stvaranja vihora koji se obrću u suprotnim smerovima. U toku narastanja ovih vihora, u njih ulazi izvesna količina fluida, ali pri tom znatno više u veći vihor. Oba vihorna jezgra

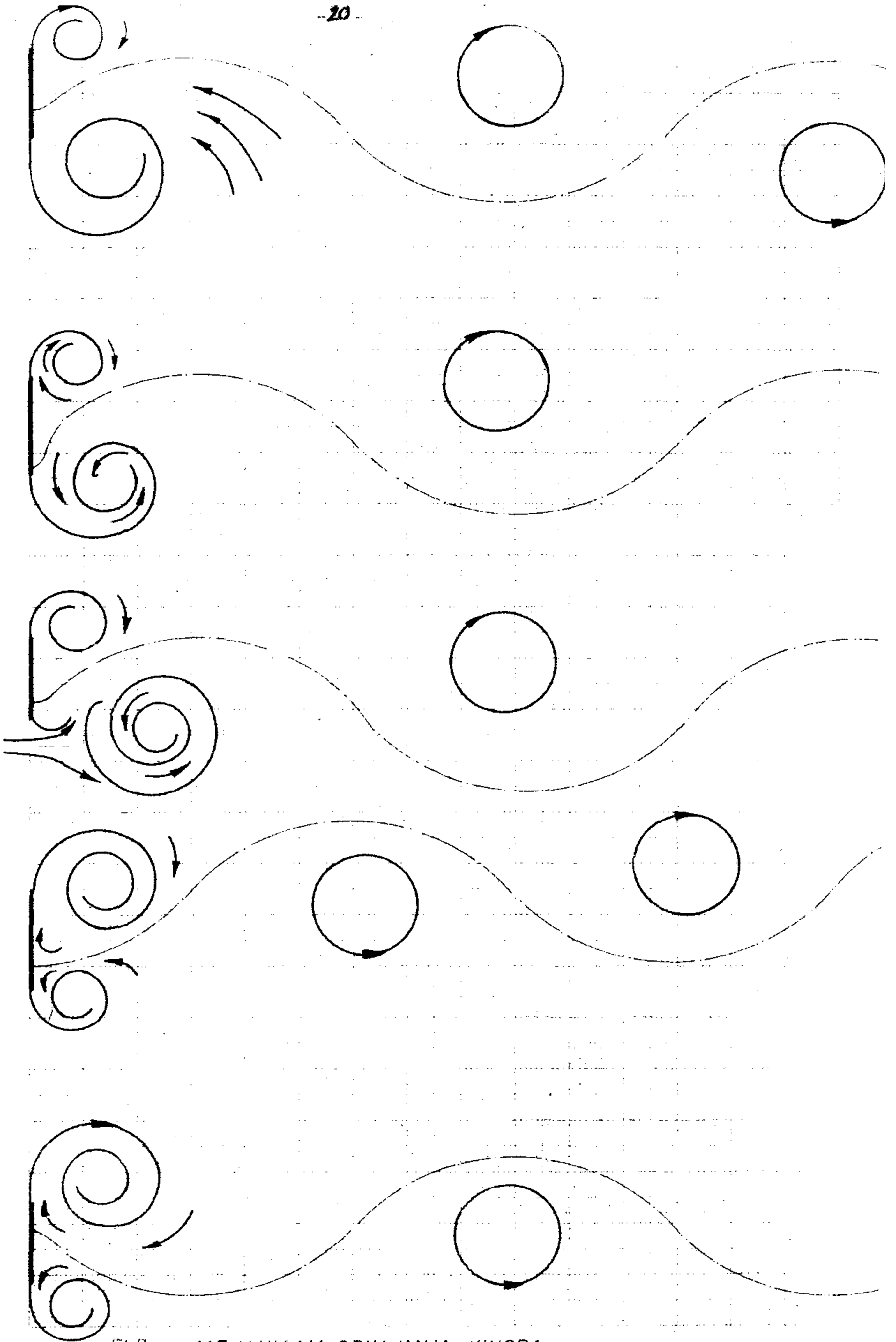
su međusobno odeljena zamišljenom strujnom površinom, koja rasdvaja fluid koji utiče u jedan vihor od onoga koji utiče u drugi vihor. (Na slici 7 ovo je prikazano linijom erta-tačka.)

Kako posmatramo ravanske strujanje, to se ova strujna površina vidi kao linija, koja uvek na nekom mestu upravno dodiruje ploču, a izgleda kao da je vezana sa površinu ploče. Ona predstavlja razdeljenu liniju prijanjanja mirnog fluida prilikom njegovog ustrujavanja u spirale. Stoga ćemo ovu liniju ubuduće nazivati "linija prijanjanja". Ona se tokom vremena udaljava od jedne ivice - linije odvajanja, a približava drugoj, na drugoj ivici ploče. Kako je širina ploče konačna, na kraju dolazi do toga da linija prijanjanja jačeg ili bližeg vrtložnog sloja preseče liniju odvajanja drugog vrtložnog sloja na drugoj strani. Ovo tada prouzrokuje nepestojanost i nemogućnost u "hranjenju" drugog vihora, usled čega se vihor otiskuje niz struju, a ovo opet dovodi, do obrazovanja novog nametavajućeg spiralnog vihornog jezgra. Novo vihorno jezgro svojim narastanjem, budući da je bliže površini ploče, potiskuje liniju prijanjanja natrag na drugu stranu ka drugoj ivici, gde se usled toga, ponavlja sličan proces.

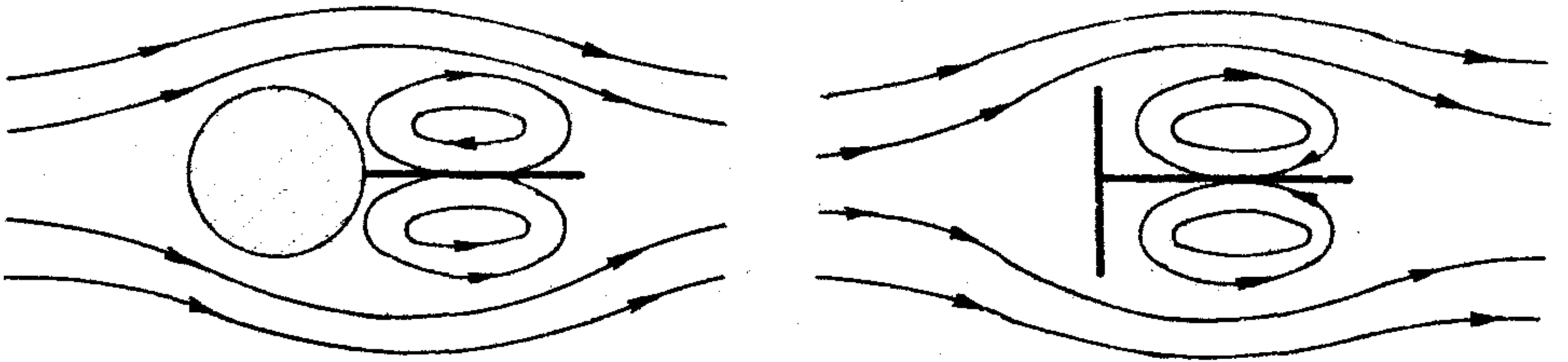
Ovakav mehanizam "šetanja" linije prijanjanja isa ploče stvara potrebnu periodičnost sa odvajanje nastalih vihora, i može da dejstvuje i u slučajevima kada se zbog simetrije očekuje ustaljeno strujanje.

Rezultujuće strujanje u tragu isa ploče je dvojni vihorni niz, pojava koja je pored sve složenosti ovakvog mehanizma nastajanja, izvanredno stabilna i regularna.

U prilog ovakvog tumačenja mehanizma odvajanja vihora od tela, kao i dokaz da periodičnost u tragu ima svoj početak u strujanju sasvim blizu zadnje strane tela, nalazimo u ogleđima Birnena ³⁾ koji je pokazao da se dodavanjem ravne ploče isa kružnog cilindra ili upravno na ploču (slika 8) duž pravca beskrajsne brzine, u potpunosti izgubila bilo kakva periodičnost u tragu, i to u celom opsegu značicea Reynoldsa isa karakterističnog. Istovremeno se pokazalo da dolazi do



Sl. 7. MEHANIZAM ODVAJANJA VIHORA



Sl. 8. Postavljanje pregradjivača iza prepreke
(Birnen³⁾)

pada otpora za oko 40%.

Ova idejna koncepcija objašnjenja pojave iskorišćena je u matematičkoj interpretaciji problema.

3. TEŠKOĆE PRI PRIMENI NAVIJE-STOKSOVIH JEDNAČINA ZA SLUČAJ OPŠTOS VIZKOZNOG STRUJANJA

Sa matematičke tačke gledišta, opšti zadatak hidrodinamike viskozne tečnosti svodi se na rešavanje sistema simultanih parcijalnih diferencijalnih jednačina drugoga reda, poznatih pod imenom Navije-Stoksa. Rešenje ovoga sistema diferencijalnih jednačina pri graničnim i početnim uslovima unapred datim, u opštem obliku do sada ne postoji. U istom stanju nalazi se i pitanje jedinstvi rešenja ovoga sistema jednačina.

Osnovna teškoća, kako u opštem istraživanju postojanja i jedinstvi rešenja, tako i u konkretnom rešavanju tih jednačina za pojedine najprostije slučajeve kretanja viskoznog fluida sadržana je u nelinearnosti osnovnih parcijalnih diferencijalnih jednačina kretanja. Olakšavajuća pretpostavka o postojanju potencijala brzine je za slučaj viskoznog fluida savršeno nemoguća. Uслед toga, svaki pojedini problem kretanja viskoznog nestišljivog fluida uvek ostaje nelinearan,^{*} pa se novi slučajevi strujanja nikada ne mogu dobiti uz pomoć prostog

^{*} Ukoliko se ne prihvate pretpostavke Stoksa i Ozena o kojima će dalje biti govora.

rešenja već poznatih strujanja. S druge strane, opšta metoda nalaska rešenja nelinearnih diferencijalnih jednačina ne postoji. Iz tih razloga, pri rešavanju strujanja viskozne tečnosti, moguće je usvojiti jedan od dva sledeća načina:

- 1) Pretpostaviti od samog početka oblik putanja i strujnica svih delića tečnosti i obradovati partikularna rešenja koja odgovaraju tim pretpostavkama i graničnim uslovima.
- 2) Pribegavati približnim metodama koje dozvoljavaju, u ovoj ili onoj meri, da se upreste jednačine i prilagode karakteru specijalnih tipova konkretnih zadataka.

Kako je pretpostavljanje oblika putanja od samog početka moguće samo u ograničenom broju slučajeva, to je prvi način veoma ograničen svojim mogućnostima, dok su mogućnosti drugog načina - upređavanje jednačina - mnogo šire. Većina konkretnih zadataka o kretanju viskozne tečnosti rešena je na osnovu približnih jednačina kretanja, koje se uglavnom izvode iz pretpostavke o veoma malim ili veoma velikim značiocima Reynoldsa. Međutim, s obzirom da se pojava vihera u tragu iza tela odigrava pri značiocima Reynoldsa koji se ne mogu smatrati ni malim ni velikim, to su sve dosadašnje približne teorije neprimenljive.

Berker ⁴⁾ daje enciklopedijski pregled svih dosada rešenih slučajeva Navije-Stoksovih jednačina, i zanimljivo je da ne postoji ni jedno analitičko rešenje koje bi moglo da zadovolji uslove u tragu iza tela. Čak ni numeričke metode rešavanja (Tom ⁴⁷⁾) ne opisuju ono što se dešava iza tela.

Kako se pojava nastajanja dvojnog niza vihera u tragu iza tela javlja pri srednjim značiocima Reynoldsa $30 < Re < 1000$, to je logično pretpostaviti da je uticaj viskoznosti u priličnoj meri dominantan. S druge strane, kako je narastanje i odvajanje vihera iza tela izrazito periodična pojava, to je neophodno razmatrati neustaljeno stanje. Jedino upređavanje jednačina petiče usled toga što se pojava može smatrati

dvo-dimenzijskom, pa zato iščezavaju svi članovi koji sadrže ili se odnose na koordinatu "z". Ako uvedemo polarni koordinatni sistem, čije je ishodište u središtu vihora izn tela, tada Navije-Stoksove jednačine imaju sledeći oblik:

$$\begin{aligned} \frac{\partial v_r}{\partial t} + v_r \frac{\partial v_r}{\partial r} + \frac{v_\theta}{r} \frac{\partial v_r}{\partial \theta} - \frac{v_\theta^2}{r} = -\frac{1}{\rho} \frac{\partial p}{\partial r} + \\ + \nu \left(\frac{\partial^2 v_r}{\partial r^2} + \frac{1}{r^2} \frac{\partial^2 v_r}{\partial \theta^2} + \frac{1}{r} \frac{\partial v_r}{\partial r} - \frac{2}{r^2} \frac{\partial v_\theta}{\partial \theta} - \frac{v_r}{r^2} \right), \end{aligned} \quad 3.1$$

$$\begin{aligned} \frac{\partial v_\theta}{\partial t} + v_r \frac{\partial v_\theta}{\partial r} + \frac{v_\theta}{r} \frac{\partial v_\theta}{\partial \theta} + \frac{v_r v_\theta}{r} = -\frac{1}{\rho r} \frac{\partial p}{\partial \theta} + \\ + \nu \left(\frac{\partial^2 v_\theta}{\partial r^2} + \frac{1}{r^2} \frac{\partial^2 v_\theta}{\partial \theta^2} + \frac{1}{r} \frac{\partial v_\theta}{\partial r} + \frac{2}{r^2} \frac{\partial v_r}{\partial \theta} - \frac{v_\theta}{r^2} \right). \end{aligned} \quad 3.2$$

Jednačina neprekidnosti je

$$\frac{\partial v_r}{\partial r} + \frac{1}{r} \frac{\partial v_\theta}{\partial \theta} + \frac{v_r}{r} = 0. \quad 3.3$$

Granični i početni uslovi su sledeći za osamljeni vihor:

$$\begin{aligned} \text{za } t = 0 \text{ je } v_r = 0 \text{ i } v_\theta = 0 \text{ na } r = 0, \\ \text{za } r \rightarrow \infty \text{ je } v_r = 0 \text{ i } v_\theta = 0. \end{aligned} \quad 3.4$$

Na osnovu izvedenih razmatranja o mehanizmu nastajanja vihora zaključeno je da strujanje zavisi od polarnog ugla. Ovo se, međjutim, može takođe lako proveriti rešavanjem gornjeg sistema jednačina uzimajući da je $v_r = 0$. Smenom u jednačinu 3.3 vidi se da obimna brzina v_θ ne zavisi od polarnog ugla θ . Ali, kako je pri nastajanju vihora u gornjoj polovini lokalna brzina uvek veća od one na donjoj polovini to se stoga nastajanje vihernog strujanja ne može opisati samo sa nepromenljivom brzinom po istom krugu.

Ako pretpostavimo da strujanje nije kružno već eliptično, tada transformacijom Navije-Stoksovih jednačina u eliptični koordinatni sistem, i njihovim rešavanjem uz uslov da je hiperbolička sastavnica brzine nula, dobijamo opet, potpuno analogno kružnom kretanju, rezultat koji ukazuje na nemogućnost ispunjavanja graničnih uslova pri takvim strujnicama.

Stoga ćemo pokušati da dobijemo vihorno strujanje sa promenljivom obimnom brzinom na istom krugu uopštavanjem poznatog rešenja raspodele brzina za slučaj osamljenog vihora koji se difuzno širi u obliku

$$v_{\theta} = \frac{\Gamma}{2\pi r} \left[1 - \exp\left(-\frac{r^2}{4\nu t}\right) \right] \cdot G(\theta), \quad 3.5$$

gde je za $G(\theta)$ usvojena najprestija periodička funkcija - trigonometrijska funkcija. Za ovaj slučaj dobijena je radijalna sastavnica brzine iz jednačine neprekidnosti. Smenom ovako dobijenih v_r i v_{θ} u Navije-Stoksove jednačine pokazalo se da one nisu identički zadovoljene.

Ovaj rezultat ukazuje da je rešenje osamljenog vihora jedino rešenje Navije-Stoksovih jednačina, i da se uopšteni oblik vihornog kretanja ne može tražiti u obliku razdvojenih promenljivih.

Kako nam je sasada nemoguće da unapred pretpostavimo oblik funkcije $v_{\theta}(r, \theta, t)$, a s obzirom da ne postoji opšta metoda za rešavanje te nam je u mogućnosti da rešimo Navije-Stoksove jednačine za slučaj neustaljenog nastajanja vihornog kretanja.

4. UVODJENJE TEORIJSKOG MODELA VRTIČNOG SLOJA

U razvoju hidro i aerodinamike, za poslednjih pola stoleća, zapala se ogroman značaj metoda zasnovanih na primeni približnih shema - teorijskih modela, koji predstavljaju uprošćenu fizičku sliku pojave. Uspehi i napredak u proučavanju pojava nisu dobijeni povećavanjem tačnosti i razvijanjem čisto matematičkih metoda istraživanja, nego primenom originalne fizičke koncepcije, koja dozvoljava,

sa tačnošću dovoljnom za praksu, zamenu posmatrane pojave uprošćenim teorijskim modelom.

Mada se teorijski modeli, po nekim pretpostavkama, čak suštinski razlikuju od stvarne fizičke slike, oni u pojedinim slučajevima daju rešenja koja u potpunosti zadovoljavaju potrebe savremene tehnike.

Navešćemo samo nekoliko danas klasičnih teorijskih modela. Kuta i Žukovski su u teoriji uzgonskih površina uveli model vezanog vrtloga, koji je omogućio Prantlu da postavi teoriju krila konačnog razmaha sa modelom vezanih i slobodnih vrtloga. Pri tome je zanimljivo uočiti da se teorijski model neprekidne vrtložne površine, koja polazi sa zadnje ivice krila konačnog razmaha, nikada ne opaža u stvarnosti, jer se usled nestabilnosti ona odmah namotava u slobodne vrtloge koji se pružaju od ivice krila do beskonačnosti.

Isti takav karakter ima i teorijski model prekidnog strujanja tečnosti, koji su postavili Kirhoj i Helmholtz. Granične strujnice - brade, koje se odvajaju isa optičnog tela, omeđuju oblast mirnog fluida koja se prestire do beskonačnosti. U stvarnosti, međjutim, ovo nikada nije slučaj, jer usled viskoznosti dolazi isa tela do veoma složnih kretanja koja dovode do potpuno drugačije slike strujanja. U izvesnom opsegu naučilaca Rejnoldsa dolazi do naizmeničnog stvaranja viora, koji isa tela obrazuju trag u vodi dvojnog niza.

Međjutim, po teoriji Kirhoja i Helmholtza, u tragu isa tela fluid je nepokretan i nema nikakvih viornih kretanja. Po osnovnoj pretpostavci njihove teorije, fluid je neviskozan, što znači da ne dolazi do trenja između granične strujnice i mirne zone pored nje. Ispitivanja Feidla i Johansena¹¹⁾ pokazuju da je i pored toga što je viskoznost veoma mala, veličina izmerenih otpora ploča je sa oko 2,3 puta veća od teorijski sračunate vrednosti. Iz tog razloga je njihov teorijski model praktično neupotrebljiv.

Razlog sa ovake velike odstupanje između teorije i oglada leži u nestabilnosti postojanja granične strujnice, kao i nemogućnosti njenog

nastajanja pri opticanju ravne ploče u stvarnom fluidu. Brazda predstavlja diskontinuitet brzina, jer se brzina skokovito menja pri prolazu iz mirne zone kroz brazdu. Kod stvarnog fluida, makako njegova viskoznost bila mala, ona deluje tako da pokreće i ubrzava deliće fluida koji se nalaze neposredno uz brazdu u mirnoj zoni. Ovo je posledica gubitka kinetičke energije delića u brazdi koji se usporavaju.

Teorijski model koji opisuje diskontinualni skok brzina jeste trag omeđen vrtložnim slojem. Znači, da bi brazda u teoriji Kirchofa i Helmholtza trebalo da bude vrtložni sloj istog geometrijskog oblika. Međutim, vrtložni sloj sa promenljivom ^{kriv} brzinom, prema teoremi Helmholtza, nije stabilan već se namotava u spiralu kao što je računski pokazao Rozenhed (41b). Na osnovu toga moguće je postaviti hipotezu da vihorne strujanje, koje se obrasuje isa prepreke, nastaje usled spiralnog namotavanja vrtložnog sloja koji se stvara isa ivica prepreke.

Od trenutka odvajanja isa tela vrtložni sloj se kreće brzinom koja je po veličini i pravcu sastavljena od dveju kvalitativno različitih komponentata. Jedna od njih nastaje usled brzina u susjednim strujnicama oko optičnog tela i zavisi od beskrajsne brzine. Njene čemo komponente u pravcu koordinatnih osa označiti sa U i V . Druga od njih nastaje kada kontinualni vrtložni sloj rastijemo na diskretan niz pojedinačnih vrtloga. Tada svi vrtlozi indukuju odgovarajuće brzine u posmatranoj tački vrtložnog sloja. Ako posmatramo "i"-ti vrtlog, onda svi ostali "j" indukuju komponente brzine u_{ij} i v_{ij} . Dakle, imamo sistem jednačina kretanja "i"-tog vrtloga u obliku

$$u_i = U(x_i, y_i) + \sum_{j=1}^n u_{ij}(x_i, y_i, x_j, y_j, \Gamma_j) \quad 4.1$$

$$v_i = V(x_i, y_i) + \sum_{j=1}^n v_{ij}(x_i, y_i, x_j, y_j, \Gamma_j) \quad 4.2$$

Leva strana ovih jednačina predstavlja brzinu uočenog "i"-tog vrtloga, pa se može napisati i u diferencijalnom obliku

$$u_1 = \frac{dx_1}{dt} \quad 4.3$$

$$v_1 = \frac{dy_1}{dt} \quad 4.4$$

Postupak određivanja prvih članova na desnoj strani jednačina 4.1 i 4.2 izvešće se detaljno u sledećem poglavlju, a uz pomoć pretpostavke da je izvan i unutar vrtložnog sloja strujanje takvo, kao da umesto vrtložnog sloja imamo razne granične strujnice. Na taj način je moguće, za poznate koordinate x_1 i y_1 , odrediti veličinu rezultujuće brzine W kao

$$W = F(x_1, y_1) \quad 4.5$$

Komponente brzine W se dobijaju u zavisnosti od oblika vrtložnog sloja. Pravac brzine se poklapa sa pravcem tangente na vrtložni sloj, a njen koeficijent pravca je dat u obliku

$$\operatorname{tg} \alpha = \frac{dy_1}{dx_1} \quad 4.6$$

ili u diferencnom obliku

$$\operatorname{tg} \alpha = \frac{y_{i+1} - y_{i-1}}{x_{i+1} - x_{i-1}} \quad 4.7$$

Ako se poznatim trigonometrijskim relacijama izrase kosinus i sinus preko tangensa tada komponente brzine W glase

$$U = \frac{(x_{i+1} - x_{i-1}) W}{\sqrt{(x_{i+1} - x_{i-1})^2 + (y_{i+1} - y_{i-1})^2}}^{1/2} \quad 4.8$$

$$V = \frac{(y_{i+1} - y_{i-1}) W}{\sqrt{(x_{i+1} - x_{i-1})^2 + (y_{i+1} - y_{i-1})^2}}^{1/2} \quad 4.9$$

Komponente indukovane brzine usled "j"-tog vrtloga su

$$u_{1j} = \frac{-\sqrt{j} (y_1 - y_j)}{(x_1 - x_j)^2 + (y_1 - y_j)^2} \quad 4.10$$

$$v_{ij} = \frac{\Gamma_j (x_i - x_j)}{(x_i - x_j)^2 + (y_i - y_j)^2} \quad 4.11$$

gde je jačina vrtloga Γ_j funkcija i vremena ako je fluid viskozan. Smenom ovih veličina u jednašine 4.1 i 4.2 dobija se

$$\frac{dx_i}{dt} = \frac{F(x_i, y_i)(x_{i+1} - x_{i-1})}{\sqrt{(x_{i+1} - x_{i-1})^2 + (y_{i+1} - y_{i-1})^2}^{1/2}} - \frac{1}{2\sqrt{2}} \sum_{j=1}^n \frac{\Gamma_j(x_i, y_i, x_j, y_j, t)(y_i - y_j)}{(x_i - x_j)^2 + (y_i - y_j)^2} \quad 4.12$$

$$\frac{dy_i}{dt} = \frac{F(x_i, y_i)(y_{i+1} - y_{i-1})}{\sqrt{(x_{i+1} - x_{i-1})^2 + (y_{i+1} - y_{i-1})^2}^{1/2}} - \frac{1}{2\sqrt{2}} \sum_{j=1}^n \frac{\Gamma_j(x_i, y_i, x_j, y_j, t)(x_i - x_j)}{(x_i - x_j)^2 + (y_i - y_j)^2} \quad 4.13$$

Ako se odabere neki interval vremena Δt , dobija se pomeranje Δx_i svakog vrtloga. Tada se iz jednašina 4.12 i 4.13 dobijaju jednašine pomeranja vrtloga "i"

$$\Delta x_i = \Delta t \left\{ \frac{F(x_i, y_i)(x_{i+1} - x_{i-1})}{\sqrt{(x_{i+1} - x_{i-1})^2 + (y_{i+1} - y_{i-1})^2}^{1/2}} - \frac{1}{2\sqrt{2}} \sum_{j=1}^n \frac{\Gamma_j(x_i, y_i, x_j, y_j, t)(y_i - y_j)}{(x_i - x_j)^2 + (y_i - y_j)^2} \right\} \quad 4.14$$

$$\Delta y_i = \Delta t \left\{ \frac{F(x_i, y_i)(y_{i+1} - y_{i-1})}{\sqrt{(x_{i+1} - x_{i-1})^2 + (y_{i+1} - y_{i-1})^2}^{1/2}} - \frac{1}{2\sqrt{2}} \sum_{j=1}^n \frac{\Gamma_j(x_i, y_i, x_j, y_j, t)(x_i - x_j)}{(x_i - x_j)^2 + (y_i - y_j)^2} \right\} \quad 4.15$$

gde su: $i=1, 2, \dots, n$; $j=1, 2, \dots, n$

Novi položaj svih vrtloga ovoga sistema dobija se iz jednašina

$$x_1 + \Delta x_1 = x_{1+1} \quad 4.16$$

$$y_1 + \Delta y_1 = y_{1+1} \quad 4.17$$

Ovaj sistem diferencijalnih jednačina moguće je rešavati metodom uzastopnih približavanja. Shematski postupak je sledeći:

U trenutku $t = 0$ neka imamo samo jedan vrtlog $i = j = 1$.

Usvojimo neki mali interval vremena Δt i pomoću jednačina 4.14 i 4.15 odredimo pomeranje vrtloga za ovaj interval vremena. Smenom u jednačine 4.16 i 4.17 dobija se novi položaj vrtloga "2". Ove nove koordinate x_2 i y_2 uvrstimo u jednačine 4.14 i 4.15, s tim da na predjašnjem mestu opet imamo vihor koga opet označavamo sa "1". On se opet stvorio na početku vrtložnog sloja. Ovakav postupak se uzastopno ponavlja "n" puta, gde ovaj broj određuje ukupnu dužinu vrtložnog sloja koji se obrazovao u vremenu

$$t_0 = n \Delta t \quad 4.18$$

Ovakav sistem diferencijalnih jednačina, koji se rešava uzastopnim ponavljanjem istih računskih radnji, je pogodan za programiranje i rešavanje na eifarskim elektronskim računariima, gde se veća tačnost rešenja može ostvariti izborom vrlo malog intervala vremena Δt .

Sa matematičke tačke gledišta, moguće je postaviti i jednačine kretanja kontinualnog vrtložnog sloja, bez razbijanja na sistem diskretnih vrtloga. Potrebno je samo umesto jačine pojedinačnog vrtloga Γ_j uvesti jačinu cirkulacije po jedinici dužine luka vrtložnog sloja G , a po jednačini

$$\int_{S_1}^{S_2} G ds = \Gamma_j \quad 4.19$$

Sada umesto koordinata x_1 i y_1 uvedimo tekuće koordinate x i y , a umesto koordinata položaja vrtloga x_j i y_j tekuće koordinate $\xi(s)$ i $\eta(s)$, pa se za brzine indukovane vrtložnim slojem dobijaju umesto suma integrali

$$u(x,y) = \frac{1}{2\pi} \int_0^s \frac{G(s,t) \sqrt{y - \eta(s)} ds}{\sqrt{x - \xi(s)}^2 + \sqrt{y - \eta(s)}^2} \quad 4.20$$

$$v(x,y) = \frac{1}{2\pi} \int_0^s \frac{G(s,t) \sqrt{x - \xi(s)} ds}{\sqrt{x - \xi(s)}^2 + \sqrt{y - \eta(s)}^2} \quad 4.21$$

Što smenom u jednačine 4.1 i 4.2 daje

$$\frac{dx}{dt} = \frac{F(x,y)}{\sqrt{1 + \left(\frac{dy}{dx}\right)^2}} - \frac{1}{2\pi} \int_0^s \frac{G(s,t) \sqrt{y - \eta(s)} ds}{\sqrt{x - \xi(s)}^2 + \sqrt{y - \eta(s)}^2} \quad 4.22$$

$$\frac{dy}{dt} = \frac{F(x,y) \frac{dy}{dx}}{\sqrt{1 + \left(\frac{dy}{dx}\right)^2}} + \frac{1}{2\pi} \int_0^s \frac{G(s,t) \sqrt{x - \xi(s)} ds}{\sqrt{x - \xi(s)}^2 + \sqrt{y - \eta(s)}^2} \quad 4.23$$

Dobijen je sistem simultanih nelinearnih diferencijalnih jednačina koji se može odmah formalno integraliti. Ako su granice integracije u opsegu $0 < t < t_0$ tada dobijamo

$$x = \int_0^{t_0} \frac{F(x,y) dt}{\sqrt{1 + \left(\frac{dy}{dx}\right)^2}} - \frac{1}{2\pi} \int_0^{t_0} \int_0^s \frac{G(s,t) \sqrt{y - \eta(s)} ds dt}{\sqrt{x - \xi(s)}^2 + \sqrt{y - \eta(s)}^2} \quad 4.24$$

$$y = \int_0^{t_0} \frac{\frac{dy}{dx} F(x,y) dt}{\sqrt{1 + \left(\frac{dy}{dx}\right)^2}} + \frac{1}{2\pi} \int_0^{t_0} \int_0^s \frac{G(s,t) \sqrt{x - \xi(s)} ds dt}{\sqrt{x - \xi(s)}^2 + \sqrt{y - \eta(s)}^2} \quad 4.25$$

Dobijeni sistem nelinearnih integro-diferencijalnih jednačina, u koliko se može rešiti, daje posle eliminacije parametra - vreme t_0 - oblik vrtložnog sloja u obliku

$$y = f(x) \quad 4.26$$

Očevidno je da će se za razne vrednosti parametara t_0 dobiti razni oblici vrtložnog sloja.

Kako za ovakav sistem jednačina ne postoji opšta metoda rešavanja, a u svakom pojedinom slučaju račun je veoma komplikovan, rešenje ćemo potražiti grafičkim putem.

NAJBLIŽE POKREĆANJE VRTLOŽNOG SLOJA IZA PLOČE - GRAFIČKO REŠENJE

Pretpostavimo da u izvesnom trenutku vremena ($t = 0$) počinje najbrže kretanje ploče beskrajnom brzinom V_0 , i tada sa ivice ploče započinje da se odvajaju vrtložni sloj. Njegova tangenta brzina kretanja jeste poluzbir tangentskih brzina neposredno ispod i ispod granične strujnice, dok se normalne komponente brzine moraju* biti iste sa obe strane vrtložnog sloja. Kako je tangenta brzina duž granične strujnice - brzina konstantna i ravna beskrajnom brzini, dok je u mirnoj zoni nula, to je tangenta brzina kretanja vrtložnog sloja plovina beskrajnom brzine. Napominjemo da se ovakva strujna slika događa samo na početku kretanja, već se u stvarnosti događa svaki put neposredno iza odvajanja vihora.

Nastali vrtložni sloj polazi od ivice ploče u prvom trenutku duž granične strujnice. Ali, ovakav konačni vrtložni sloj ima brzine pri daljem kretanju koje neprekidno utiču kako na njegov oblik tako i na njegovu brzinu. Radi mogućnosti grafičkog rešavanja zadatka, pretpostavićemo da se vrtložni sloj sastoji iz niza vrtloga, čija je jačina obrnuta ^{medjusebnom} rastejanju. Znači kontinualni vrtložni sloj zamenujemo diskretnim vrtlozima.

Odredjivanje jačine diskretnih vrtloga, sa kojima je zamenujen vrtložni sloj, izvedeno je na sledeći način. Ako se pretpostavi da je jačina vrtložne trake zanemarljivo mala, a da su brzine na suprotnim stranama V_1 i V_2 , tada cirkulacija oko pravouglaonika, čija je dužina strana element δs , vrtložnog sloja, ima sledeći oblik

$$\Gamma = (V_1 - V_2) \delta s. \quad 5.1$$

kako je ova dužina ujedno i pomeranje vrtložnog sloja to imamo

$$\frac{\delta s}{\delta t} = \frac{V_1 + V_2}{2} \quad 5.2$$

U se smenom u jednačini 5.1 dobija

Diskontinuitet sloja se očituje samo kod tangentskih brzina, kao je na primer u slučaju kosih udarnih talasa obrnute.

$$\Gamma = \frac{1}{2} (v_1^2 - v_2^2) \delta t . \quad 5.3$$

Brzina indukovana ovim vrtlogom u bilo kojoj tački polja određuje se po obrascu

$$v_i = \frac{\Gamma}{2 r_i \pi} . \quad 5.4.$$

Jednačine granične strujnice u parametarskom obliku prema teoriji Helmholtza i Kirchofa glase (Kočin ^{26b}), I, str. 328)

$$x = \frac{1}{V_\infty} \left[\sqrt{\varphi(\varphi - c)} - c \ln \frac{\sqrt{\varphi} + \sqrt{\varphi - c}}{\sqrt{c}} \right] , \quad 5.5$$

$$y = \frac{h}{2} + \frac{2\sqrt{c}}{V_\infty} (\sqrt{\varphi} - \sqrt{c}) , \quad 5.6.$$

gde je $c = \frac{h V_\infty}{\pi + 4}$, φ - potencijal. 5.7

Iz ovih jednačina se neposredno dobija i koeficijent pravca tangente na graničnu strujnicu na proizvoljnom mestu

$$\frac{dy}{dx} = \sqrt{\frac{c}{\varphi - c}} . \quad 5.8$$

Uvedimo nove parametarske veličine u obliku

$$c = H V_\infty \quad 5.9$$

$$\varphi = \Phi V_\infty \quad 5.10$$

gde sada H i Φ imaju dimenzije dužine. Prema jednačini 5.7 veza između H i h je sledeća

$$H = \frac{h}{\pi + 4} \quad 5.11$$

Smenom 5.9 i 5.10 u 5.5 i 5.6 dobija se

$$\frac{x}{H} = \sqrt{\frac{\Phi}{H} \left(\frac{\Phi}{H} - 1 \right)} - \ln \left(\sqrt{\frac{\Phi}{H}} + \sqrt{\frac{\Phi}{H} - 1} \right), \quad 5.5a$$

$$\frac{y}{H} = \frac{\pi + 4}{2} + 2 \left(\sqrt{\frac{\Phi}{H} - 1} \right). \quad 5.6a$$

Dakle, oblik granične strujnice ne zavisi od beskrajsne brzine, već samo od širine ploče. Ovo je osnovni nedostatak ove teorije, po kojoj se dobija uvek jedna i uvek ista granična strujnica za datu ploču bez obzira na veličinu beskrajsne brzine.

U stvarnosti će pri većim beskrajsnim brzinama strujanja delići fluida u brazdi trpeti veće viskozne sile kočenja*, što dovede do sušenja traga iza ploče i vice versa. Međutim, kako u slučaju kada se granična strujnica zameni vrtložnim slojem dolazi do promene njegovog oblika, neophodno je unapred poznavati veličinu brzine u graničnoj strujnici, kada je ova šira ili uža od teorijski date. Fizički posmatrano, očevično je da ukoliko imamo širi trag, utoliko dolazi do većeg sgušnjavanja strujnice, pa slično dinamičkim uslovima, brzina duž brazde je povećana, a kod užeg traga imamo manje brzine duž brazde. U graničnom slučaju, kada beskrajsna brzina teži nuli tada se iz jednačine 5.7 dobija da $c \rightarrow 0$, i

$$\lim_{c \rightarrow 0} \frac{dy}{dx} = 0, \text{ kada } V_{\infty} \rightarrow 0 \quad 5.8a$$

$$c \rightarrow 0$$

Znači, unutar pravih linija koje polaze od obe ivice ploče paralelno osi strujanja brzina je nula, dok idući ka graničnoj strujnici raste do veličine beskrajsne brzine na ovoj, a izvan ove takođe produkuje da raste. Zakonomernost porasta ove brzine, koja postoji u stvarnom fluidu, je za sad nepoznata, pa je radi rešavanja postavljenog zadatka potrebno uvesti neku pretpostavku o brzinskom polju za slučaj raznih širina traga iza ploče.

* veći je porast tangencijalnih brzina u poprečnom pravcu

Pretpostavimo da se širina prepreke menja i dobija vrednosti: $0,5h$, $1,5h$, $2,0h$, itd., pa računajmo oblike graničnih strujnica u tim slučajevima. Posle toga vratimo se opet jednačini 5.7, i iz nje zaključujemo da se ista vrednost dobija bez obzira kako su grupisane veličine

$$c = \frac{(1,5h) V_{\infty}}{\pi + 4} = \frac{h (1,5 V_{\infty})}{\pi + 4} = \text{const.} \quad 5.13$$

Na ovaj način moguće je dobiti brzinsko polje na koje pretpostavljamo da je istovetno sa strujnim poljima oko ploča sa raznim širinama. Napominje se da učinjene pretpostavke nemaju teorijskog opravdanja, jer posmatrano matematički parametar koji je menjan je, u stvari, širina ploče, a ne beskrajna brzina koja uopšte nije parametar u ovom sistemu jednačina. Međutim, na ovaj način određeno brzinsko polje zadovoljava dinamičke uslove, to jest da se pri širenju traga brzina brazde povećava, a prilikom sužavanja traga brzina brazde smanjuje.

Mi ćemo na dalje usvojiti da je ovim brzinskim poljem određena samo veličina brzine, a pravac će se dobiti u svakom pojedinom slučaju povlačenjem tangente na vrtložni sloj u toj tački.

Ove su dve jedine teorijski proizvoljne pretpostavke koje su učinjene pre grafičkog rešavanja zadatka.

Grafičko rešavanje konkretnog zadatka

Usvojeni su sledeći ulazni podaci:

- | | |
|---------------------------------|---|
| a) Ravna ploča širine | $h = 3 \text{ mm}$ |
| b) Beskrajna brzina | $V_{\infty} = 1 \text{ m/sek}$ |
| c) Kinetička viskoznost vazduha | $\nu = 15,1 \cdot 10^{-6} \text{ m}^2/\text{sek}$ |
| d) Značilac Rejnoldsa | $Re = 200$ |

Na osnovu ispitivanja Roškea ^{42a)} iz dijagrama 21 se dobija:

$$R = 200 \quad - \quad S \cdot R = 38,$$

pa je $S = 0,19$.

Učestanost odvajanja vihera se dobija iz

$$N = \frac{S \cdot v}{h} = \frac{0,19 \cdot 1}{0,003} = 63,3 \text{ sek}^{-1}.$$

Jedan vihor se izgradi za vreme

$$T = \frac{1}{N} = 0,0158 \text{ sek.}$$

Ako usvojimo vremenski interval

$$t = 0,001 \text{ sek.}$$

tada će posle 15,8 vremenskih intervala doći do odvajanja vihera.

Čin su poznati beskrajsna brzina i vremenski interval, moguće je prema jednačini 5.3 sračunati jačinu vrtloga koncentrisanog u tački, a koji odgovara stvorenom vrtložnom sloju u tom intervalu vremena

$$\Gamma = \frac{1}{2} v_{\infty}^2 t = 0,5 \cdot 0,001 \frac{\text{m}^2}{\text{sek}} = 500 \text{ mm}^2/\text{sek.}$$

Indukovana brzina na proizvoljnom rastojanju r_1 /mm/ od datog vrtloga je

$$v_1 = \frac{\Gamma}{2 r_1 \pi} = \frac{500}{2 \pi r_1} = \frac{79,5}{r_1} \text{ mm/sek.}$$

Ova zavisnost je data grafički radi lakšeg rada.

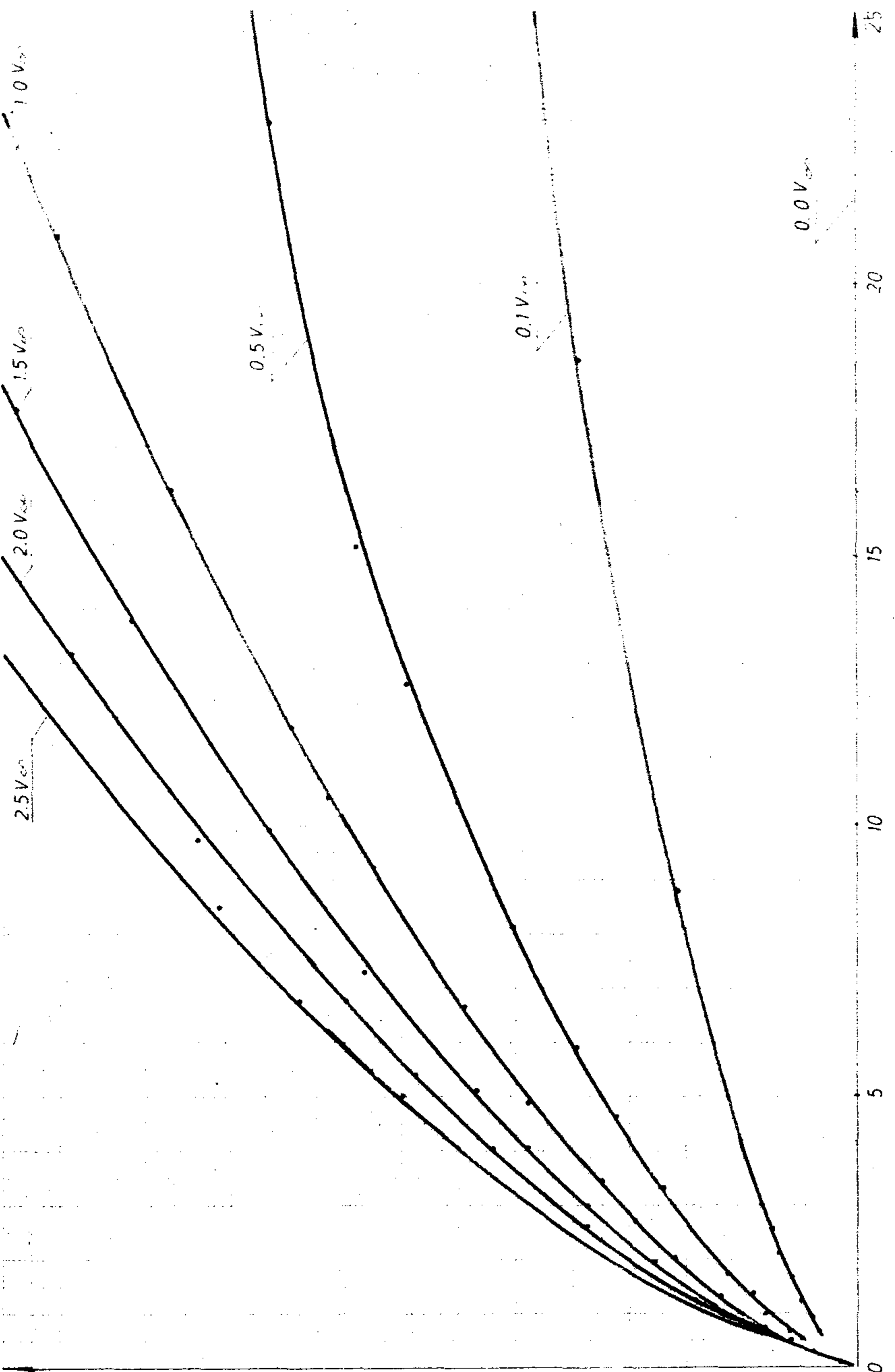
Oblik granične strujnice je sračunat tabelarno prema jednačinama 5.5, 5.6 i 5.7, a ostale brzine su dobijene u sledećoj tabeli prema jednačini 5.13.

Ulasni podaci: $V = 100 \text{ cm/sec};$
 $h^{\infty} = 0,3 \text{ cm}$

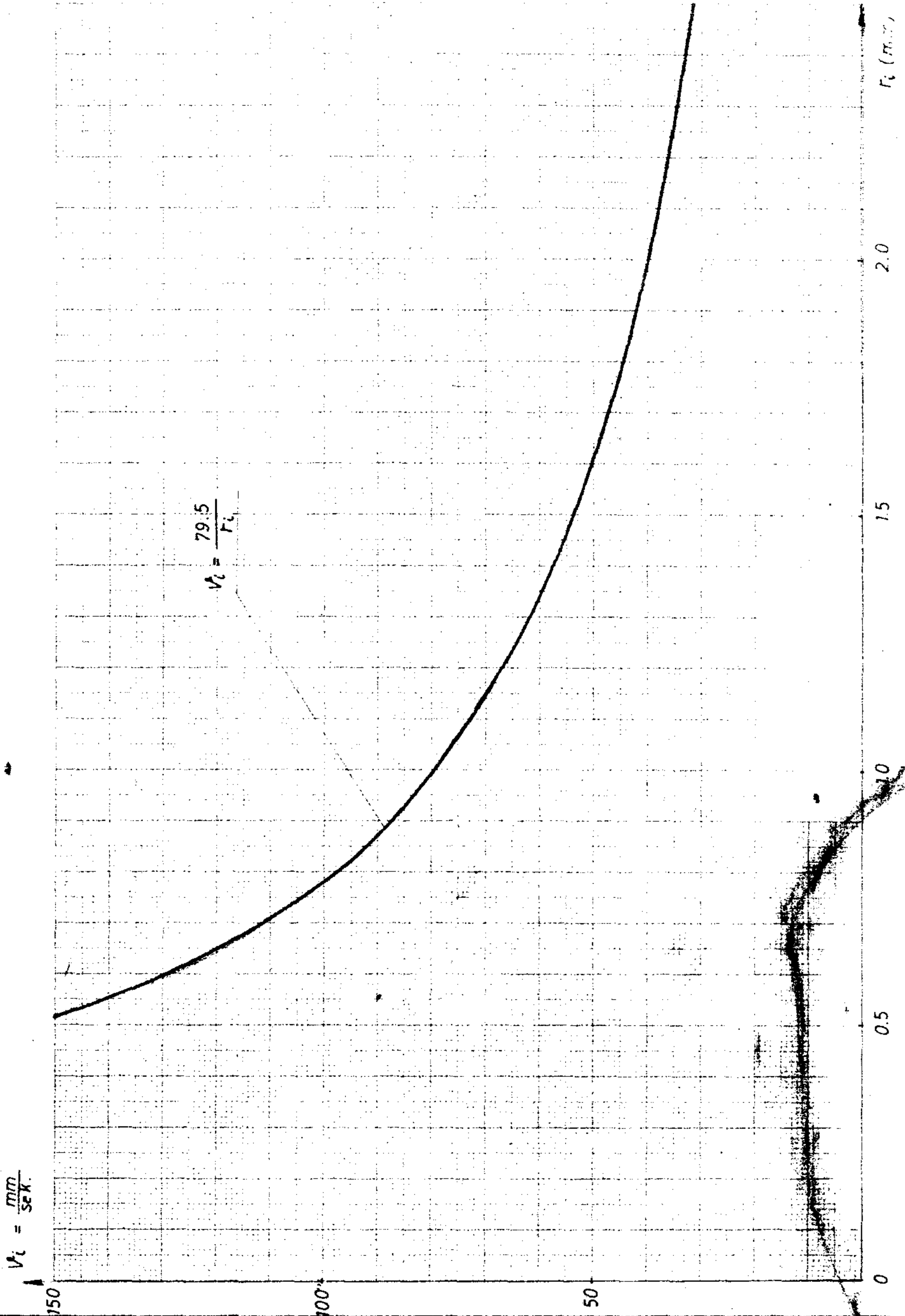
$C = 4,2$
 $VC = 2,05$
 $2VC = 4,10$

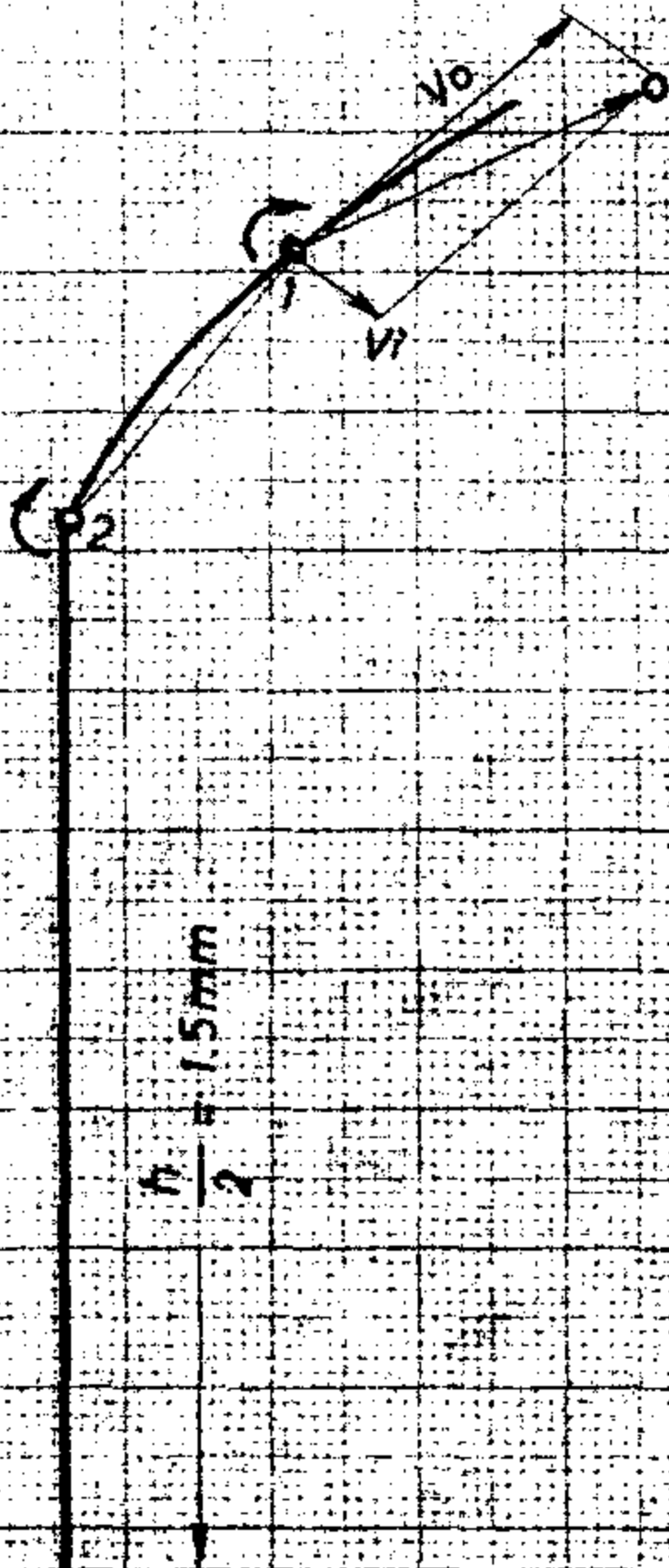
No	e	$e - C$	\sqrt{e}	$\sqrt{e - C}$	$\sqrt{e(e - C)}$	$\sqrt{e} + \sqrt{e - C}$	$\frac{\sqrt{e} + \sqrt{e - C}}{\sqrt{C}}$	$\log x$	$C \ln x$	$100 x$	$\sqrt{e} - \sqrt{C}$	$100(y - \frac{h}{2})$
1	4,5	0,3	2,12	0,55	1,17	2,67	1,302	0,115	1,108	0,1	0,07	0,3
2	5,0	0,8	2,24	0,89	2,01	3,13	1,527	0,184	1,78	0,3	0,19	0,8
3	5,5	1,3	2,34	1,14	2,67	3,48	1,697	0,230	2,22	0,5	0,29	1,2
4	6,0	1,8	2,45	1,34	3,29	3,79	1,849	0,267	2,58	0,7	0,40	1,6
5	7,0	2,8	2,64	1,67	4,41	4,31	2,102	0,323	3,12	1,3	0,59	2,4
6	8,0	3,8	2,83	1,95	5,52	4,78	2,332	0,368	3,55	2,0	0,78	3,2
7	9,0	4,8	3,00	2,19	6,57	5,19	2,532	0,403	3,90	2,7	0,95	3,9
8	10,0	5,8	3,16	2,41	7,61	5,57	2,717	0,434	4,20	3,4	1,09	4,5
9	12,0	7,8	3,46	2,79	9,66	6,25	3,049	0,484	4,68	4,9	1,41	5,8
10	14,0	9,8	3,74	3,13	11,70	6,87	3,351	0,525	5,10	6,6	1,69	6,9
11	17,0	12,8	4,12	3,58	14,70	7,70	3,756	0,575	5,50	9,2	2,07	8,5
12	20,0	15,8	4,47	3,97	17,70	8,44	4,117	0,615	5,90	11,8	2,42	9,9
13	25,0	20,8	5,00	4,56	22,80	9,56	4,653	0,669	6,50	16,3	2,95	12,1
14	30,0	25,8	5,48	5,08	27,80	10,56	5,151	0,712	6,90	20,9	3,43	14,0
15	35,0	30,8	5,91	5,50	32,50	11,41	5,566	0,746	7,20	25,3	3,86	15,8
16	40,0	35,8	6,32	5,98	37,80	12,30	6,000	0,778	7,50	30,3	4,27	17,5
17	50,0	45,8	7,07	7,67	54,20	14,74	7,190	0,857	8,30	45,9	5,02	20,6
18	100,0	95,8	10,00	9,79	97,90	19,79	9,654	0,985	9,50	88,4	7,95	32,6
19	200,0	195,8	14,14	13,99	197,00	28,13	13,70	1,137	11,00	186,0	12,09	49,6
20	300,0	295,8	17,32	17,20	298,00	34,52	16,82	1,226	11,91	286,0	15,27	62,5
21	400,0	395,8	20,00	19,89	398	39,89	19,40	1,288	12,50	387,5	17,95	74,1
22	500,0	495,8	22,36	22,27	499	44,63	21,70	1,336	13,00	486,0	20,31	83,7

RAZMERA 100:1

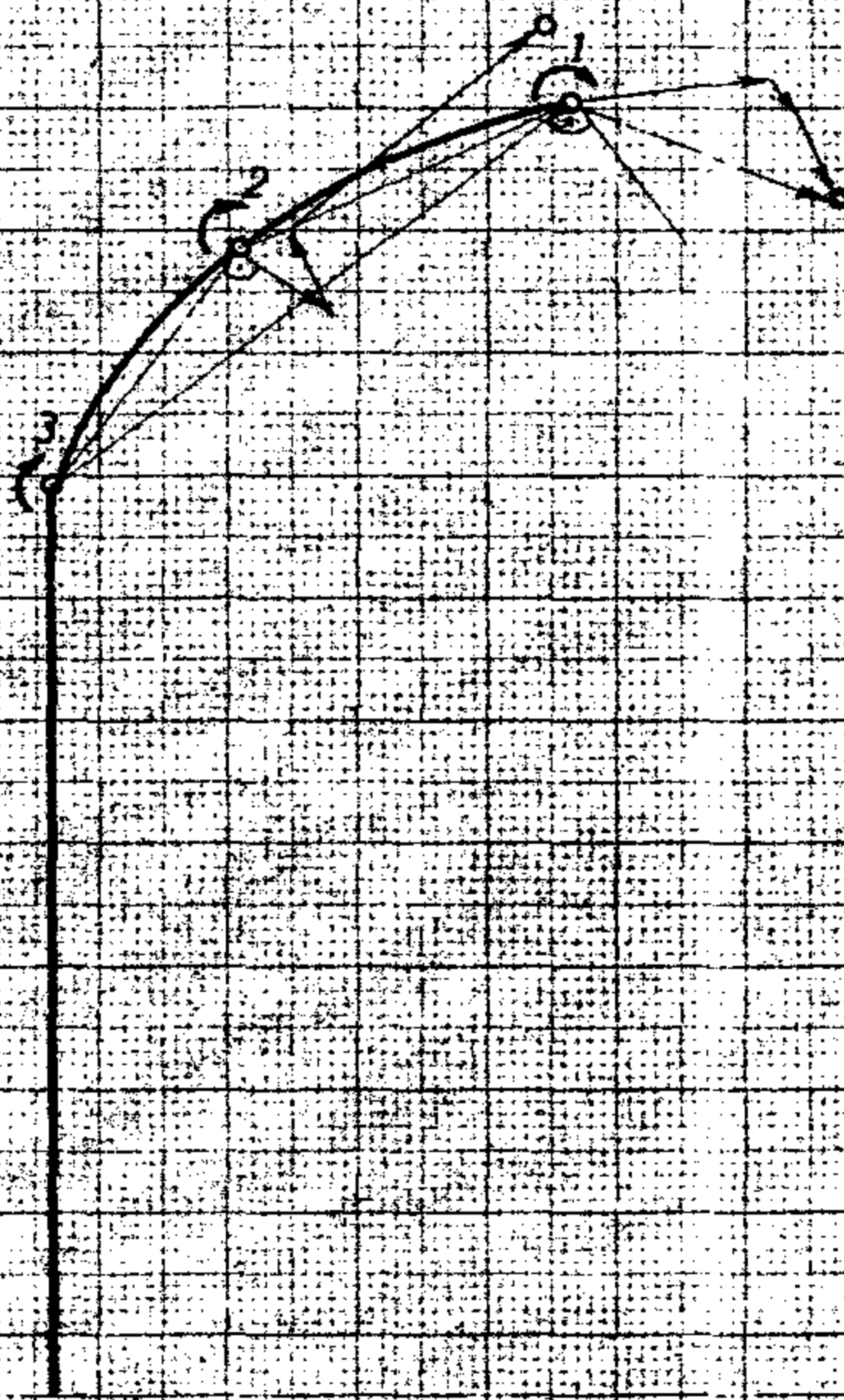


SL-9.

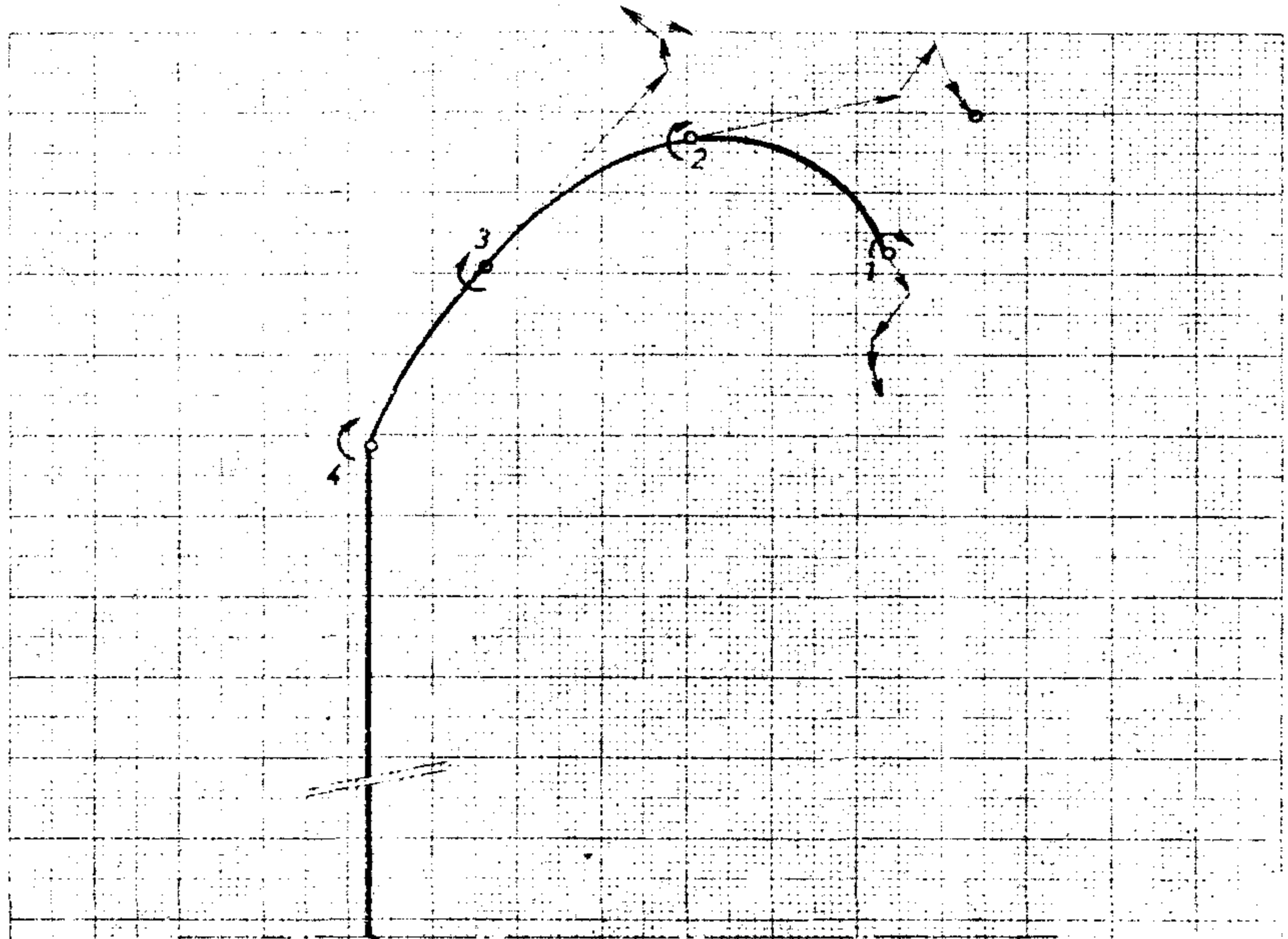




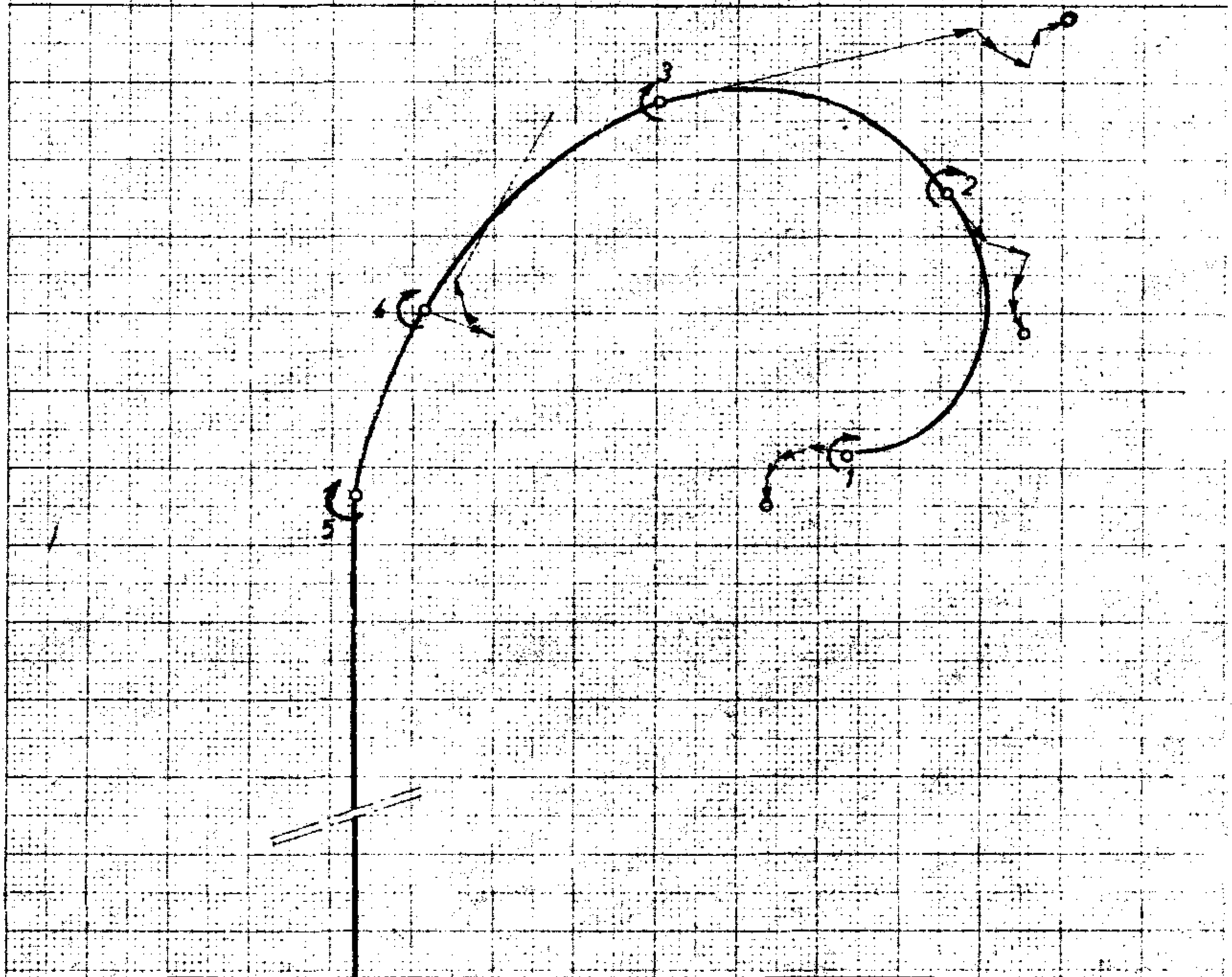
SL. 11. PUTANJA VRTILOZNOG SLOJA POSLE 0.001 sek.



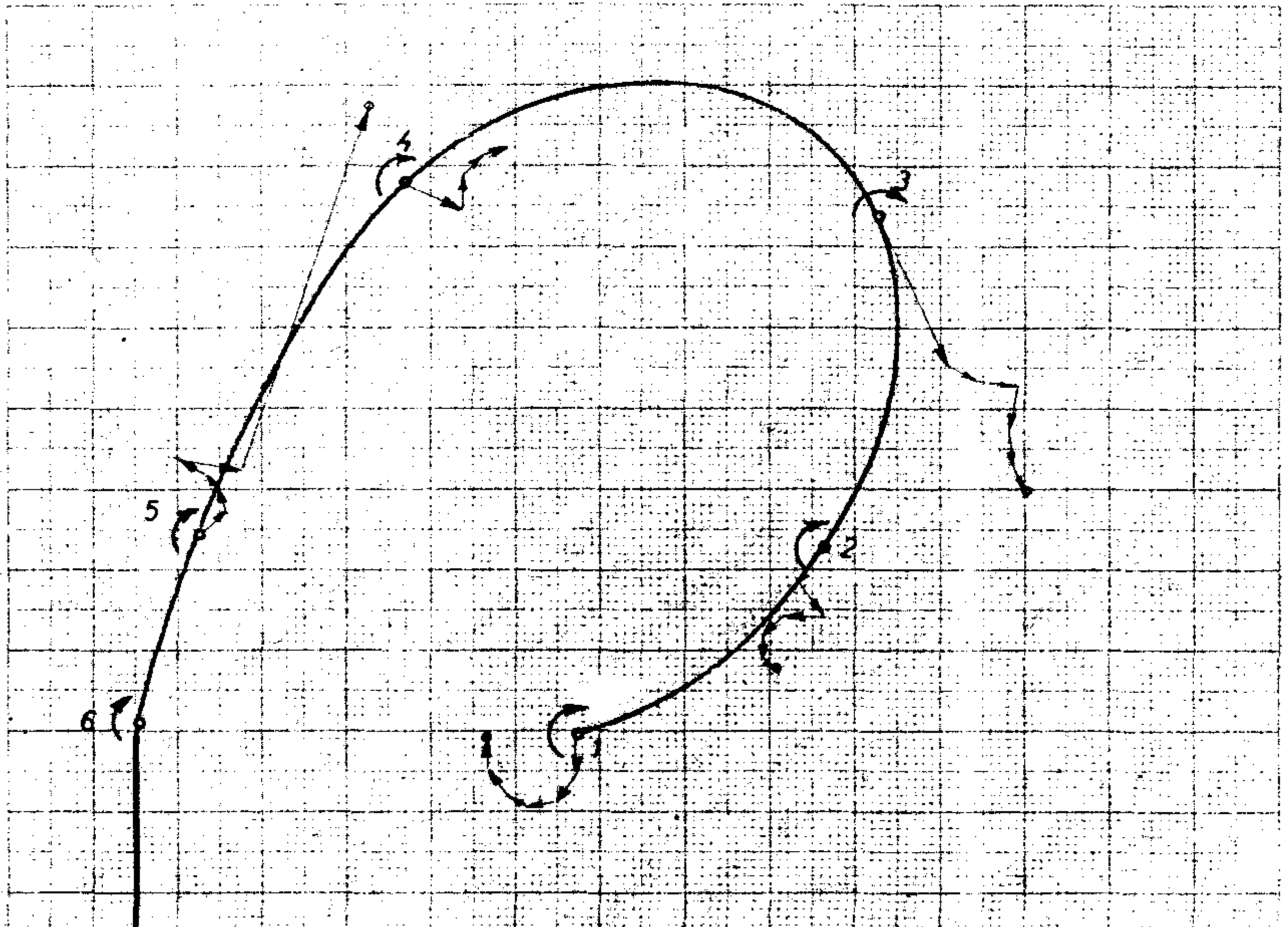
SL. 12. PUTANJA VRTILOZNOG SLOJA POSLE 0.002 sek.



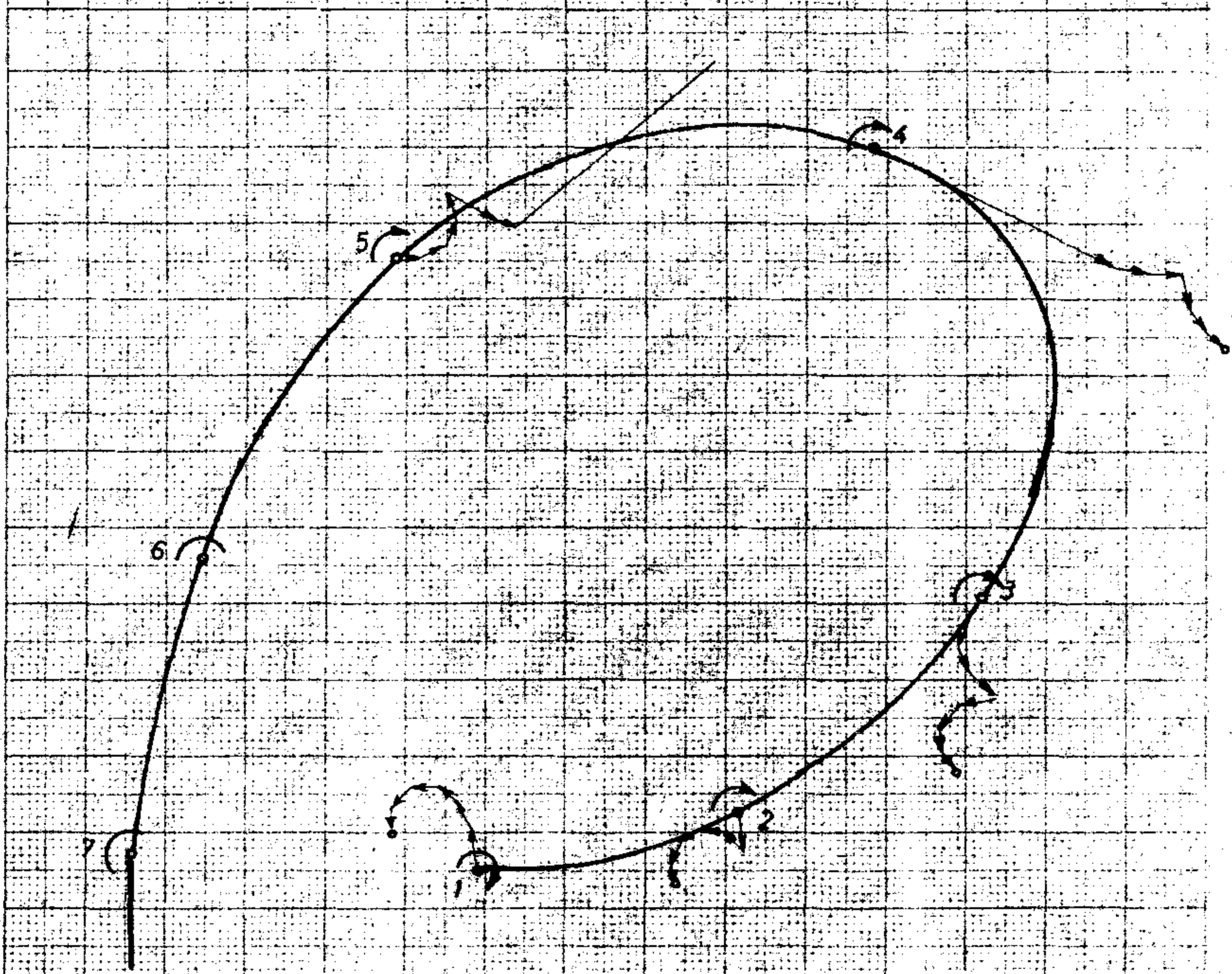
SL. 13. PUTANJA VRTLOŽNOG SLOJA POSLE 0.003 sek.



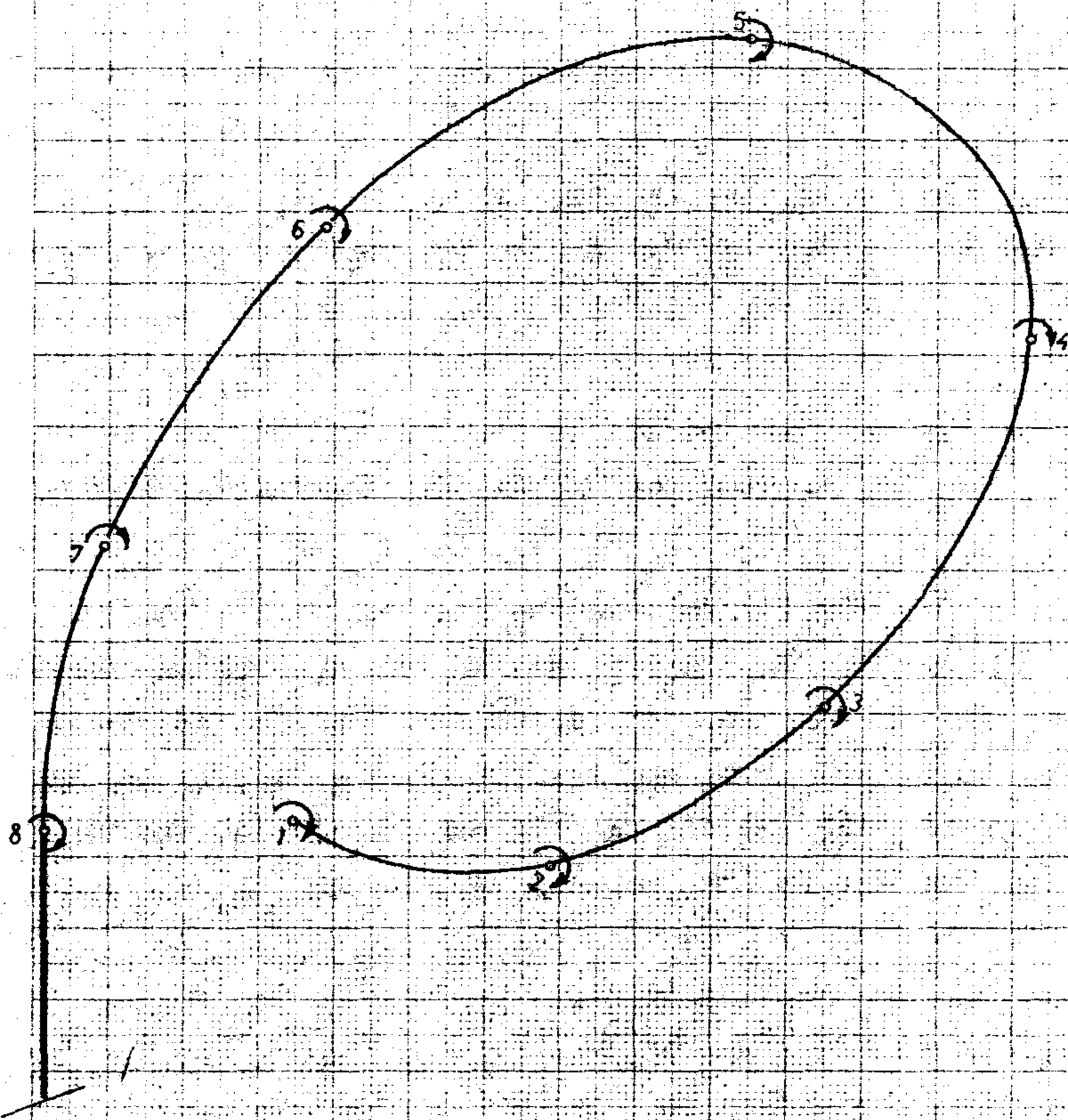
SL. 14. PUTANJA VRTLOŽNOG SLOJA POSLE 0.004 sec.



SL.15. PUTANJA VRTILOŽNOG SLOJA POSLE 0.005 sek.



SL.16. PUTANJA VRTILOŽNOG SLOJA POSLE 0.006 sek.



SL. 17. PUTANJA VRTILOŽNOG SLOJA POSLE 0.007 sek.

Na osnovu grafički isvedene kinematičke analize dobili smo sledeće rezultate:

- 1) Vrtložni sloj se spiralne namotava oko svoga slobodnog kraja.
- 2) Nепrekidno u toku namotavanja vrtložnog sloja dolazi uporedo i do narastanja viora.
- 3) Diskretne vrtložne niti, kojima je zamenjen kontinualni vrtložni sloj, se tokom vremena sve više i više udaljuju jedna od druge. Kako one predstavljaju određeni deo vrtložnog sloja, to znači da njegova gustina opada.
- 4) Kod slobodnog kraja vrtložnog sloja dolazi tokom vremena do približavanja vrtložnih niti, što znači da gustina vrtloga u viorhon jaqnu raste.
- 5) Kada se ingradi jedna namotaj spirale, kada slobodni kraj vrtložnog sloja dolazi u blizini ivice ploče i indukuje na ovoj brzini (V_2 u jednačini 3.1), koja dovođi do smanjivanja jačine manjih vrtloga koji nastaju. Ovo daje objašnjenje davnog opaženog neslaganja između ukupne cirkulacije koja se stvara u vrtložnom sloju, premašnoj kod viora koji se odvaja (odnos 100% : 50%).

6. APROKSIMACIJA SPIRALNOG VRTLOŽNOG SLOJA

Pri proučavanju kretanja kružne-cilindričnog vrtložnog sloja (v. Košičin ^{26b}) konstantne vrtložne "gustine" ^{*} - G , funkcija kompleksnog potencijala se dobija u obliku

$$v = \frac{G R}{2\pi i} \int_0^{2\pi} \ln (z - R e^{i\theta}) d\theta, \quad 6.1$$

odnosno kompleksne brzine koje ovaj vrtložni sloj indukuje biće

$$v_x - v_y = \frac{G R}{2\pi i} \int_0^{2\pi} \frac{d\theta}{z - R e^{i\theta}} = \begin{cases} 0, & \text{za } |z| < R \\ \frac{GR}{iz}, & \text{za } |z| > R \end{cases} \quad 6.2$$

Znači, unutar cilindra ograničenog vrtložnim slojem kretanja nema, a isvan cilindra kretanje je takvo kao da u onom cilindru imamo vrtložnu nit sa cirkulacijom $2\pi R G$.

Prantl ^{16b}) je još 1912 godine pokazao da strujnice oblika logaritamske spirale ispunjavaju i kinematičke i dinamičke uslove strujanja. Pretpostavimo da je vrtložni sloj otvorena kriva linija.

Prema teoremi Helmholtza pravolinijska vrtložna vlakna moraju da počinju i da se završavaju na granicama tečnosti ili se prestiru u beskonačnost. U slučaju dvodimenzijalnog vrtložnog sloja, ovaj uslov je ispunjen, jer se pravolinijske vrtložne niti prestiru na obe strane u beskonačnost. Vrtložni sloj ne mora da bude zatvorena kriva linija, a beskonačne indukovane brzine na njegovom kraju mogu da se ponište ako je gustina vrtložnog sloja na njegovom kraju nula. Ukoliko imamo vrtložni sloj konstantne gustine, beskonačna indukovana brzina na slobodnom kraju se može izbaci dodavanjem jednog malog (na primer:

^{*} Vrtložna gustina predstavlja cirkulaciju po jedinici dužine vrtložnog sloja.

linearno) opadajućeg dela na kraju koji ide do nule.

Pozmatrajmo vrtložni sloj u polarnom koordinatnom sistemu i pretpostavimo da je njegov oblik unapred data funkcija.

$$R = R(\theta) , \quad 6.3$$

~~gde je isto tako spirala~~

U opštem slučaju promenljiva gustina vrtložnog sloja $G(R, \theta)$ na elementarnoj dužini luka ds data je jednačinom

$$G/\bar{R}(\theta), \theta/ds = G(\theta) \sqrt{R'^2 + R^2} d\theta . \quad 6.4$$

Sada je moguće Kötnerov kompleksni potencijal postaviti u opštim obliku kao krivolinijski integral duž proizvoljnog luka AB u obliku

$$W = \frac{1}{2\pi i} \int_{AB} G(\theta) \sqrt{R'^2 + R^2} \ln(z - R e^{i\theta}) d\theta . \quad 6.5$$

Očevidno je da se u specijalnom slučaju kružnog cilindričnog ($R = \text{const.}$) vrtložnog sloja konstantne gustine ($G = \text{const.}$) dobijeni kompleksni potencijal 6.5 poistoveđuje sa jednačinom 6.1.

Kompleksne brzine u proizvoljnoj tački polja indukovane vrtložnim slojem glase

$$v_x - iv_y = \frac{1}{2\pi i} \int_{AB} \frac{G(\theta) \sqrt{R'^2 + R^2} d\theta}{z - R e^{i\theta}} . \quad 6.6$$

Pretpostavimo da vrtložni sloj ima oblik logaritamske spirale, koja ima osečinu da se beskonačno mnogo puta obavija oko svega pola, približavajući mu se sve bliže i bliže, ali ga nikad ne dostiže. Jednačina logaritamske spirale u polarnim koordinatama jeste

$$R = a e^{n\theta} , \quad 6.7$$

gde usvajamo da θ raste u smeru kazaljke na satu. Konstanta " a " određuje tačku da je tangenta na sloj na početku polja paralelna sa x-osi (tangenta na spirali) - i. e. Konstanta " a " ne utiče na oblik loga-

ritamske spirale nego samo na njen položaj, a na oblik spirale utiče samo konstanta "m", i u našem slučaju je negativna.

Ako radi daljeg uprošćavanja usvojimo da je gustina vrtloknog sloja konstantna

$$\theta = \text{const.} \quad 6.8$$

te smenom u jednačinu 6.6 dobijamo

$$v_x - iv_y = \frac{G \sqrt{m^2 + 1}}{2\pi i} \int_0^{2k\pi} \frac{z e^{m\theta} d\theta}{z - a e^{(m+1)\theta}} \quad 6.9$$

gde "k" predstavlja broj namotaja spirale, i radi jednostavnijeg računa usvojimo da je "k" neki ceo broj.

Sračunavanje integrala će se izvesti pošto se prethodno podintegralna funkcija napiše u besdimenzionom obliku

$$\int \frac{z e^{m\theta} d\theta}{z - a e^{(m+1)\theta}} = \int e^{-i\theta} \frac{z e^{(m+1)\theta} d\theta}{z - a e^{(m+1)\theta}} \quad 6.10$$

Sada uvedimo sledeću smenu promenljivih

$$u = e^{-i\theta} ; \quad dv = \frac{z e^{(m+1)\theta} d\theta}{z - a e^{(m+1)\theta}} \quad 6.11$$

$$du = -i e^{-i\theta} d\theta ; \quad v = -\frac{1}{m+1} \ln \left(\frac{z}{a} - e^{(m+1)\theta} \right)$$

i primenimo delimičnu integraciju pa dobijamo

$$\int \frac{z e^{m\theta} d\theta}{z - a e^{(m+1)\theta}} = -\frac{e^{-i\theta}}{m+1} \ln \left(\frac{z}{a} - e^{(m+1)\theta} \right) - \frac{1}{m+1} \int e^{-i\theta} \ln \left(\frac{z}{a} - e^{(m+1)\theta} \right) d\theta, \quad 6.12$$

Drugi integral na desnoj strani jednačine 6.12 ne može se rešiti kvadraturama u zatvorenom obliku pa će se stoga logaritamska

funkcija razvijati u red na sledeći način

$$\ln \left(\frac{z}{s} - e^{(n+1)\theta} \right) = \ln \frac{z}{s} + \ln \left(1 - \frac{z}{s} e^{(n+1)\theta} \right) \quad 6.13$$

Sada usvojimo da je odnos sa jedan nametaj spirale

$$\frac{z}{s} e^{(n+1)\theta} < 1 \quad 6.14$$

Ova nejednačina će uvek biti zadovoljena ako se tekuća koordinata "s" nalazi izvan spirale, i to skoliko se nalazi dalje, u toliko je približno rešenje integrala tačnije pri zadržavanju na istom broju članova reda. Razvijanjem logaritamske funkcije u red dobija se

$$\ln \left(1 - \frac{z}{s} e^{(n+1)\theta} \right) = - \sum_{n=0}^{\infty} \frac{1}{n+1} \left(\frac{z}{s} e^{(n+1)\theta} \right)^{n+1} \quad 6.15$$

Sto smenom u integral 6.13 daje

$$\int e^{-1\theta} \ln \left(\frac{z}{s} - e^{(n+1)\theta} \right) = \ln \frac{z}{s} \int e^{-1\theta} d\theta - \frac{z}{s} \int e^{n\theta} d\theta - \frac{z^2}{2s^2} \int e^{-1\theta} e^{(n+1)^2 \theta^2} d\theta - \frac{z^3}{3s^3} \int e^{-1\theta} e^{(n+1)^3 \theta^3} d\theta \dots \quad 6.16$$

Prva dva integrala su tablični slučajevi, dok se treći integral svodi uvođenjem nove promenljive

$$u = (n+1) \left(\theta - \frac{1}{2(n+1)^2} \right) \quad 6.17$$

U integral

$$\int e^{-1\theta} e^{(n+1)^2 \theta^2} d\theta = \frac{1}{n+1} \int e^{u^2} du \quad 6.18$$

koji je poznata i tabulisana specijalna funkcija. Međutim, četvrti član kao i dalji članovi koji su višega reda ne mogu se izračunati, jer specijalne funkcije toga tipa nisu tabulisane. Iz tog razloga smo prinudjeni da se zadržimo na trećem članu reda.

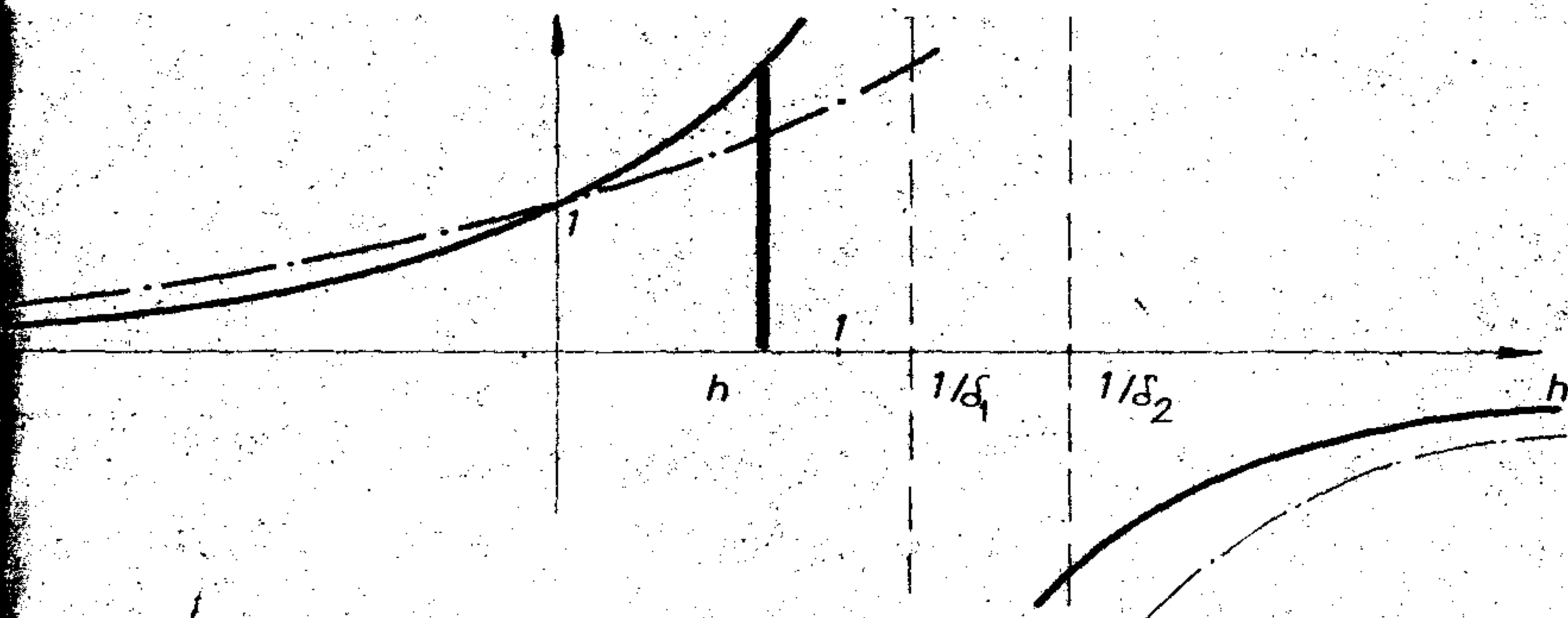
Sada ćemo proceniti grešku koju time činimo, odnosno utvrdićemo u kojoj oblasti važi približno integraljenje tako da učinjena greška nije veća od unapred zadate vrednosti. Koristićemo Lagranževu metodu procene veličine ostatka Tajlorovog reda koja je oblika

$$f(a+h) = f(a) + \frac{h}{1!} f'(a) + \dots + \frac{h^n}{n!} f^{(n)}(a) (a+\delta h) \quad 6.19$$

U našem slučaju ostatak od trećeg člana na dalje glasi

$$R_3 = \frac{h^3}{3!} f^{(3)}(a+\delta h) = \frac{h^3}{6} \frac{2}{(1-\delta h)^3} \quad 6.19a$$

Majoriranjem će se odrediti vrednost na δ tako da ostatak ima najveću vrednost. Funkcija ostatka ima asimptotu na $h = \frac{1}{\delta}$ i grafički je predstavljena na slici 19



Sl. 19. Funkcija ostatka R_3

Za fiksirano h menjajući parametar δ očevično je da je ostatak najveći kada je $\delta = 1$. Ako još propišemo da greška bude manja od 5% tada je

$$\frac{1}{3} \left(\frac{h}{1-h} \right)^3 \leq 0,05 \quad 6.20$$

odakle se dobija

$$h = \frac{a/e^{(n+1)\theta}}{z} \leq 0,35$$

Bakle, unutar ovoga opsega se može prihvatiti približno rešenje integrala, jer je greška manja od 5%.

Da bi odredili vrednost integrala unutar spirale korišćene se nejednakost koja važi za jedan namotaj spirale $0 \leq \theta \leq 2$

$$\frac{z}{a \cdot e^{(n+1)\theta}} < 1, \quad 6.21$$

pa se u tome slučaju argument logaritma transformiše na sledeći način

$$\ln \left(\frac{z}{a} - e^{(n+1)\theta} \right) = (n+1)\theta + \pi i + \ln \left(1 - \frac{z}{a \cdot e^{(n+1)\theta}} \right) \quad 6.22$$

Razvijanjem logaritamske funkcije u red dobijamo smenom u integral 6.12

$$\int e^{-i\theta} \ln \left(\frac{z}{a} - e^{(n+1)\theta} \right) d\theta = (n+1) \int \theta e^{-i\theta} d\theta +$$

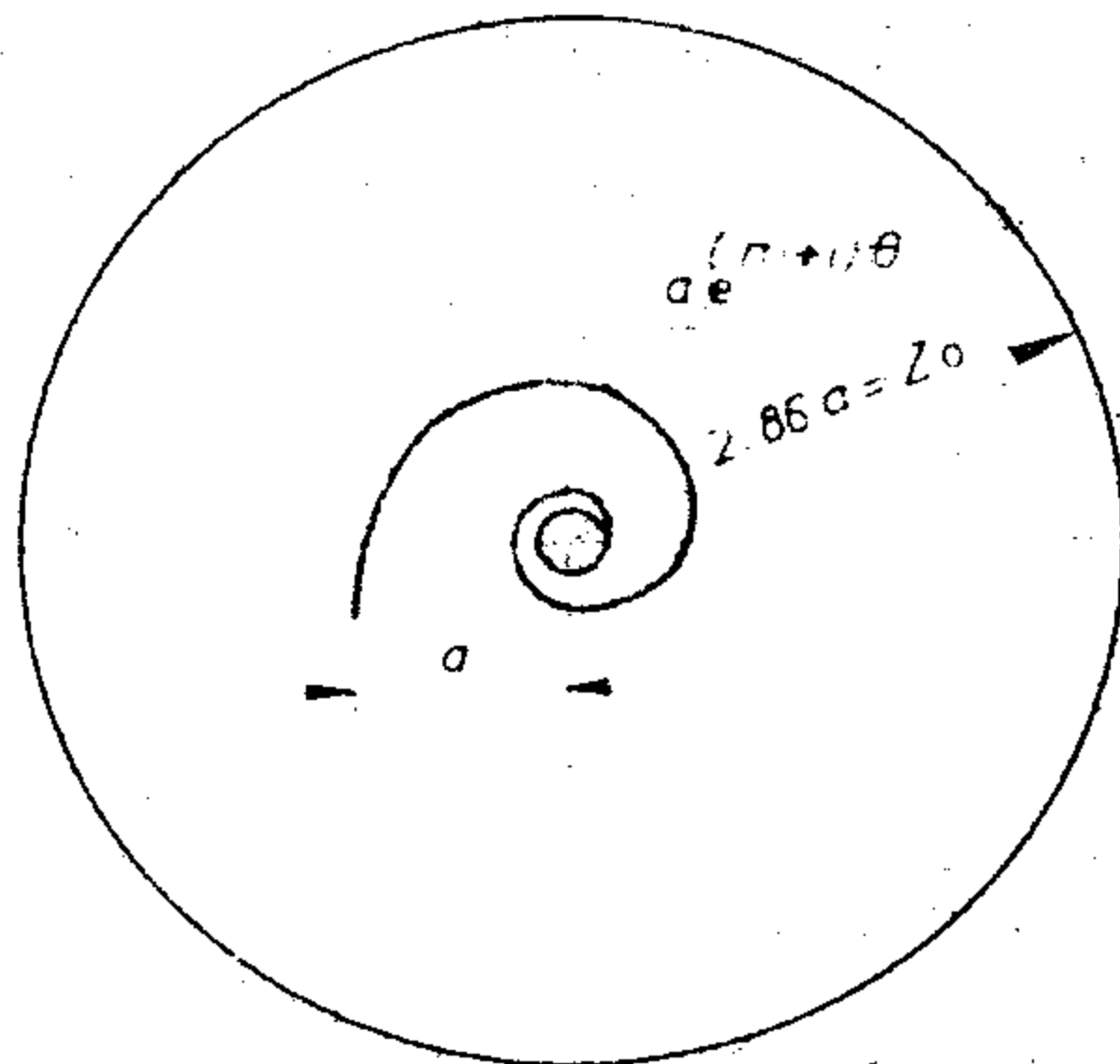
$$+ i \int e^{-i\theta} d\theta - \frac{z}{a} \int e^{-(n+2i)\theta} d\theta - \frac{z^2}{2a^2} \int e^{-\frac{3z}{a} - (n+1)^2 \theta^2} d\theta \dots \quad 6.23$$

Prva tri integrala su tablični slučajevi, dok se četvrti svodi na integral verovatnoće greške i to potpuno analogno kao i ranije uvedenjem nove promenljive

$$u = (n+1) \left(\theta + \frac{1}{2(n+1)^2} \right)$$

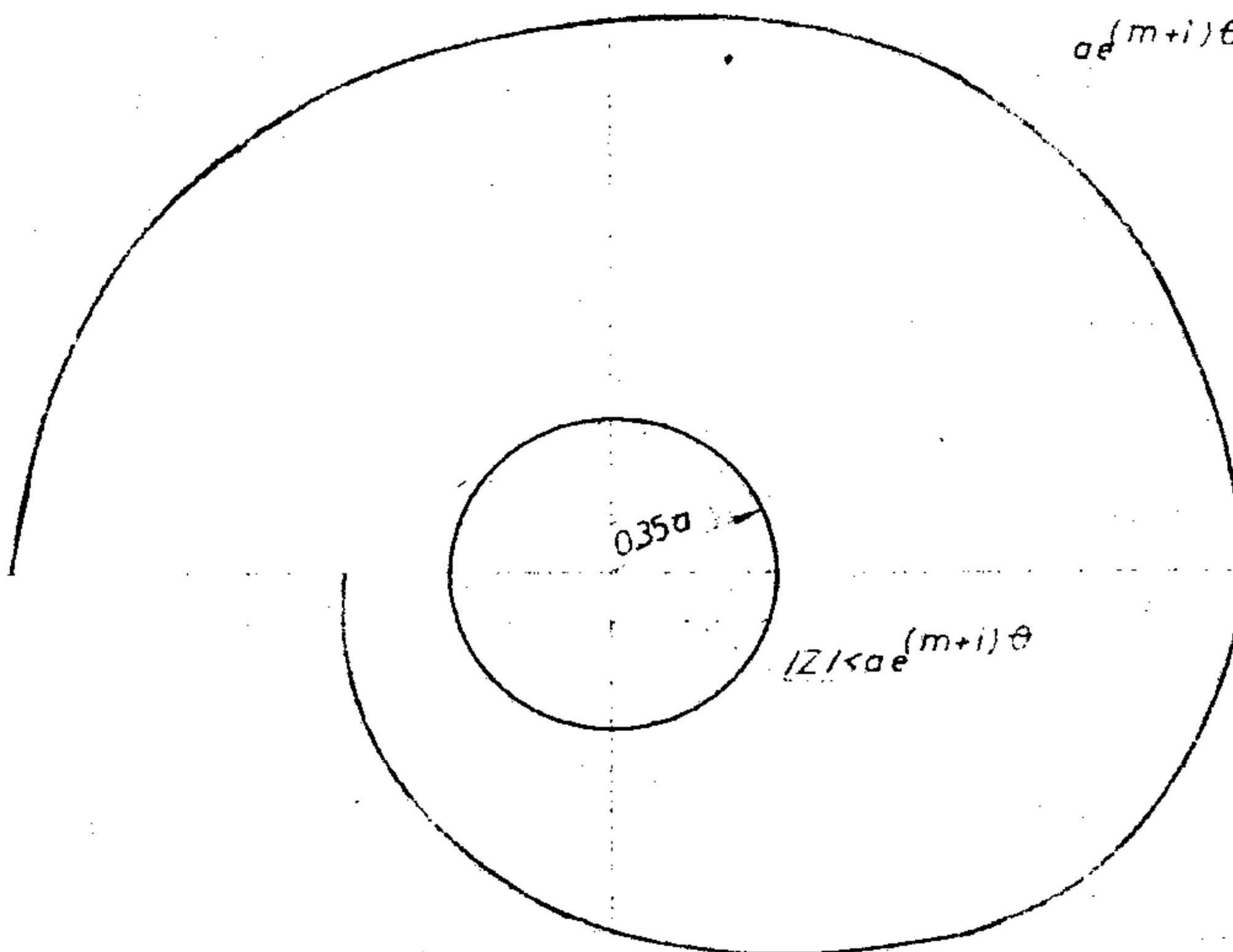
tako da imamo

$$\int e^{-i\theta} e^{-(n+1)^2 \theta^2} d\theta = \frac{1}{n+1} \int e^{-u^2} du \quad 6.24$$



$$|z| > ae^{(m+i)\theta}$$

SL 19. OBLAST IZVAN SPIRALE U KOJOJ JE DOBIJENO REŠENJE TAČNO (ŠRAFIKIRANO)



$$ae^{(m+i)\theta}$$

$$|z| < ae^{(m+i)\theta}$$

SL 20. OBLAST UNUTAR SPIRALE U KOJOJ JE DOBIJENO REŠENJE TAČNO (ŠRAFIKIRANO)

Rešenje integrala je rekurzivna integrala. Moguće je pomoću menom menom granica 0 i 2π računati vrednosti navedjenih integrala. Tako se posle integriranja iz jednačina 6.16 i 6.18 dobija za oblast izvan spirale kompleksna brzina u obliku

$$v_x - i v_y = \frac{G(n-1)}{2\pi i \sqrt{n^2+1}} \left\{ \ln \left(\frac{\frac{z}{a} - 1}{\frac{z}{a} + 1} \right) + \frac{G_1}{n^2} (n-1) + \frac{1}{2} \frac{n^2}{n^2} \frac{4(n+1)^2}{(n+1)^2} \right\} \quad 6.25$$

gde smo radi kratkoće označili sa velikim slovima sledeće veličine

$$z = e^{2km\pi} ; \quad F = F(2k\pi) = \int e^{u^2} du;$$

ili s obzirom na relaciju koja povezuje sastavnice brzine u polarnom i dekartovom koordinatnom sistemu i koja glasi

$$v_x - z \cdot v_y = \frac{dF}{dz} \cdot e^{i\theta} \quad 6.26$$

izgleda da ako jednačinu 6.25 pomnožimo sa $e^{i\theta}$ dobijamo neposredno radijalnu i obimnu sastavnicu brzine. Kako smo, kao što se vidi iz jednačine 6.25 različite od nule, to rezultujuće strujanje isvan spirale nije sa nepromenljivom obimnom brzinom po istom krugu.

Potpuno analogno uvrštavanjem istih granica u jednačine 6.23 i 6.24 dobija se funkcija kompleksne brzine unutar spirale kao

$$v_x - z \cdot v_y = \frac{Q(n-1)}{2 \cdot 10^9 \pi^2 (n+1)} \left\{ \pi i - \ln \frac{z - \frac{z}{a}}{1 - \frac{z}{a}} + i \cdot (n+1) \cdot 2k \pi - \frac{z}{a} \frac{1}{n+2} \left(e^{-(n+2)2k\pi} - 1 \right) - \frac{z^2}{2a^2} \frac{1}{n+1} \right\}$$

6.27

Knoženjem sa $e^{i\theta}$ dobijaju se radijalna i obimna sastavnica brzine.

Funkcija kompleksnog potencijala se dobija integriranjem kompleksne brzine i zanimljivo je da se prvi član u ova slučaja (isvan i unutar spirale) javlja u obliku $\ln z$ koji predstavlja osnovnu karakteristiku spiralnog strujanja.

7. UPOHEDJIVANJE SA OGLEDNIM PODACIMA

Prvi laboratorijski ogledi zasniivali su se na zvučnom efektu pojave vihora. Čaněk⁴⁴⁾ Strouhal⁴⁴⁾, profesor fizike na Karlovoj Universitetu u Pragu, je 1878. godine ispitivao učestanost koju proizvodi žica izložena vazdušnoj struji i pokazao da se ogleđna kriva može aproksimirati sledećom zavisnošću

$$N = \frac{V}{6D}$$

7.1

gde su: N - učestanost zvuka

V - beskrajnosa brzina vazduha

D - prečnik žice.

Nekoliko decenija kasnije kada se pokazalo da su usročnici nastajanja zvuka vihori, koji se naizmenično odvajaju od tela, ~~svetlost~~ je bezdimenzioni značilac koji danas nosi ime Strouhala

$$S = \frac{N D}{V}$$

7.2

Ogleđni podaci se prikazuju u bezdimenzijskom obliku u ravni: značilac Strouhala i značilac Rejnoldsa. Na slici 21 su prikazani ogleđni podaci Roška^{42a)} koji je ispitivao žice raznih prečnika (od 0,0235 do 0,635 mm) u vazdušnom aerotunelu. Karakteristično je veliko rasipanje ogleđnih vrednosti, složeni oblik krive linije i vrlo mali opseg promena značilaca Strouhala.

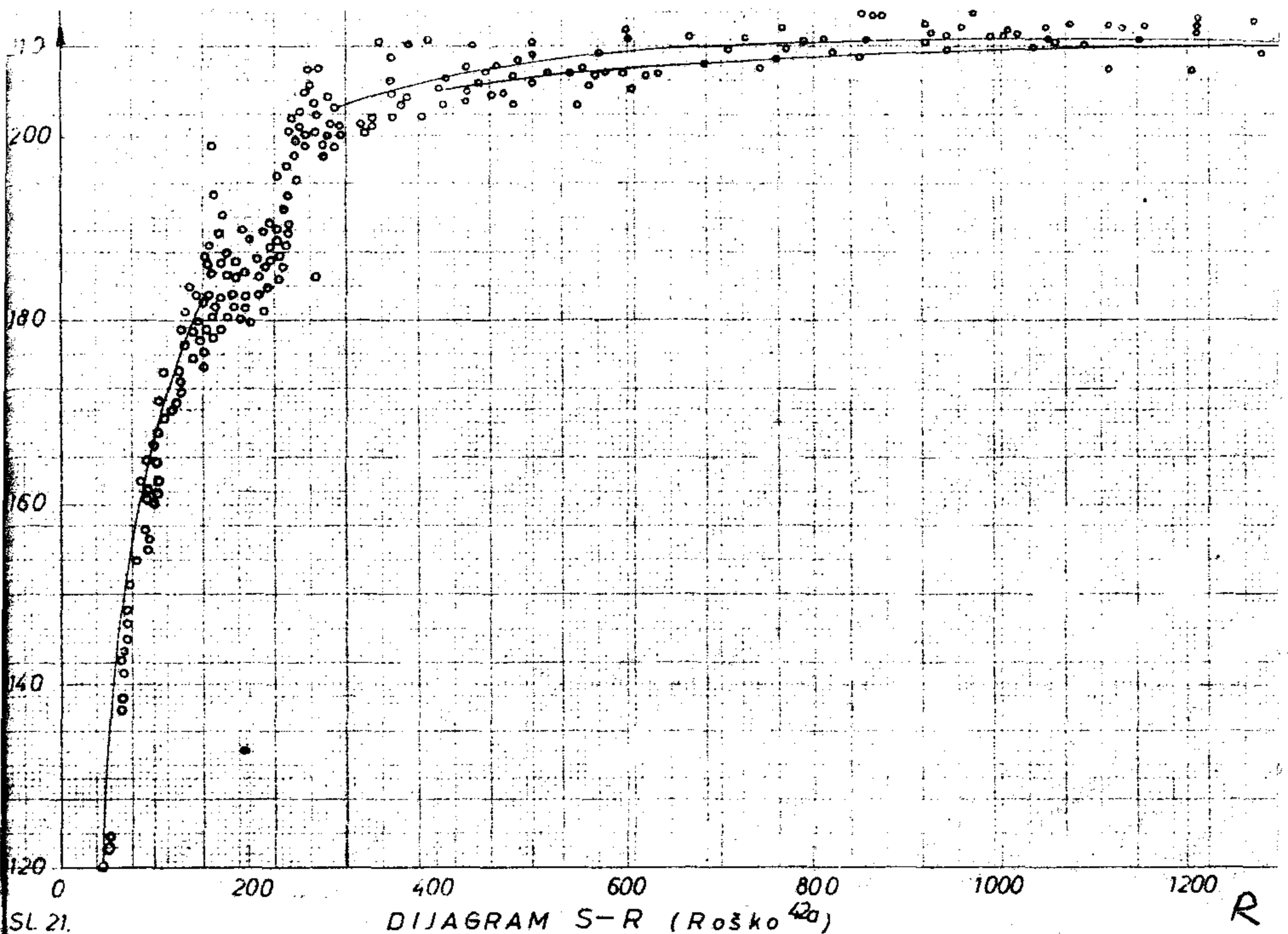
Približnu empirijsku korelaciju navodi Golštajn²⁵⁾ u obliku

$$S \approx 0,21 \left(1 - \frac{20}{Re}\right)$$

7.3

Mi ćemo sada primeniti dimenzionu analizu sa najprostiju

⁴⁴⁾ Zanimljivo je da ga u celokupnoj literaturi navode kao V. Strouhal, je su svi pošli sa nečijom greškom. Takođe je interesantno da se njegovo ime još ne nalazi u velikim enciklopedijama.



Sl. 21. Dijagram R - S (podaci Roška 42a);

zavisnost, na primer pretpostavimo da učestanost odvajanja vobora zavisi samo od beskrajsne brzine strujanja, neke karakteristične geometrijske veličine (na primer najveća širina prepreke) i kinematičke/viskoznosti fluida u obliku

$$N = f(V, D, \nu)$$

7.4

Ako se primeni dimenziona analiza imamo

$$\text{Dim } [N] = \text{Dim } [V^x D^y \nu^z],$$

7.5

odakle neposredno sledi sistem jednačina

$$x + y + 2z = 0$$

$$x + z - 1 = 0$$

7.6

Dve jednašine 7.6 sa tri nepoznate mogu da se reše ako se jedna nepoznata usvoji kao parametar:

a) Ako je x parametar dobija se

$$x = 1 - z$$

$$y = - (z + 1)$$

7.6a

Što smenom u jednašinu 7.5 daje

$$\frac{ND}{V} = f_1 \left(\frac{V}{VD} \right)$$

ili

$$S = f_1 \left(\frac{1}{R} \right)$$

7.7

b) Ako je x parametar dobija se

$$z = 1 - x$$

$$y = x - 2$$

7.6b

Što smenom u jednašinu 7.5 daje

$$\frac{ND^2}{V} = f_2 \left(\frac{VD}{V} \right)$$

ili

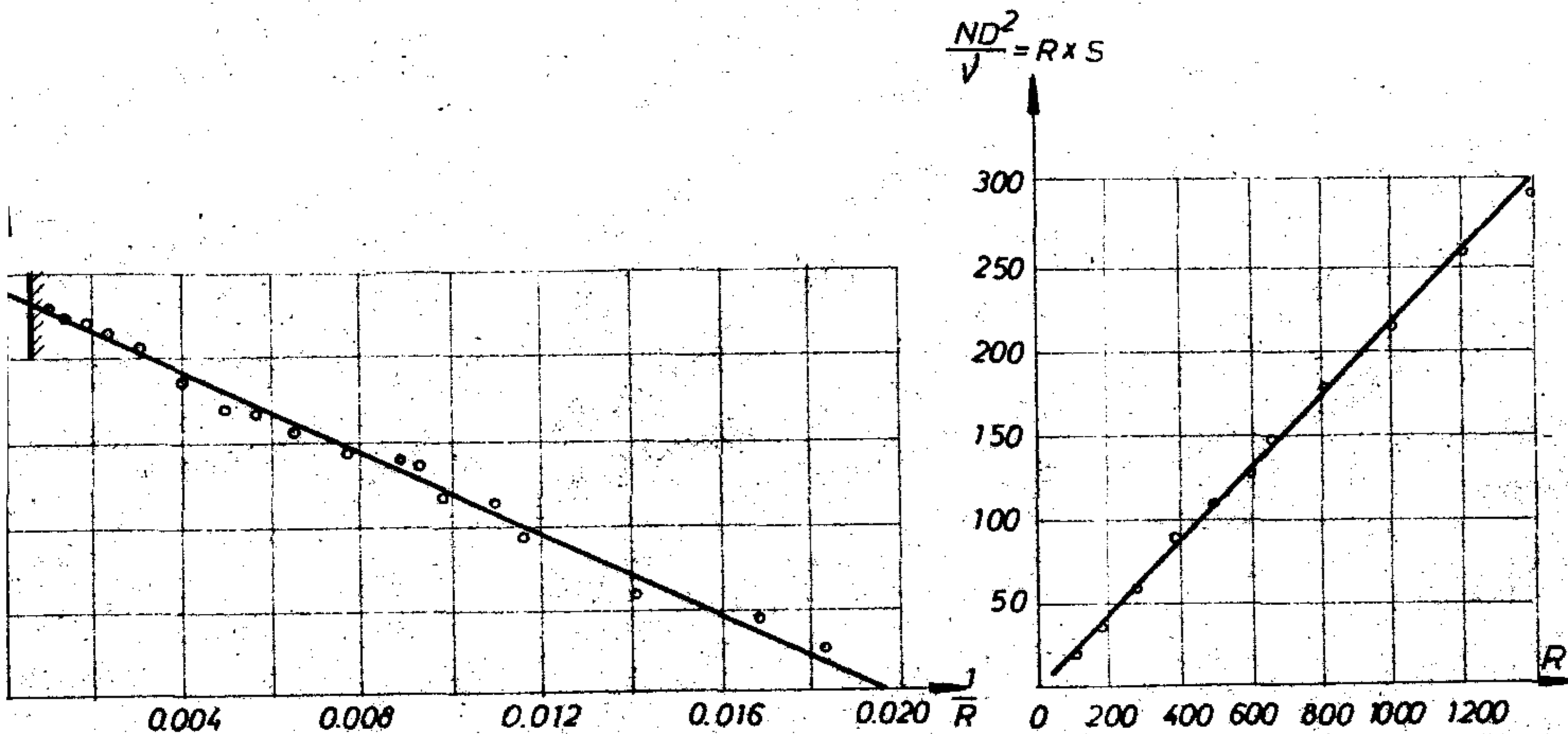
$$S \cdot R = f_2 (R)$$

7.8

Dimenziona analiza pokazuje da se ogleđni podaci mogu predstaviti i u ravnima $S - \frac{1}{R}$ ili $S \cdot R - R$ i ove je učinjene na slikama 22 i 23.

Linearnost je očigledna u oba slučaja, tako da su nepoznate funkcije f_1 i f_2 pravolinijske zavisnosti.

Dobijena linearna zavisnost ide u prilog teorije vrtložnog sloja, jer pokazuje da u datom fluidu (V), dato telo (D) ima učestanost odvajanja vibera koja linearno raste sa brzinom. Prvobitna korelacija Strouhala jednašina 7.1 je, takođe, u saglasnosti sa ovim. Štoga se može zaključiti da je prisvođ Strouhalevog i Rejnold-



Sl. 22. DIJAGRAM $S - \frac{1}{R}$ (Rosko^{42a})

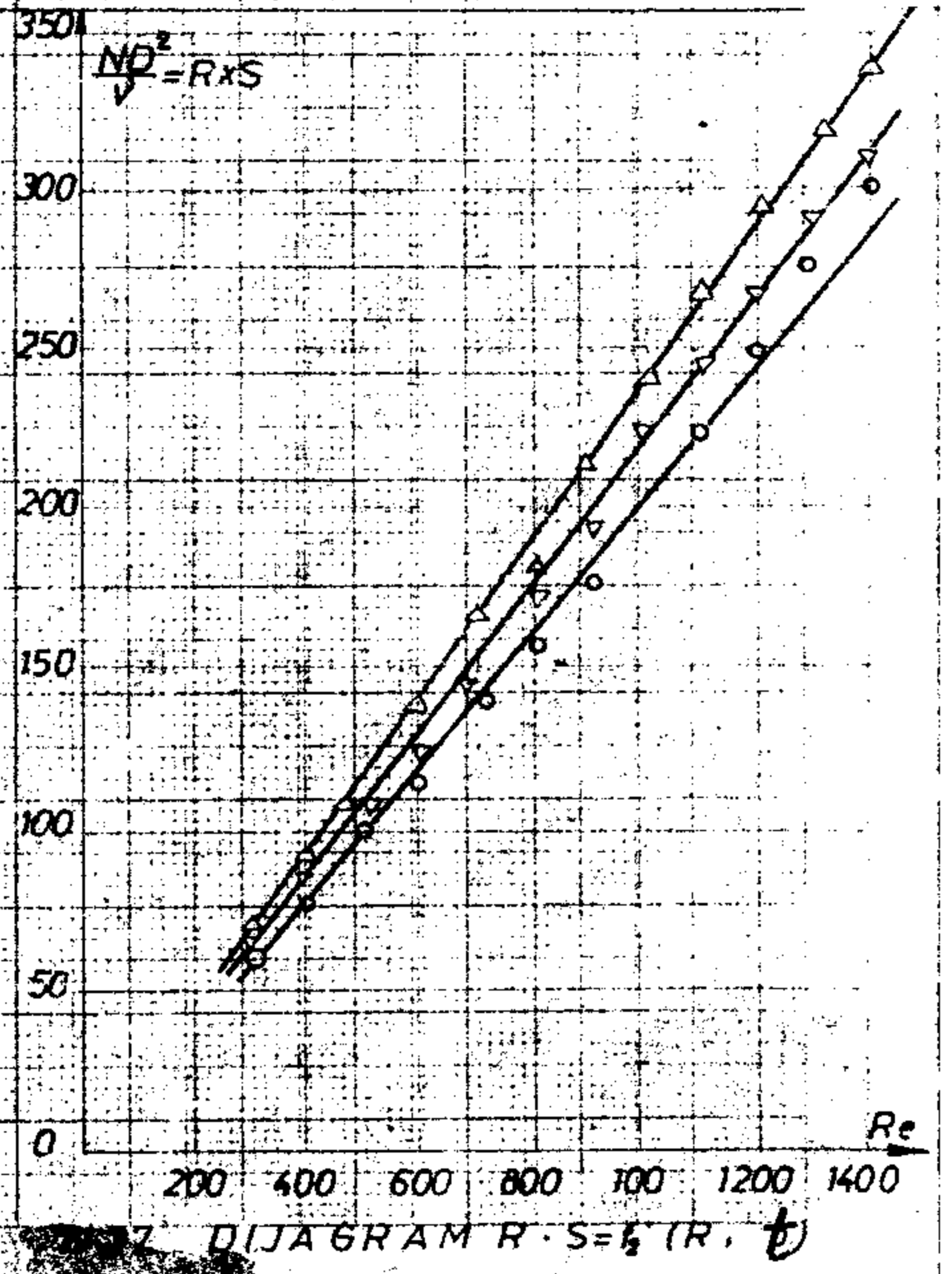
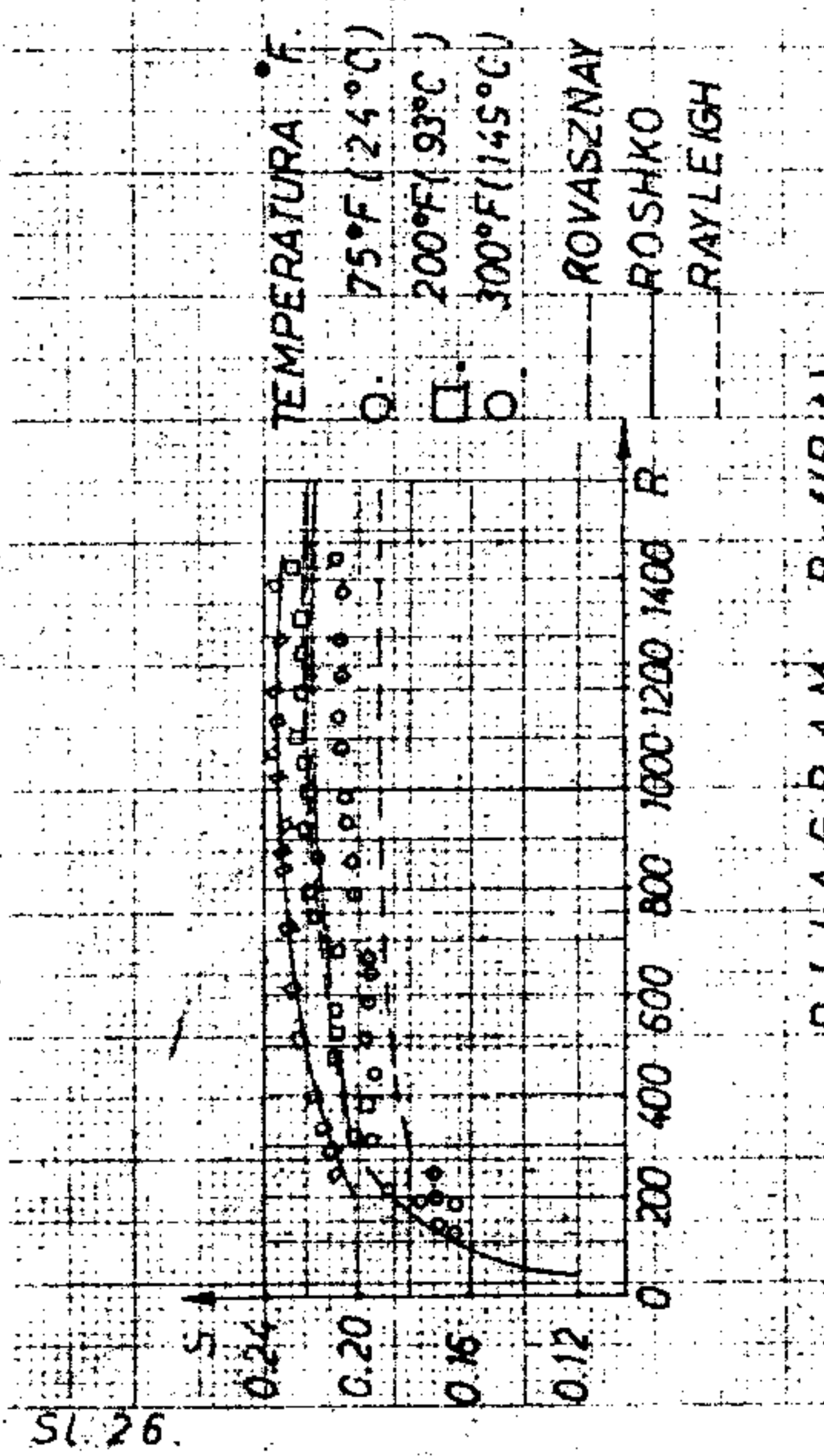
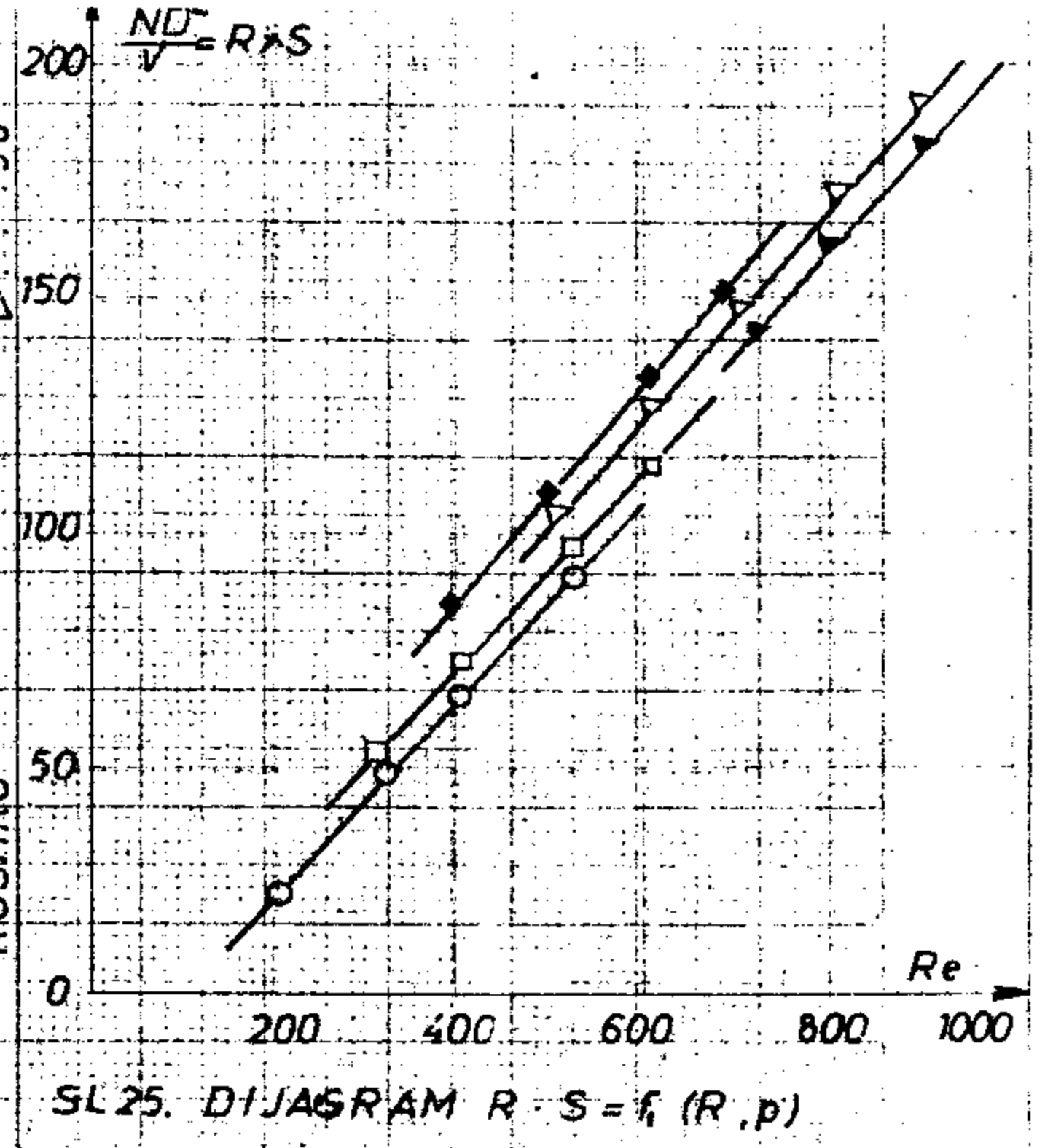
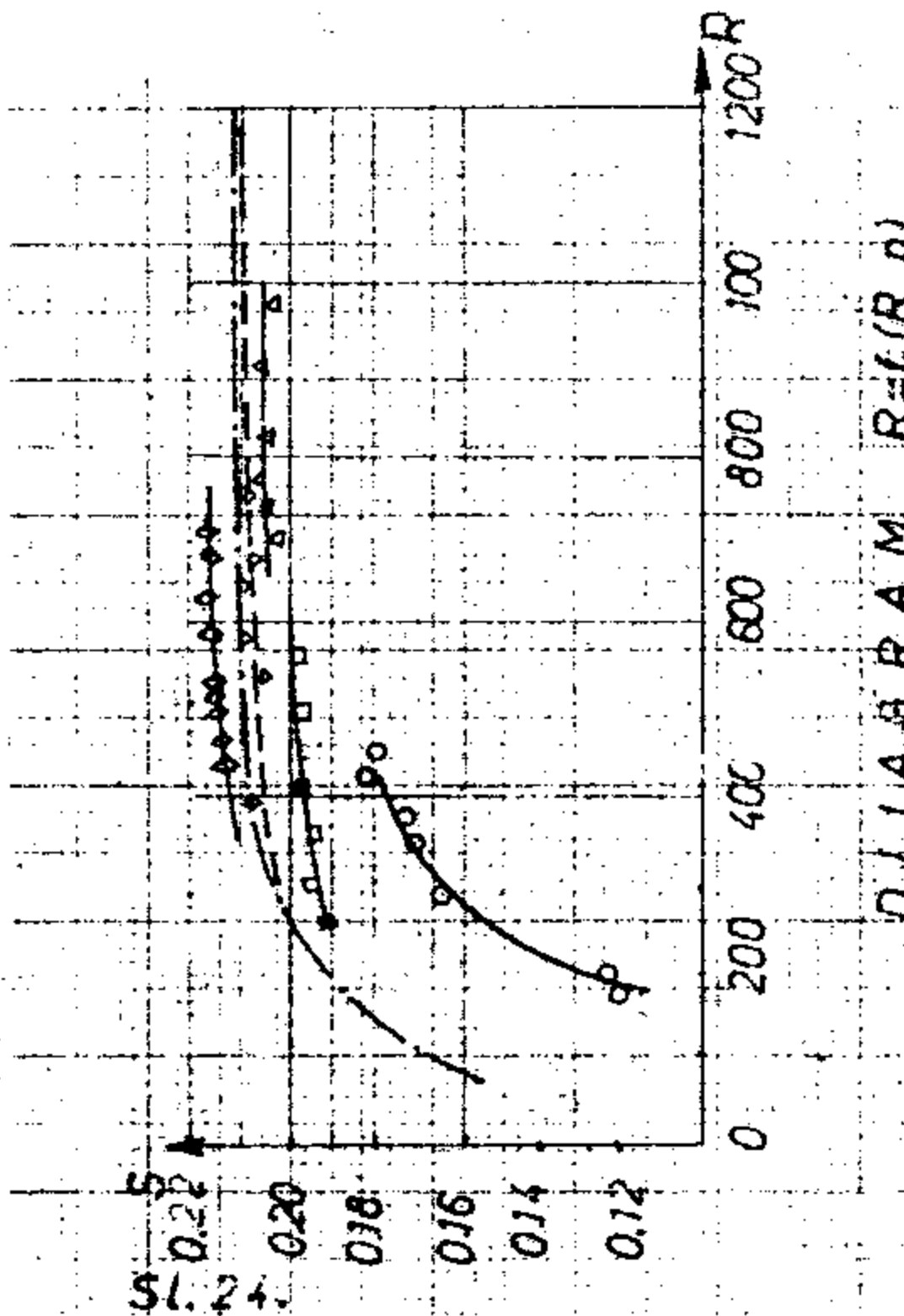
Sl. 23. DIJAGRAM S-R (Rpško^{42b})

oveg značenja mnogo prikladnija bezdimenzijska veličina za opisivanje pojave. U prilog ovome navode se sledeći zaključci:

- 1) Zavisnost je linearna u ravni S-R - R ,
- 2) Opseg vrednosti S-R ima isti red veličina kao i R,
- 3) Rasturanje oglednih podataka se nešto smanjuje.

Rinoldi i drugi⁴⁰⁾ i Kliford⁸⁾ su pokušali na osnovu svojih merenja, u svojim ogledima, da učestvost odvajanja vихora isa cilindra obrazuje razne krive za razne pritiske i temperature vazduha u ravni S - R (slike 24 i 25). Ove potvrđuju ogleda Benara⁴⁴⁾, koji je 1926. godine na Kongresu Mehanike u Cirihu saopštio:

"Ja sam usvojio S - R ravan za predstavljanje 71 odnosa tačke na četiri tačnosti koje sam koristio... i bitan rezultat je da tačke leže na četiri krive linije, a ne na jednoj jedinjoj". Dakle, on



je dobio razne krive za razne viskoznosti fluida.

Zanimljivo je spomenuti da ogleđi Relfa (18) iz 1921. godine također pokazuju da se vedu i vanjskih podaci obnavljaju dve krive, ali pisac prevlađi jednu krivu liniju između ovih vrednosti.

Roške ^{42c)} je u svom komentaru na radove ⁴⁰⁾ i ⁸⁾ tražio fizičko tumačenje ovih rezultata s obzirom na zakone dinamičke sličnosti. Zanimljivo je, stoga, opet navesti Benara koji je svoje saopštenje ⁴⁴⁾ zaključio rečima:

"Moji ogleđi vode rezultatima koji se ne slažu sa zakoni-
ma dinamičke sličnosti, i izgleda mi da se ove razilaženje ne može pri-
pisati greškama merenja".

Ako sada predstavimo ogleđne podatke Reinoldija i drugih ⁴⁰⁾
i Kliforda ⁸⁾ u ravni S-R - R kao što je učinjeno na slici 25 za rasne
pritiske i na slici 27 za rasne temperature, očevidno je da linearnost
ostaje očuvana u oba slučaja. Međutim, za rasne pritiske prave linije
su skoro paralelne, dok za rasne temperature prave linije imaju razli-
cite nagibe. Na osnovu ovih činjenica moguće je uopštiti korelaciju
za određivanje nestanosti odvajanja vihora i za pogodno izabrani ko-
ordinatni početak predstaviti u obliku

$$S-R = R g (t/t_0) - h (p/p_0) \quad 7.9$$

gde su g - funkcija odnosa temperatura i h - funkcija odnosa priti-
saka (indeksi e odnosi se na atmosferske uslove).

Ako se primeni dimenzijska analiza na proširenu zavisnost
nestanosti odvajanja vihora uključivši još: pritisak p , temperatura
 t , koeficijent provedjenja toplote λ i dinamičku viskoznost μ , dobi-
ja se posle odgovarajućeg postupka, analognog razijem, da je

$$S-R = f (M, Pr, \alpha) \quad 7.10$$

gde su: M - mašilac Macha, Pr - mašilac Prandla i α - odnos specifi-
čnih toplota.

Međutim, u ogleđima Reinoldija i drugih koji su izvedeni
na konstantnoj temperaturi vazduha, dodatni mašilci se ne menjaju sa
pritisakom. Prema tome ovi mašilci ne objašnjavaju očevidni uticaj pri-
tiska. Jedino mašilac Reinoldova zavisi od pritiska, tako da neka od

karakterističnih i fizičkih veličina koje ulaze u njega moraju da se promene i tada će svi podaci ležati na jednoj krivoj liniji.

U slučaju ogleđa Kliforda⁸⁾, promena temperature u navedenoj oblasti će promeniti snabliac Maha, ali ne i snabliac Prantla. Izvesno je, međjutim, da su ogleđi izvedjeni pri vrednosti snabliaca Maha dovoljno mali^m, tako da se uticaj snabljivosti može zanemariti. Stoga svi snabliaci ne objašnjavaju očevični uticaj temperature.

Jedino za slučaj Benarvih ogleđa moguće je dati izvesno fizičko tumačenje zašto su dobijene četiri krive linije. Naime, Benar je u svojim ogleđima, da bi ostvario razne viskoznosti vode, dodavao vodi razne količine šećera. Kao što je poznato, voda ima vrlo veliku specifičnu toplotu, dok šećer ima tri puta manju vrednost. Iz tog razloga procentualni sadržaj rastvorenog šećera u vodi znatno menja specifičnu toplotu vode, tako da se poslednji snabliac jednako 7.10 menja. Nažalost, nije moguće i kvantitativno pokazati ove zavisnosti, jer Benar nije objavio svoje početne ogleđa.

Na kraju čemo podvući u čemu je osnovni prilog ovog poglavlja:

1.) Pokazano je da linearnost pojave koju je moguće prikazati pogodnim izborom bezdimenzionalnih veličina daje manje rasipanje ogleđnih podataka. Linearnost ostaje očuvana i za podatke ogleđa Kinel-dija i Kliforda. Jedina razlika je da se razne pritiske dobijamo paralelne prave linije, a za razne temperature one imaju različite nagibe.

2.) Na osnovu slika 25 i 27 postavljena je opšta korelacija koja može biti korisna za praktičnu primenu. Međjutim, oba nisa navedenih ogleđa nisu dovoljno potpuni sa tabulisanje funkcija "g" i "h".

3.) Pokazano je da pojava učestanosti odvajanja vihora ostaje teorijski neobjašnjena u slučaju raznih pritiska i temperatura, a da je uz pomoć dimenzionalne analize nađjen put na precizije grafičke predstavljanje podataka? Izgleda da je razumevanje izasija teorije gibanosti i ogleđa, koji je prvi uočio Benar za razne viskoznosti, potvr-

8. O POSTOJANJU DVOJNOG VRTLOŽNOG NIZA

U svim izvedenim ogleđima ⁷⁾ opšta osobina strujanja je konstantnost uzdužnog razmeštaja vihora "a". Za na koji dvojni vihorni niz rastojanje između susjednih vihora u jednom nizu vidno je da ostaje konstantno, a povećanje razmeštajnog poretka je usled povećanja širine između nizova "h". Vredno je napomenuti da konstantnost uzdužnog rasporeda znači da brzina translacije vihora ostaje nepromenjena. Opšti zaključak iz svih oglada je da bez obzira da li se dvojni vihorni niz obrazuje kretanjem tela kroz fluid ili strujanjem fluida oko tela, razmeštajni odnos h/a , koji je immeren, je znatno veći od onog predviđenog Karmanovom teorijom i ne ostaje konstantan. Odstupanja se ne mogu pripisati uticaju sidova kanala u koje se ogledi izvode, jer je Rosenhead ^{42a)} pokazao da je u praktičnim slučajevima veličina uticaja sidova zanemarljiva, a kada nije, onda teži da manji odnos h/a .

Postavlja se pitanje da li je opravdano zaključiti da nomenovana odstupanja od Karmanove vrednosti $h/a = 0,281$ su samo usled nestabilnosti dvojnog vrtložnog niza. Ako je tako kako mogu smisliti Richardson ³⁹⁾, Prantla ³⁶⁾, Svoboda ^{41a)} i drugih istraživača da se sustraju na one u kojima se približno stabilni razmeštajni povećaji postiču, a izlazeva same usled difuzije vihora. U ovim slučajevima, razmeštajni odnos znatno prevanilani teorijsku vrednost i nije konstantan, već raste.

Teorijski model koji je kvantitativno opisao pojavu dao je u svom klasičnom radu Karman ²³⁾. Osnovne dve pretpostavke na kojima je zasnovao svoju teoriju jesu:

- 1) Stvarni vihori smanjeni su osamljenim vrtlozima,
- 2) Ovakav idealni dvojni vrtložni niz se prestire na obe strane u beskonačnost.

Postavlja se pitanje u kojim slučajevima i u kojoj mери su ove dve pretpostavke opravdane? Da li na ovo pitanje odgovorili potreb-

no je ispitati uticaj ne usvajanja ovih pretpostavki na mehanizam pojave. Prantl ^{36a)} je uveo pojam graničnog sloja koji predstavlja onaj deo strujnog prostora u kome ne može da se zanemari uticaj viskoznosti. Vice versa, strujanje izvan graničnog sloja se može smatrati kao potencijalno strujanje, jer se viskoznost i njen uticaj u potpunosti mogu ispustiti iz razmatranja. U inženjerskim proračunima se usvaja da se granični sloj prostire sve do one oblasti na čijoj je granici brzina jednaka 99% od brzine odgovarajućeg potencijalnog strujanja.

Primenimo analogno raznovanje u slučaju vihornog viskoznog strujanja i iskažimo da li postoji oblast strujanja u kojoj se uticaj viskoznosti može da zanemari, odnosno u kojoj je strujanje istovetno strujanju oko osamljenog vrtloga. Da bi analogija bila potpuna, potrebno je da i smičući naponi imaju vrlo malu vrednost, odnosno da promena brzine u susednim strujnicama bude mala. I ovaj uslov je ispunjen kao što će biti kasnije pokazano.

Osnovna ideja je izbeći rešavanje nelinearnih Navije-Steksovih diferencijalnih jednačina sa graničnim uslovima dvojnog niza vihora, tjine što ćemo rešenje linearne diferencijalne jednačine potencijalno osamljenog vrtloga proširiti na dvojni niz vihora, a pri tom ćemo dokazati da se uticaj viskoznosti u ovako idealizovanom slučaju ne može zanemariti samo u izvesnim ograničenim oblastima, u kojima se, opet za svaku ponaosob, može primeniti poznate nustaljeno rešenje difuzije vihora.

Opšta nelinearna diferencijalna jednačina koja se dobija iz punih Navije-Steksovih jednačina glasi u polarnom koordinatnom sistemu

$$\frac{\partial \Omega}{\partial t} + v_r \frac{\partial \Omega}{\partial r} + \frac{v_\theta}{r} \frac{\partial \Omega}{\partial \theta} = \nu \nabla^2 \Omega$$

6.1

gde je Ω označena jačina vihora koja u polarnom koordinatnom sistemu glasi

$$\Omega = \frac{1}{r} \left[\frac{\partial(rv_\theta)}{\partial r} - \frac{\partial v_r}{\partial \theta} \right]. \quad 8.2$$

Za slučaj jednog nesamljenog viora imamo

$$v_r = 0 \quad \frac{\partial \Omega}{\partial \theta} = 0. \quad 8.3$$

pa se dobija iz jednačine 8.1 linearna diferencijalna jednačina u obliku

$$\frac{\partial \Omega}{\partial t} = \nu \nabla^2 \Omega, \quad 8.4$$

čije je rešenje

$$\Omega = \frac{\Gamma_0}{8\nu t} \exp\left(-\frac{r^2}{4\nu t}\right) \quad 8.5$$

S obzirom da imamo samo običnu sastavnicu brzine te radi kraćeg pisanja ~~stano~~ $v_\theta = v$.

Raspodela obične brzine za nesamljeni vihor pri neustaljenom strujanju dobija se iz jednačina 8.2 i 8.5 u obliku

$$v = \frac{\Gamma}{2\sqrt{\pi}} \left[1 - \exp\left(-\frac{r^2}{4\nu t}\right) \right], \quad 8.6$$

dok je raspodela brzina usled vrtloga (jednaka p potiče od potencijalnog)

$$v_p = \frac{\Gamma}{2\sqrt{\pi}}. \quad 8.7$$

Petraino kada se brzine usled potencijalnog vrtloga i viskoznoeg viora razlikuju samo za 1%

$$v_p - v = 0,01 v_p. \quad 8.8$$

Ako se zamene jednačine 8.6 i 8.7 d

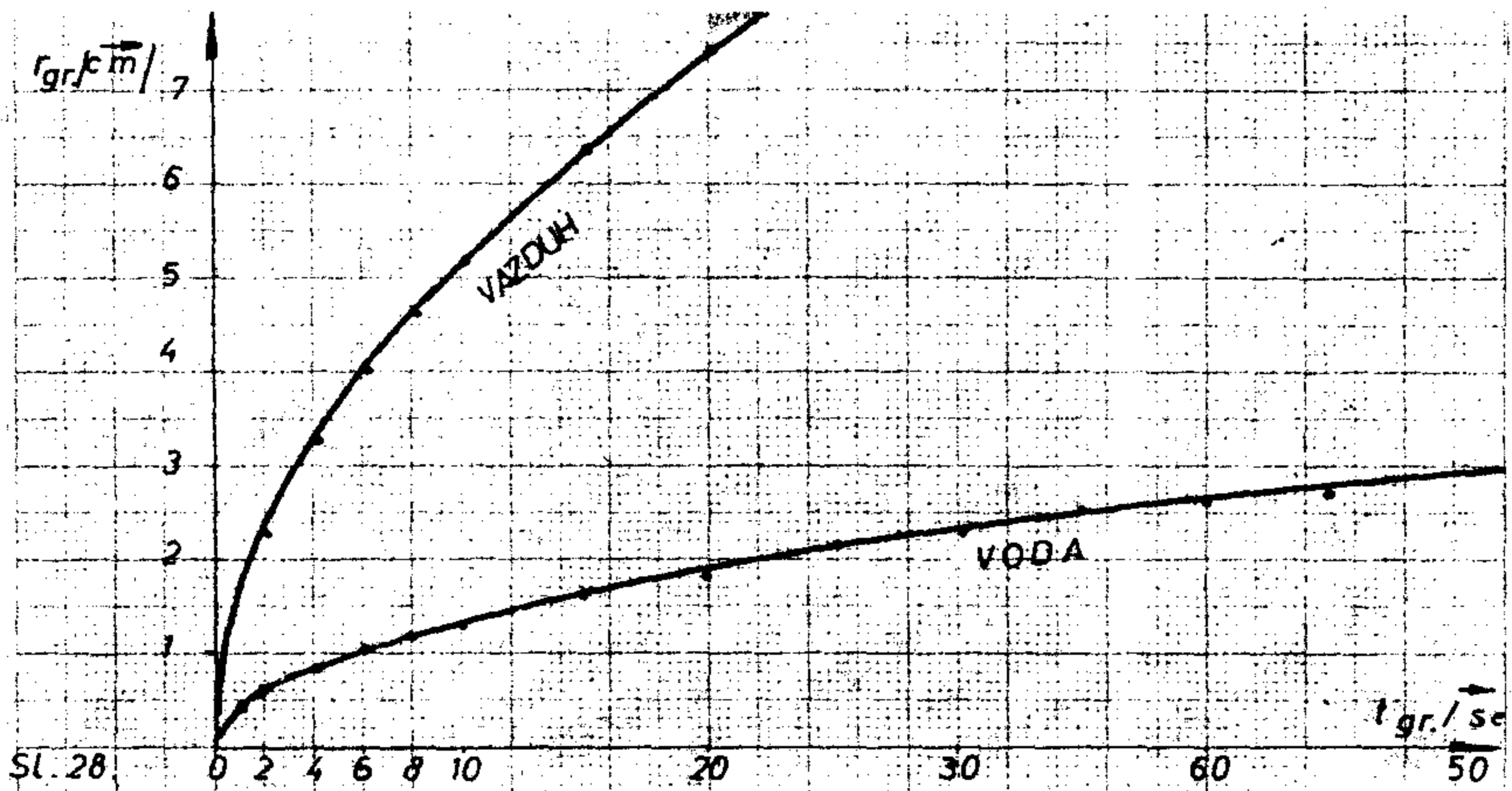
$$\exp\left(-\frac{r^2}{4\nu t}\right) = 0,01. \quad 8.9$$

a ovo će biti za vrednost argumenta

$$\left(\frac{r^2}{4\nu t}\right)_{gr} = 4,6$$

8.16

Dakle, u datom fluidu (ν) postoji za vihor određene "starosti" (t) granična vrednost poluprečnika (r) izvan koje se uticaj viskoznosti može da zanemari sa greškom manjom od 1%, odnosno, drugačije rečeno, strujanje izvan ovog viskoznog jezgra je potpuno istovetno kao da umesto viskoznog jezgra u središtu imamo potencijalne vrtložne vlakne. Na slici 28 prikazana je jednačina 8.16 koja pokazuje kako se viskozno jezgro širi u određenom trenutku vremena



Sl. 28. Prikaz zavisnosti graničnog poluprečnika viskoznog jezgra od "starosti" vohora.

Da bi ovaj zaključak vodio u celoj oblasti potrebno je ispitati da li izvan viskoznog jezgra razlika brzina postaje sve manja sa udaljenjem. Iz jednačina 8.6 i 8.7 je evidentno da obe raspodele brzina imaju najjednakiu asimptotu, jer su

$$\lim_{r \rightarrow \infty} v_r = \lim_{r \rightarrow \infty} \frac{v}{20r} = 0$$

8.7a

$$\lim_{r \rightarrow \infty} v = 0$$

8.6a

$$r \rightarrow \infty$$

Ovo predstavlja potreban uslov da se krive približavaju, dok se brzina opadanja njihove razlike sa rastojanjem u svakom određenom trenutku sleduje

$$\lim_{r \rightarrow \infty} (v_p - v) = \lim_{r \rightarrow \infty} \frac{\sqrt{r}}{2\sqrt{t}} \exp\left(-\frac{r^2}{4\sqrt{t}}\right) = 0. \quad 8.11$$

Dakle, sa povećanjem rastojanja se raspodela brzine usled vibera monotono i vrlo brzo približava raspodeli brzine usled potencijalnog vrtloga.

Nagib krive raspodele brzina na granici viskoznog jezgra iznosi

$$\frac{dv}{dr} = -0,048 \frac{\sqrt{r}}{2\sqrt{t}} \quad 8.12$$

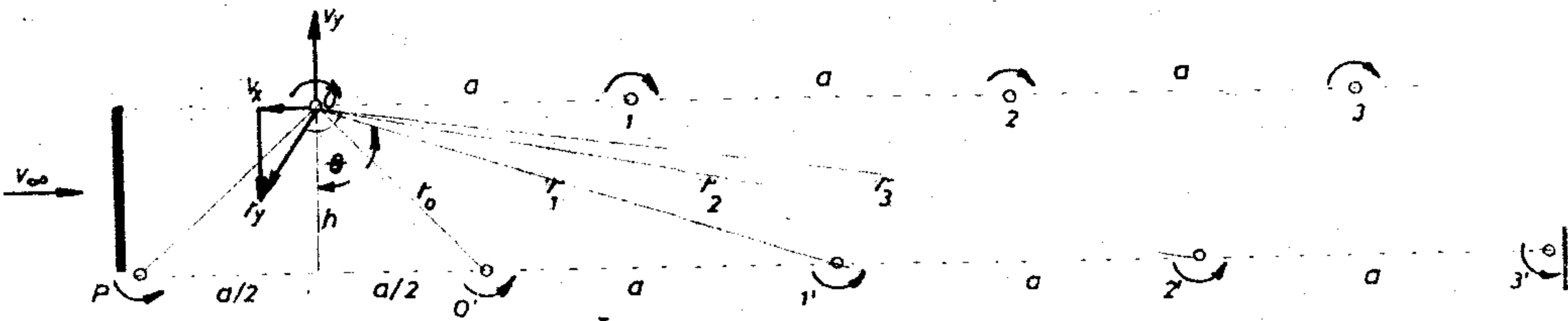
tako da se za dati fluid (ν) može lake propisati pošto koga vremena je nagib krive proizvoljno mali.

Knjaži, raspodela brzina usled potencijalnog osamljenog vrtloga je asimptota viskoznih jezgara svih "starosti" t , što omogućuje da se izvede opštiji zaključak, da se i u slučaju dvojnog vibernog niza viskoznost mora uzeti u obzir samo u viskoznim jezgrima, koja su u zavisnosti od "starosti" vibera definisana jednašicom 8.10.

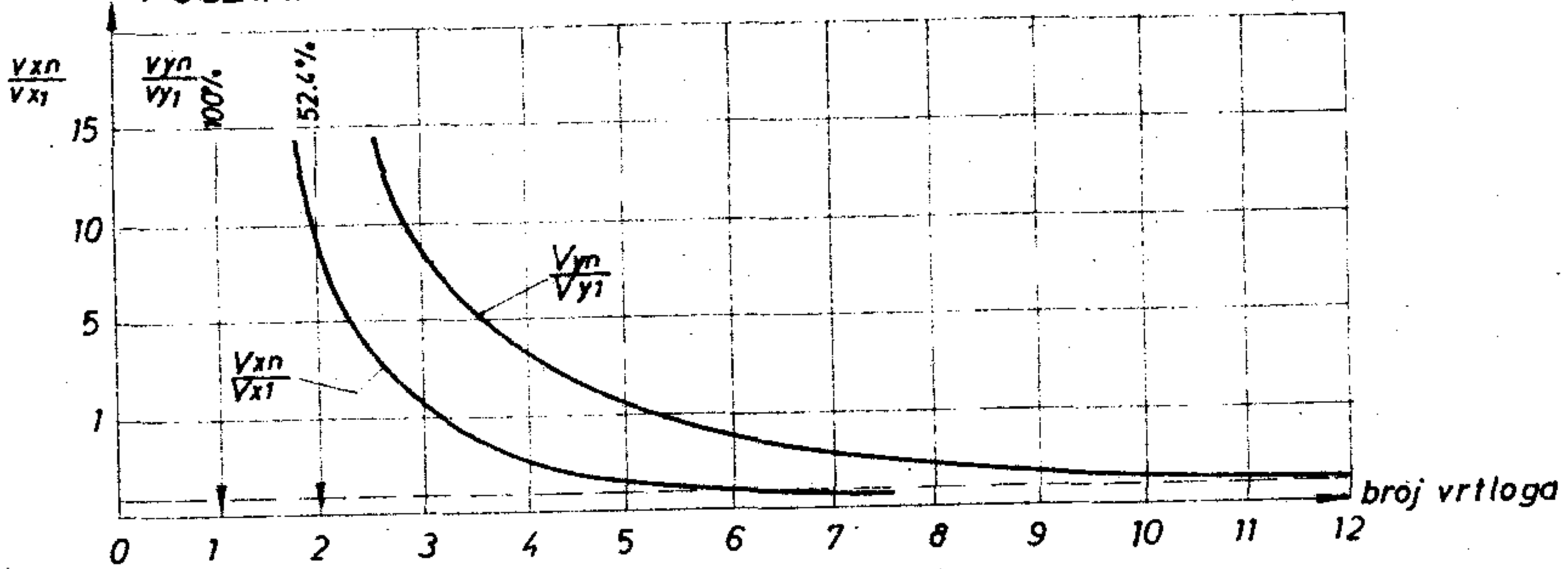
Predjimo sada na razmatranje opravdanosti druge Karmanove pretpostavke na kojoj se zasniva njegova teorija. Stega posmatrajmo konačni dvojni vrtlečni niz koji je shematski prikazan na sl. 29a. Indukovane brzine usled svih vrtloga u gornjem i donjem nizu stvaraju u nekoj tački O bočnu i horizontalnu sastavnicu brzine. Kako se bočne sastavnice indukovane brzine usled vrtloga P' i O' usajamne poništavaju to posmatrajmo sledeći par vrtloga 1 i $1'$, pa prema Sl. 29a imamo

$$r_1^2 = a^2 \left(\frac{a}{4} + \frac{h^2}{2a^2} \right) \quad 8.13$$

$$v_{x1} = \frac{\sqrt{h}}{2\sqrt{r_1}} = \frac{\sqrt{h}}{2a\sqrt{a}} \left(\frac{a}{4} + \frac{h^2}{2a^2} \right) \quad 8.14$$



sl. 29a. POČETAK DVOJNOG VRTLOŽNOG NIZA



sl. 29.b. SASTAVNICE INDUKOVANE BRZINE U ZAVISNOSTI OD DALJINE VRTLOGA

$$v_{y1} = \frac{\Gamma}{2\sqrt{\pi}a} - \frac{\Gamma}{2\sqrt{\pi}a} \frac{3a}{2r_1} = \frac{\Gamma}{2\sqrt{\pi}a} \left(1 - \frac{3/2}{\frac{9}{4} + \frac{h^2}{a^2}} \right) \quad 8.15$$

Potpuno analogno moguće je postaviti savienosti sa "n"-ti vrtložni par u obliku

$$r_n^2 = a^2 \left[\left(\frac{2n+1}{2} \right)^2 + \frac{h^2}{a^2} \right] \quad 8.13a$$

$$v_{xn} = \frac{\Gamma}{2\sqrt{\pi}r_n} \frac{h}{r_n} = \frac{\Gamma}{2\sqrt{\pi}a^2} \frac{1}{\left(\frac{2n+1}{2} \right)^2 + \frac{h^2}{a^2}} \quad 8.14a$$

$$v_{yn} = \frac{\Gamma}{2\sqrt{\pi}na} + \frac{\Gamma}{2\sqrt{\pi}r_n} \frac{(2n+1)a}{2r_n} = \frac{\Gamma}{2\sqrt{\pi}a} \left[\frac{1}{n} - \frac{(2n+1)/2}{\left(\frac{2n+1}{2} \right)^2 + \frac{h^2}{a^2}} \right] \quad 8.15a$$

Sada primenimo ranije razonevanje i postavimo pitanje posle koga vrtloga će indukovana brzina biti manja od 1% od vrednosti indukovane brzine najbližeg vrtloga, znači kada je

$$v_n = 0.01 v_1 \quad 8.16$$

Smenom ovih uslova u jednašine 8.14, 8.15, 8.14a i 8.15a dobija se kvadratna jednašina po "n" sa horizontalne sastavnice brzine, odnosno kubna jednašina po "n" sa bočne sastavnice brzine. Rešavanjem ovih jednašina dobijaju se vrednosti za "n" koje zadovoljavaju uslov 8.16.

Grafički prikaz ovih zavisnosti dat je na Sl. 29b iz koje se vidi da je horizontalna sastavnica brzine manja od 1/2 brzine već posle 6. vrtloga, dok je bočna sastavnica brzine manja od 1/2 svoje početne vrednosti tek ina 11. vrtloga.

Znači ukoliko se uočeni vrtlog 0 nalazi ina 11 vrtloga daleko od ploče (početka vrtložnog nisa), tada će svi vrtlozi sa leve strane poništavati dejstvo 11 vrtloga sa desne strane, pa će indukovana brzina 12. vrtloga sa desne strane biti manja od 1/2 brzine koju on indukuje prvom susjednom vrtlogu. Stoga je Karmanova pretpostavka da je vrtložni nis beskrajn sa obe strane opravdana unutar ovako usvojene tačnosti već ina 11. vrtloga ina ploče.

Postavlja se sledeće pitanje: dokle se ona može primenjivati?

Karmanova teorija se može primenjivati sve dok važe njegove dve pretpostavke, a to je do onog trenutka kada viskozna jezgra toliko narastu u toku "starenja" vihora, da obuhvate središte susjednog "mladjeg" vihora. Viskozne jezgre definisane jednašinom 8.10 treba rešiti po vremenu t, a sa poluprečnik uvrstiti najkraće rastojanje vihora, pa se dobija

$$t_{gr} = \frac{a^2}{18,4 \nu} \left[\frac{1}{4} + \left(\frac{a}{a} \right)^2 \right]. \quad 8.17$$

odnosno usvajanjem Karmanovog rasporeda $h/a = 0,281$ imamo

$$t_{gr} = \frac{a^2}{56 \nu} \quad 8.17a$$

Znači, kada vihor dostigne "stareost" t_{gr} viskozna jezgra je došla do središta susjednog vihora, pa se uticaj viskoznosti mora uzimati u

obzir. "Starost" viora istovremeno predstavlja i njegovo rastojanje od tela, jer se vrtlozi kreću konstantnom brzinom u , pa je

$$t = n \frac{a}{u} \quad (8.18)$$

gde je n broj vrtloga koji se nalazi između tela i uočenog vrtloga. Kako je prema ogleđnim ispitivanjima ^{26b)} brzina vrtloga približno $u \approx 0,2 V_{\infty}$ to smenom 8.18 u 8.17a dobijamo

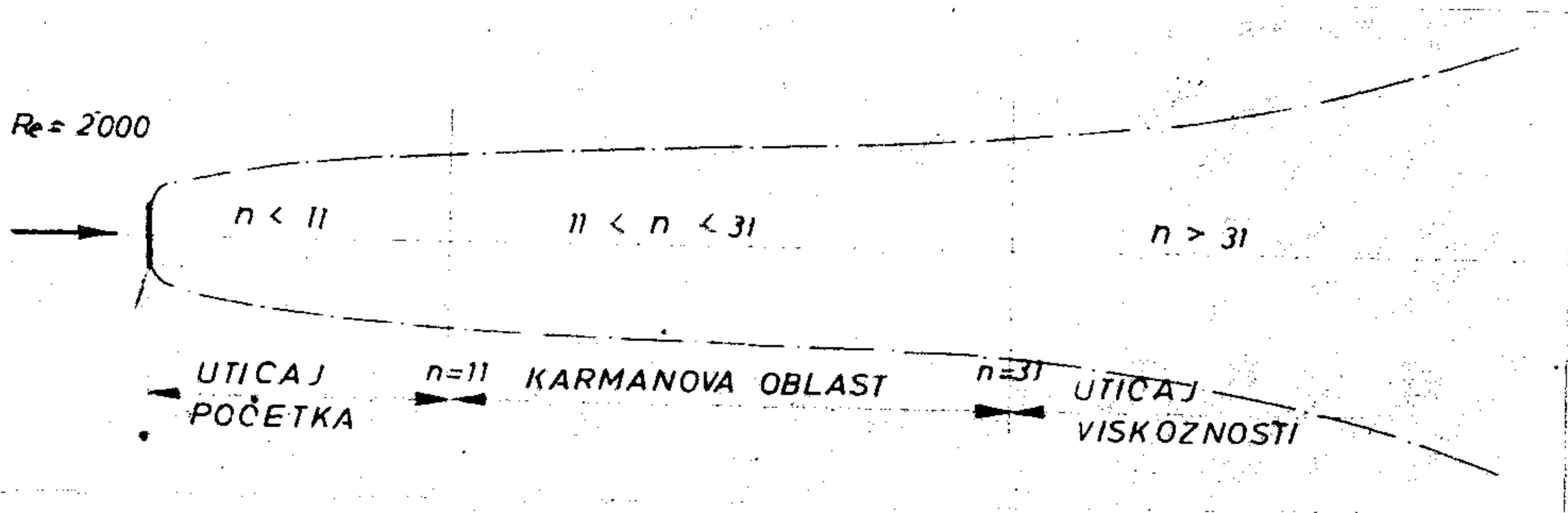
$$n_{gr} = \frac{1}{280} \frac{Re \sqrt{a}}{\delta} = \frac{Re}{280} \frac{a}{\delta} \quad (8.19)$$

gde je δ najveća širina optičanog tela. Ako se iskoriste veličine koje su poznate iz ogleđa ²⁶⁾: $h = 1,2 \delta$ i $\frac{h}{a} = 0,261$, tada se dobija konačan obrasc sa granični broj vrtloga na koji se može primeniti Karmanova teorija

$$n_{gr} = \frac{Re}{65,5} \quad (8.19a)$$

Kao primer navodi se da za $Re = 2000$ imamo $n_{gr} = 31$.

Shematski predstavljen trag iza ploče dat je na slici 30.



Sl. 30. Tipovi oblasti u tragu iza ploče

Sada smo u mogućnosti da postavimo kriterijum za postojanje Karmanove oblasti dvojnog vibernog niza. Karmanova oblast će postojati samo tada, ako je vreme potrebno za stvaranje jedanaest vrtloga manje od vremena difuzije viskonnog jezgra do prvog susjednog vi-

hora. Ukoliko je ovo vreme jednako ili veće od vremena difuzije Karmanova oblast ne postoji u dvojnog vihornom nisu ina tela. Uslov postojanja je

$$n_{gr} > 11 \quad 8.20$$

ili ako se iskoristi jednačina 8.19a dobija se

$$Re_{gr} > 716 \quad 8.20a$$

Karmanova oblast postoji samo za veće Reynoldsove brojeve od 716. Međutim, kako se pojava dvojnog vihornog nisu odigrava već od $Re > 40$, to Karmanova teorija ne važi u svim slučajevima koji su u intervalu

$$40 < Re < 716 \quad 8.21$$

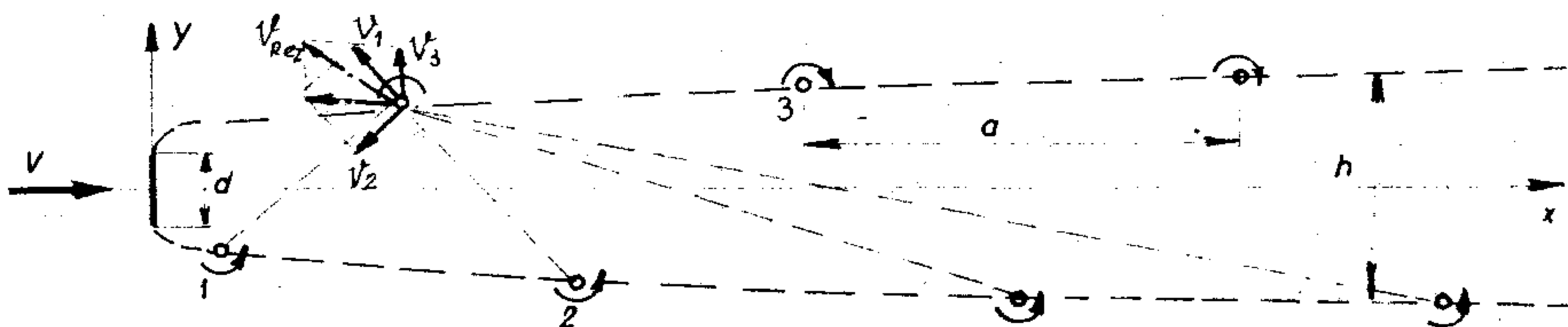
Kako se uticaj viskoznosti i konduktivnosti dvojnog vihornog nisu odražava u njegovom širenju, kao što će biti pokazano, to je logično našto je kod Feidla i Johansena¹¹⁾, Richardson³⁹⁾ i drugih ustanovljeno u jednom delu puta $h/a = const$, dok je kod velikog broja autora h/a raslo čak do vrednosti 0,5, jer su oni ispitivali u oblasti Reynoldsovog manišca gde ne važi Karmanova teorija.

Na kraju još jednom podvucimo da su dobijene brojne vrednosti vezane sa pretpostavku o 99% brzine. Za neki drugi precent bile bi i druge brojke. Uoed nedostatku eglednih minaka ovog tipa ina tela nemoguće je proveriti opravdanost uvođenja tak vrednosti od 99% brzine.

9. PHELAZ NA DVOJNI VIOHNI NIZ

9.1. Razneštajni poredak na početku dvojnog vihornog niza

Da bi odredili putanje viora u oblasti od nastajanja viora isa tela do onoga preseka gde se uticaj početka vihornog niza praktično ne manifestuje, počinemo od neke pretpostavljene krive linije unapred usvojene (kao na slici 31). Pretpostavka da su viora vrtlosi je opravdana u ovoj oblasti dvojnog vihornog niza.

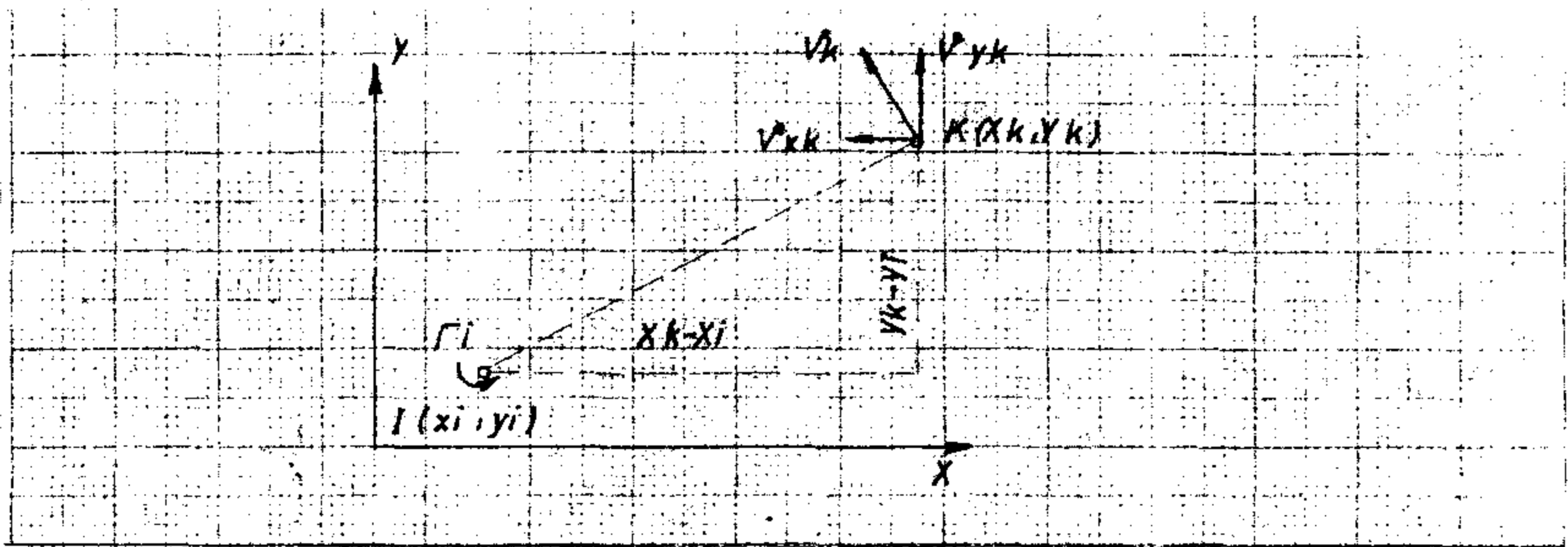


Sl. 31. Oblik putanje viora neposredno isa pleše.

Već najgrublja geometrijska konstrukcija elaganja indukovanih brzina u resultantu, sa samo tri viora sa donje i gornje strane (slika 31), pokazuje da se, usled nepostojanja odgovarajućih homolognih viora sa leve strane koji bi poništili bočnu sastavnicu brzine, dvojni vihorni niz širi. Takođe je evidentno, da ukoliko smo dalje od ivice utoliko imamo veći broj viora i sa leve strane koji poništavaju odgovarajući uticaj istog broja viora sa desne strane. Stega usvojena kriva linija koja predstavlja putanju viora, mora da ima najveći nagib na početku, a horizontalnu tangentu na mestu gde počinje Karmanova oblast. Putanja se nalazi između ordinata $\frac{h}{2} \leq y \leq \frac{h}{2}$ sa usvojenim koordinatni početak kao na slici 31.

Kada je poznata putanja po kojoj se kreću viora tada su i koordinate svih "n" viora u gornjem nizu poznate (oznake ih sa $x_1^0, x_2^0, x_3^0, \dots, x_n^0; y_1^0, y_2^0, \dots, y_n^0$), a kako je kriva putanje donjeg niza simetrična prvoj, to su poznate i koordinate donjih

vihora (označimo ih sa $x_1^0, x_2^0, \dots, x_n^0, y_1^0, y_2^0, \dots, y_n^0$). Uvo-
jimo koordinatni početak na sredini ploče. Ako posmatramo neki "i"-ti
vrtlog i potražimo sastavnice brzine v_x i v_y koje on indukuje u sredi-
štu "k"-tog vrtloga dobija se



Sl. 32. Indukovana brzina u tački K usled vrtloga u tački I

$$v_x = -\frac{\Gamma}{2\pi} \frac{y_k - y_i}{(x_k - x_i)^2 + (y_k - y_i)^2},$$

$$v_y = \frac{\Gamma}{2\pi} \frac{x_k - x_i}{(x_k - x_i)^2 + (y_k - y_i)^2}$$

9.1

U slučaju dvojnog vihanog nisa inamo "n" vrtloga gde je $n = 11$.
Tako da sistem jednačina 9.1 postaje

$$v_{xk} = -\frac{\Gamma}{2\pi} \left[\sum_{n=1}^n \frac{y_k^0 - y_n^0}{(x_k^0 - x_n^0)^2 + (y_k^0 - y_n^0)^2} \right]_{n \neq k} +$$

$$+ \sum_{n=1}^n \frac{y_k^0 - y_n^0}{(x_k^0 - x_n^0)^2 + (y_k^0 - y_n^0)^2},$$

$$v_{yk} = \frac{\Gamma}{2\pi} \left[\sum_{n=1}^n \frac{x_k^0 - x_n^0}{(x_k^0 - x_n^0)^2 + (y_k^0 - y_n^0)^2} \right]_{n \neq k} +$$

$$+ \sum_{n=1}^n \frac{x_k^0 - x_n^0}{(x_k^0 - x_n^0)^2 + (y_k^0 - y_n^0)^2}.$$

9.2.

S druge strane, poznato je da se pravac tangente na putanji ~~stani~~ poklapa sa pravcem rezultujuće brzine. Ako je oblik putanje poznat i beskrajnoma brzinom $V_{\infty} = \text{const.}$, tada je

$$\left(\frac{dy}{dx}\right)_k = \frac{v_{yk}}{v_{\infty} + v_{xk}}$$

9.3

Iz sistema jednačina 9.2. moguće je sračunati desnu stranu jednačine 9.3 za bilo koji položaj vihora "k". Ovaj sračunati nagib tangente na putanji sigurno će se razlikovati od onog unapred postavljenog. Stoga je potrebno konstruisati novu krivu liniju putanje vihora koja će imati nagib tangente dobijan jednačinom 9.3. Za novu putanju vihora imamo nove koordinate vihora, tako da je moguće iznova sračunati sastavnice brzine v_{xk} i v_{yk} prema jednačini 9.2 i smenom u jednačini 9.3 dobijamo novi nagib krive u drugom približenju. Ovaj postupak treba ponavljati sve dotle, dok se sračunati nagib ne poklopi sa prethodno dobivenim u onolikoj tačnosti koliku želimo.

Postavlja se pitanje, može li se sistem jednačina rešiti bez iteracije, odnosno može li se prva početna kriva linija da dobije, bar za prvo približenje, u analitičkom obliku. Radi ovoga ćemo uvesti i neke dopunske pretpostavke zasnovane na ogleđnim posmatranjima. Ustavljeno je da je odnos širine dvojnog vihornog nisa prema širini ploče približno $h/d = 1,2$ ili $(1 - a/h) = 0,16$ to jest najveća razlika ordinata krive linije iznosi

$$\frac{h - d}{2} = 0,08 h$$

9.5

odnosno za Karmanov razmeštajni odnos $h/a = 0,281$

$$\frac{h - d}{2} = 0,08 \cdot 0,281 \cdot a = 0,022 \cdot a$$

9.5a

Vidi se da je razlika ordinata, koja je uvek manja od ove ekstremne vrednosti, veličina nižeg reda u odnosu na uzdužne rastojanje vihora pa je stoga opravdano uvesti sledeća skraćivanja

$$y_k^0 - y_n^0 \approx 0$$

$$y_k^0 - y_n^0 \approx h$$

9.6

Što smenom u sistemu jednašine 9.2 daje

$$v_{xk} = -\frac{\Gamma h}{2\pi} \sum_1^m \frac{1}{(x_k^0 - x_n^0)^2 + h^2}$$

9.7

$$v_{yk} = \frac{\Gamma}{2\pi} \left[\sum_1^m \frac{x_k^0 - x_n^0}{(x_k^0 - x_n^0)^2 + h^2} \Big|_{n \neq k} + \sum_1^m \frac{x_k^0 - x_n^0}{(x_k^0 - x_n^0)^2 + h^2} \right]$$

Ako se sada sadržimo na prvom vihoru u nizu i njegovo rastojanje označimo sa "x" tada se apscise svih ostalih vihora gornjeg i donjeg niza mogu izraziti preko "x" u obliku

$$x_n^0 = x + n \cdot a$$

$$x_n^0 = x + \frac{2n-1}{2} a$$

9.8

za $n = 0, 1, 2, \dots, 10$

Smenom u sistemu 9.7 dobija se

$$v_{xk} = -\frac{\Gamma h}{2\pi} \sum_1^m \frac{1}{(na)^2 + h^2}$$

$$v_{yk} = \frac{\Gamma}{2\pi} \left[\sum_1^m -\frac{na}{(na)^2 + h^2} + \sum_1^m \frac{\frac{2n-1}{2} a}{\left(\frac{2n-1}{2} a\right)^2 + h^2} \right]$$

9.9

odnosno smenom u jednašini 9.3 izlazi da je

$$\left(\frac{dy}{dx}\right)_0 = f_0(a, h, n)$$

9.10

Početni nagib tangente može da se unapred sračuna.

Potpuno analogno sa bilo koji "k"-ti vihor na putanji dobijaju se dve jednašine

$$x_n^* = x_k + (n - k) a ,$$

9.8a

$$x_n^* = x_k + \left(\frac{2n - 1}{2} - k \right) a ,$$

Što smenom u sistem jednačina 9.9 i jednačinu 9.3 daje

$$\left(\frac{dy}{dx} \right)_k = f_k(a, h, n) .$$

9.10a

Dakle, prvo se sračunaju nagibi tangente krive linije pa se ona tada nacrtta kao upisana linija, i tek tada izvrši tačni proračun po jednačinama 9.2 i 9.3, koji sada sa jednim približavanjem daje konačni oblik putanje vihora.

9.2. Karmanova oblast dvojnog vjehernog niza

Za ovu oblast, kao što je pokazano u prethodnom poglavlju, opravdane su pretpostavke da se dvojni vjeherni niz može zamisliti dvojnim vrtločnim nizom. Ali pretpostavka o zamisljanju viskoznosti ne može se protegnuti na celo strujno polje, već samo izvan viskoznih jezgara vihora.

Za kompleksni potencijal beskrajnog dvojnog vrtločnog niza Karman je našao sledeću funkciju

$$W = \frac{i\Gamma}{2\pi} \log \frac{\sin \frac{\pi}{a} (z - z_0)}{\sin \frac{\pi}{a} (z + z_0)} ,$$

9.11

gde je koordinatni sistem usvojen tako da se prvi vrtlog nalazi na mestu

$$z_0 = a/4 + i \cdot h/2 ,$$

9.12

gde je kompleksna konstanta Γ definisana

$$v_x - i v_y = - \frac{i\Gamma}{a} \frac{\cosh \left(\frac{\pi h}{a} \right)}{i \sinh \left(\frac{\pi h}{a} \right) + \cos \left(\frac{2\pi x}{a} \right)}$$

9.13

Ako posmatramo raspodelu brzina duž ordinatne ose koja prolazi kroz središte vrtloga kao na slici 33, tada je kompleksna promenljiva oblika

$$z = a/4 + i y \quad . \quad 9.12a$$

Što smenom u jednačinu 9.13 i razdvajanjem realnog i imaginarnog dela daje

$$v_x = -\frac{\Gamma}{a} \frac{\cosh\left(\frac{\sqrt{h}}{a}\right)}{\sinh\left(\frac{\sqrt{h}}{a}\right) - \sinh\left(\frac{2\sqrt{h}}{a} y\right)} ; \quad v_y = 0 \quad 9.14$$

Ovo predstavlja raspodelu brzina u preseku "y" jednog vrtloga, koje su nastale od indukovanih brzina svih ostalih vrtloga, ali i usled posmatranog vrtloga koji smo presekli. Međutim, svi ostali viheri se mogu smatrati vrtlozima, jer su dovoljno daleko, osim onog vrtloga koga smo presekli i koji ima viskozno jezgro. Stoga je neophodno u jednačini 9.14 oduzeti indukovane brzine presečenog vrtloga koje on stvara kao vrtlog i dodati indukovane brzine koje na njegovom mestu stvara viher. Na osnovu toga dobijamo

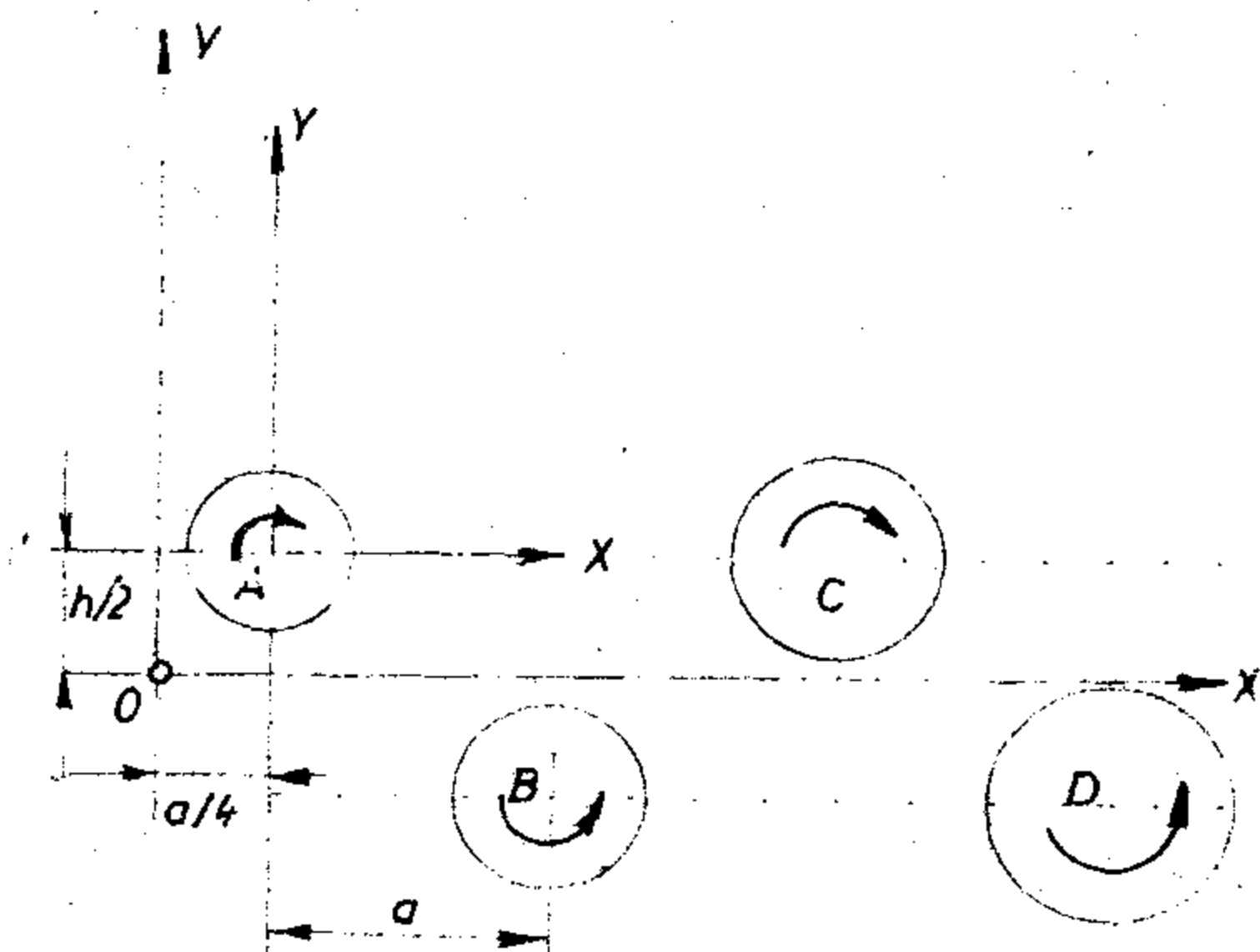
$$v_x = -\frac{\Gamma}{a} \frac{\cosh\left(\frac{\sqrt{h}}{a}\right)}{\sinh\left(\frac{\sqrt{h}}{a}\right) - \sinh\left(\frac{2\sqrt{h}}{a} y\right)} - \frac{\Gamma}{2\sqrt{\pi}\left(y - \frac{h}{2}\right)^2} + \frac{\Gamma}{2\sqrt{\pi}\left(y - \frac{h}{2}\right)} \left[1 - \exp\left(-\frac{\left(y - \frac{h}{2}\right)^2}{4\nu t}\right) \right]$$

ili posle sređivanja iznosi

$$v_x = -\frac{\Gamma}{a} \frac{\cosh\left(\frac{\sqrt{h}}{a}\right)}{\sinh\left(\frac{\sqrt{h}}{a}\right) - \sinh\left(\frac{2\sqrt{h}}{a} y\right)} - \frac{\Gamma}{2\sqrt{\pi}\left(y - \frac{h}{2}\right)} \exp\left(-\frac{\left(y - \frac{h}{2}\right)^2}{4\nu t}\right) \quad 9.15$$

Ako radi kratkoće uvedemo umesto "y" - "Y" po jednačini

$$Y = y - h/2 \quad 9.16$$



LEGENDA:

OXY - USVOJENI KOORDINATNI SISTEM KOD KARMANA
 OXY - USVOJENI KOORDINATNI SISTEM PRI ODREĐIVANJU
 RASPODELE BRZINE VIHORA A DUŽ OSE Y

Sl. 33. Shema Karmanske oblasti dvojnog vjehernog nisa

$$v_x = -\frac{\Gamma}{a} \frac{\operatorname{ctgh}\left(\frac{Y}{a}\right)}{1 - \operatorname{ctgh}\left(\frac{Y}{a}\right) \sinh\left(\frac{2\sqrt{\nu}}{a} Y\right) - \operatorname{cosh}\left(\frac{2\sqrt{\nu}}{a} Y\right)} - \frac{\Gamma}{2\sqrt{\nu}} \exp\left(-\frac{Y^2}{4\nu t}\right) \quad 9.17$$

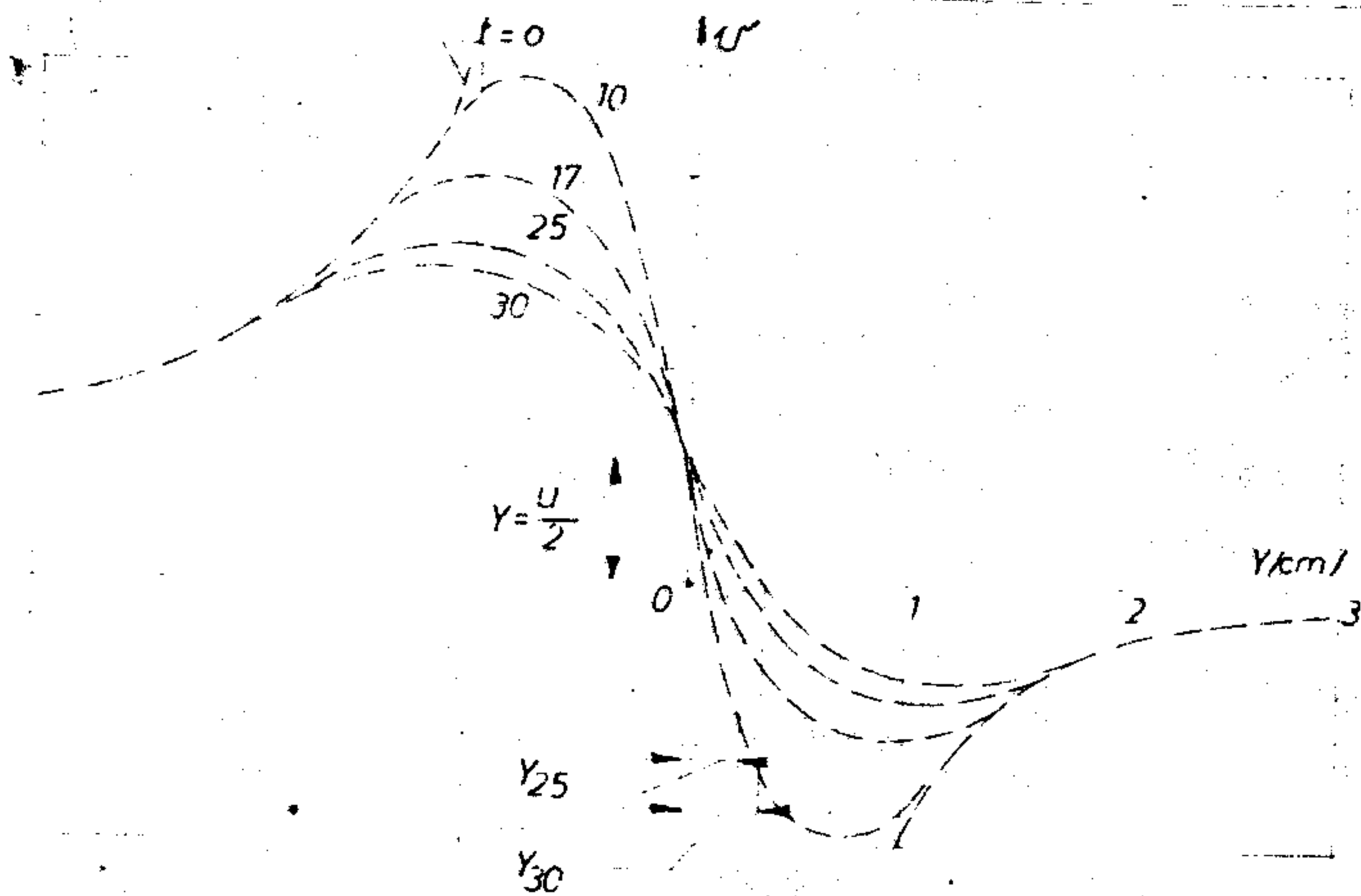
Ovo ustvari predstavlja raspodelu brzina ako je ishodište koordinatnog sistema u središtu vjehora "A". Dobijenu relaciju 9.15 za raspodelu brzine duž "y"-ose postavio je Haker²⁰⁾, ali ne za Karmansovu oblast dvojnog vjehernog nisa na koju ona jedino važi, već za idealni slučaj kada bi Karmansov dvojni vrtložni nis isnenada u nekom trenutku vremena postao viskozni. Znači da njegove izvođenje važi u idealiziranom slučaju ako su svi vrtlozi iste starosti.

Na novo uvedenim pojmom Karmanske oblasti u dvojnem vjehoru nisu moguće je uvesti dalja upštavanja. Naime, raspodela brzina duž "y"-ose u Karmansovoj oblasti se menja od vjehora do vjehora na isti

njihove povećane "starosti" t , tako da jednačina 9.17 daje raspodelu brzina za sve vihore u intervalu vremena

$$t_{11} < t_n < t_{27}$$

Grafički prikaz raspodele brzina prema jednačini 9.17 za vodu i Karmanovu vrtložnu konfiguraciju dao je Haker ¹⁹⁾ (slika 34). Sve krive se seku u jednoj tački čija je ordinata $y = h/2$, jer tu je brzina usled samog vihora koji je posmatran nula, pa ordinata - brzina predstavlja samo uticaj ostalih vrtloga koji su nezavisni od vremena. Ovo je, znači, uniformna brzina kojom se ceo sistem kreće usled međusobnog dejstva i pokazuje se da ne zavisi od viskoznosti. Otud difuzija viskoznog jezgra ne preustrokuje širenje puta u Karmanovoj oblasti.



Sl. 34. Prikaz jednačine 9.17 za vodu (Haker ²⁰⁾).

Zanimljive su presečne tačke krivih linija sa osom Y , jer je tu $v_x = 0$. U svim slučajevima prilikom posmatranja nam izgleda da se fluid okreće oko ovih prividnih središta - tačaka nulte brzine (slika

Stvarna središta ostaju tamo gde je središte obrtanja samog vihora, koje se u toku vremena ne menja, jer je difuzija uvek simetrična. Ovo samo ukazuje da se u Karmannovoj oblasti ne poklapaju središte obrtanja vihora (cirkulacija) i prividno središte oko koga se fluid obrće. Ha-ker²⁰⁾ je tako pokazao da je širenje dvojnog vihornog niza samo pri-vidno ali ne i stvarno.

Potpuno analogno se može naći i raspodela brzine u pravcu "x"-ose ako se u jednačini 9.12 stavi

$$z = x + i \cdot h/2 \quad 9.12b$$

tako da se dobija

$$v_y = \frac{\Gamma}{a} \frac{\cos\left(\frac{2\sqrt{x}}{a}\right)}{\operatorname{tgh}^2\left(\frac{\sqrt{h}}{a}\right) \left[1 - \sin\left(\frac{2\sqrt{x}}{a}\right)\right]^2 + \cos^2\left(\frac{2\sqrt{x}}{a}\right)} \quad 9.17$$

$$v_x = 0$$

Ako se sada vrtlog zameni vihorom, analogno ranijem, imamo

$$v_y = \frac{\Gamma}{a} \frac{\cosh^2\left(\frac{\sqrt{h}}{a}\right) \cos\left(\frac{2\sqrt{x}}{a}\right)}{2 \sinh^2\left(\frac{\sqrt{h}}{a}\right) \left[1 - \sin\left(\frac{2\sqrt{x}}{a}\right)\right]^2 + \cos^2\left(\frac{2\sqrt{x}}{a}\right)} +$$

$$+ \frac{\Gamma}{2\sqrt{x - \frac{a}{4}}} \exp\left(-\frac{(x - \frac{a}{4})^2}{4\sqrt{x}}\right) \quad 9.18$$

Pomeranjem koordinatnog početka u središte vihora transformacijom

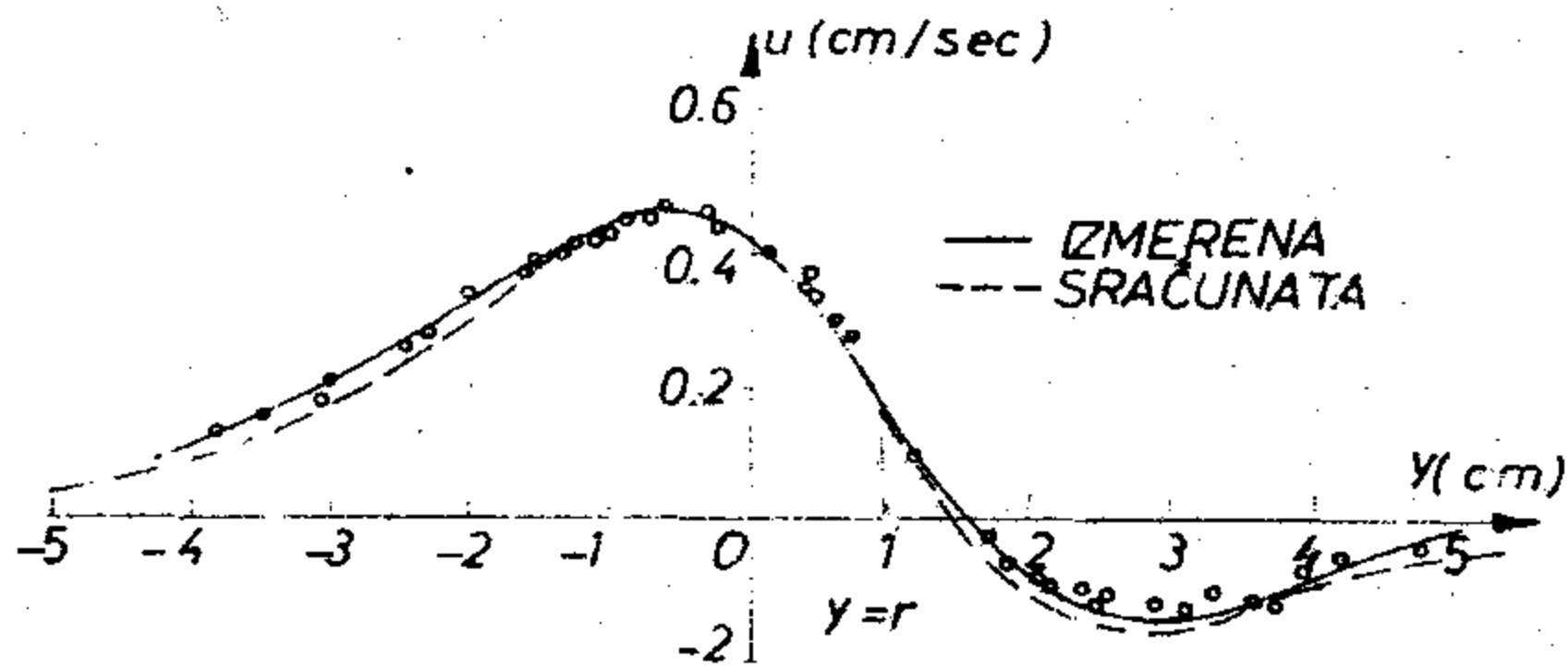
$$X = x - a/4 \quad 9.19$$

dobijamo

$$v_y = \frac{\Gamma}{a} \frac{\cosh^2\left(\frac{\sqrt{h}}{a}\right) \sin\left(\frac{2\sqrt{X}}{a}\right)}{2 \sinh^2\left(\frac{\sqrt{h}}{a}\right) \left[1 - \cos\left(\frac{2\sqrt{X}}{a}\right)\right]^2 + \sin^2\left(\frac{2\sqrt{X}}{a}\right)} +$$

$$+ \frac{\Gamma}{2\sqrt{X}} \exp\left(-\frac{X^2}{4\sqrt{X}}\right) \quad 9.20$$

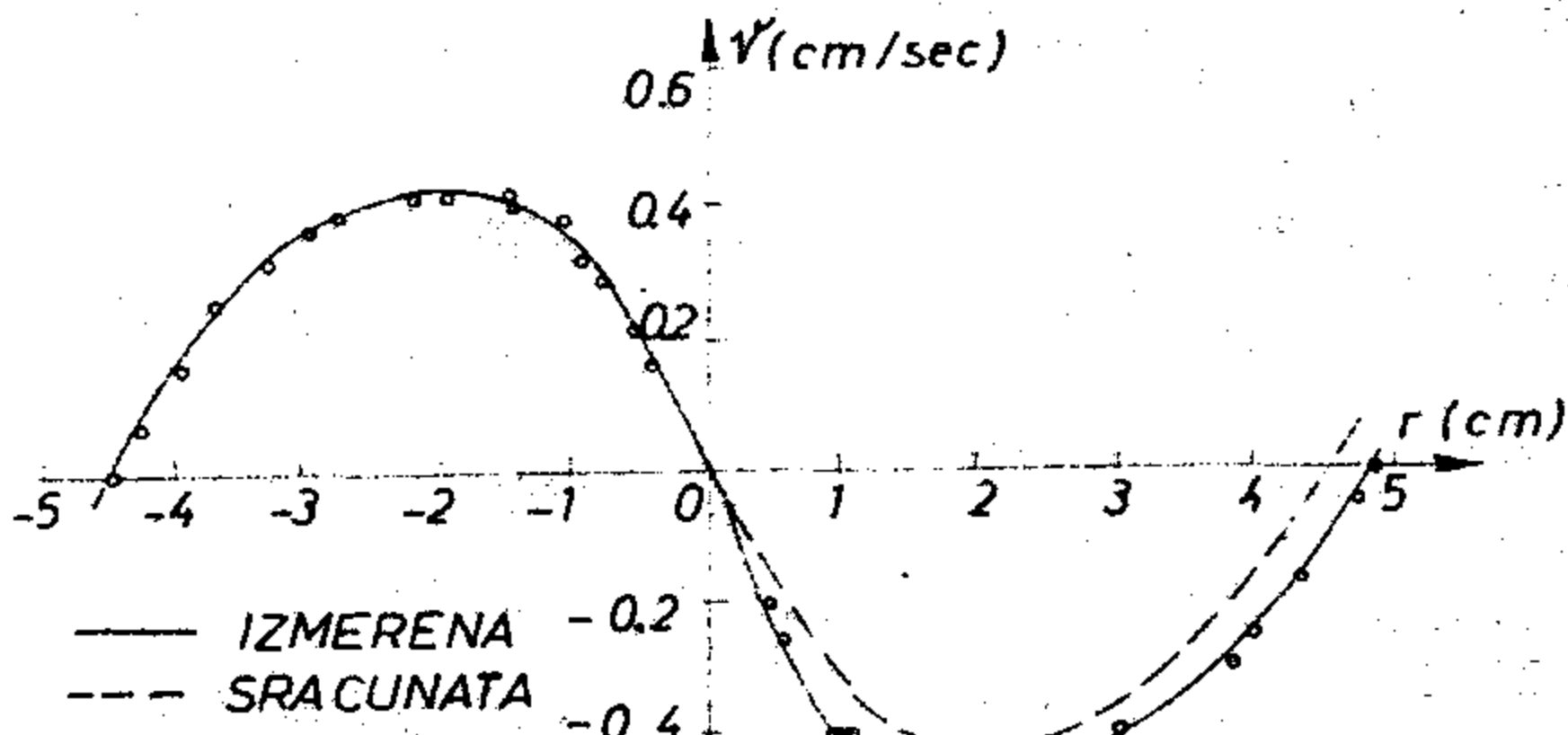
dobijaju se razine raspodele sa razine "starosti" vihora.



PODACI

$\Gamma = 5.73 \text{ cm}^2/\text{sek}$
 $h = 1.9 \text{ cm}$
 $4\sqrt{t} = 2.5 \text{ cm}^2$
 $a = 9.1 \text{ cm}$
 $h/a = 0.209$

Sl. 35. Izmereni i sračunati profili brzina u vihoru duž ose upravne na dvojni nis vihora (Time 45)



PODACI

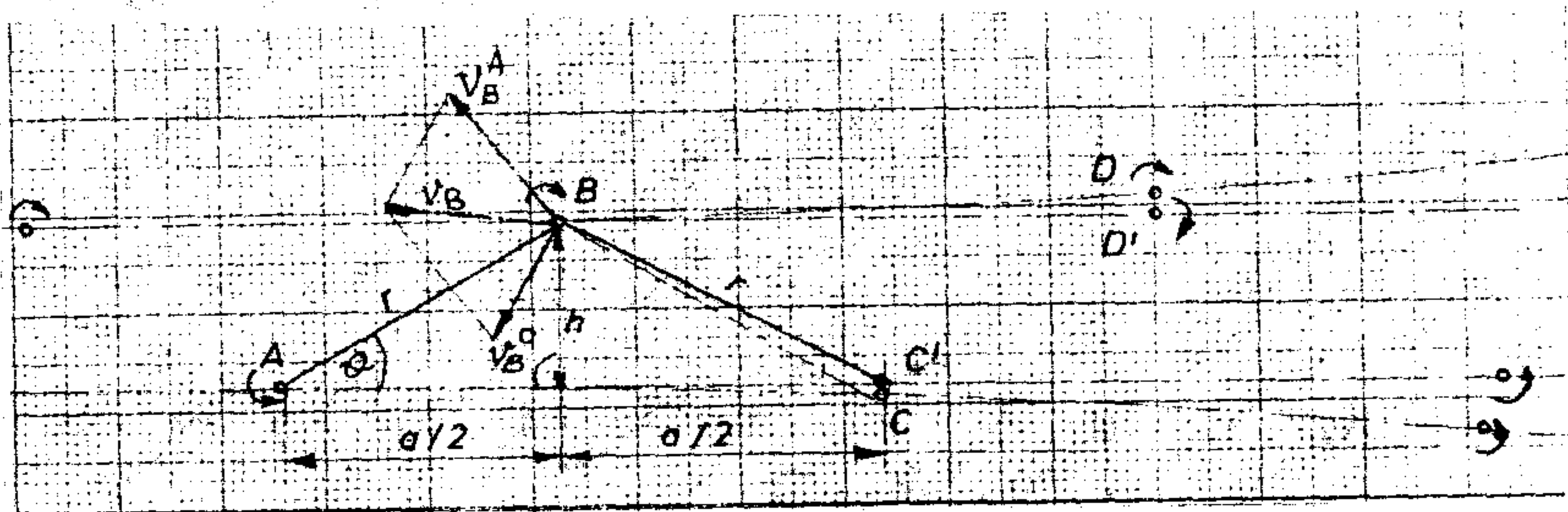
$\Gamma = 5.73 \text{ cm}^2/\text{sek}$
 $h = 1.9 \text{ cm}$
 $a = 9.1 \text{ cm}$
 $4\sqrt{t} = 2.5 \text{ cm}^2$
 $h/a = 0.209$

Sl. 36. Izmereni i sračunati profili brzina u vihoru duž ose paralelne dvojnem nisu (Time 46)

Ove u potpunosti potvrđuju ogleđna istraživanja Sluca 36) ali i 35 i 36.

10.3. Širenje dvojnog vjehernog niza usled difuzije vjehora

Od onog trenutka kada viskozna jezgra naraste tolike da dođe do središta najbližeg susjednog vjehora počinje širenje dvojnog vjehernog niza. Usrok širenja jeste difuzija viskoznog jezgra vjehora usled čega kao posledica nastaje smanjenje indukovane brzine unutar viskoznog jezgra u poradjanju sa indukovanim brzinom vrtloga. Ovo dovede do stvaranja bočne komponente brzine kao što je shematski predstavljeno na slici 37



Sl. 37. Slaganje indukovanih brzina pri difuziji vjehora.

U prvom približavanju učinilo se sledeće dve pretpostavke radi upređavanja zadatka:

1) Pretpostavljamo da je susetni vjehor B koji je homolog vjehoru A, ostao na pravoj koja je produžetak Karmánovog dvojnog vrtložnog niza.

2) Pretpostavljamo da se svi ostali vjehori takođe nalaze na pravama Karmánovog dvojnog vrtložnog niza, a ne na novoj putanji koja se širi.

Opravdanje za prvu pretpostavku zasnovano je na očekivanju da je širenje - bočno skretanje vjehora veličina nižeg reda u odnosu na uzdužno rastojanje "a". Sa ovom pretpostavkom, a obzirom da je rastojanje "r" skoro istoveliko, veličine indukovane brzine su iste, a razlika nastaje jedino u pravcu (tačan pravac dat je ertkasto na slici 37). Iz sheme je evidentno da je greška u odnosu na bočnu

sastavnicu brzine vrlo mala, dok se usdušna sastavnica tako da kompenzira smanjenje rezultujuće vrednosti inđue usled uticaja viskoznosti. Stega sledi da vihoru putuje sa manjenom brzinom i u oblasti širenja dvojnog vihornog sistema fuzije.

Opravdanje za drugu pretpostavku ne može više za prvu, jer je sigurno da širenje odnosno bočna brzina nadalje mala veličina u odnosu na usdušno rastezanje. U u očekivanju da su indukovane brzine usled ostalih vortice i manje/ukoliko su oni udaljeniji, a intenzitet je peto kao i homolognih vihora sa leve strane, jer se svi ostali kao vrtlozi. Dakle u slučaju, kada bi vihoru ležali na dvojnog Karmanovog nisa rezultujuće bočne brzine usdušne ali usled širenja javlja se izvesno skraćanje po pravcu brzine, čija se bočna komponenta smatra zanemarljivom, takva da održava konstantnu brzinu vihornog sistema.

Bočna sastavnica indukovane brzine u tački A (slika 37), čije viskozno jezgro još nije doprilo do vortice je indukovanoj brzini vrtloga u tački A.

$$v_B^A = \frac{\Gamma}{2\pi r} \cdot \frac{a}{2a} = \frac{\Gamma}{\pi a (1 + 4(h/a)^2)}$$

i ako se usvoji Karmanov razmeštajni odnos $h/a = 0,316$

$$v_B^A = \frac{\Gamma}{1,316 a \pi}$$

Bočna sastavnica indukovane brzine u tački B i C, čije viskozno jezgro je obuhvatilo središte vihora je jednačini 8,6

$$v_B^C = -\frac{\Gamma}{2\pi r} \cdot \frac{a}{2r} \left(1 - e^{-\frac{r^2}{4vt}}\right) = -\frac{\Gamma}{1,316 a \pi} \left(1 - e^{-\frac{r^2}{4vt}}\right)$$

Rezultujuća bočna sastavnica brzine u tački B u okviru učinjenih pretpostavki je

$$v_B^A + v_B^C = v_{By} = \frac{\Gamma}{1,316 a \pi} \cdot \frac{0,082 a^2}{\sqrt{t}} \quad 9.23$$

Ako se izrazi bočna sastavnica brzine kao izvod po vremenu imamo

$$\frac{dy}{dt} = \frac{\Gamma}{1,316 a \pi} \cdot \frac{-0,082 a^2}{\sqrt{t}} \quad 9.24$$

i slično učinjenim pretpostavkama uzdužna sastavnica brzine je

$$\frac{dx}{dt} = v_{Bx} = u = \text{const.} \quad \therefore \quad x = ut \quad 9.25$$

Sada ako se iz jednačina 9.24 i 9.25 eliminiše parametar "t" dobija se

$$\frac{dy}{dx} = \frac{\Gamma}{1,316 a \pi} \cdot \frac{-0,082 a^2 u \cdot \frac{1}{x}}{\sqrt{t}} \quad 9.26$$

gde je početak koordinatnog sistema usvojen tamo gde počinje širenje dvojnog vijkornog nisa (na granici sa Karmanovom oblaču). Ako radi kratkoće uvedemo nove oznake

$$\frac{\Gamma}{1,316 a \pi u} = A \quad ; \quad \frac{0,082 a^2 u}{\sqrt{t}} = B \quad 9.26a$$

tada se sadetak svodi na izračunavanje sledećeg integrala

$$y = A \int e^{-\frac{B}{x}} dx \quad 9.27$$

Uvođenjem nove sušne promenljivih

$$z = \frac{B}{x} \quad ; \quad dz = -\frac{B}{x^2} dx \quad ; \quad dx = -\frac{dz \cdot B}{z^2}$$

integral se svodi na oblik

$$y = -\frac{A \cdot B}{z} \int \frac{z^{-2}}{z^2} dz \quad 9.27a$$

Sada sprovedimo delimičnu integraciju posle čega dobijamo

$$y = AB \left[\frac{e^{-x}}{x} + \int \frac{e^{-x}}{x} dx \right]. \tag{9.25}$$

Eksponecijalna integralna funkcija je definisana kao

$$- Ei(-x) = \int_x^{\infty} \frac{e^{-t}}{t} dt > 0, \text{ za } 0 < x < \infty$$

tako da se rešenje integrala dobija u obliku

$$y = A \left[x e^{-\frac{B}{x}} - B Ei\left(-\frac{B}{x}\right) \right]. \tag{9.26a}$$

Veličina konstante A se određuje uz pomoć Kármánovog ob-
rasa za vrednost cirkulacije vrtloga, a koji glasi

$$\Gamma = 2 \sqrt{2} a u,$$

što smenom u jednačinu 9.26a daje

$$A = \frac{\Gamma}{1,316 \pi a u} = \frac{2 \sqrt{2}}{1,316 \pi} = 0,684.$$

Konstanta B, koja ima dimenziju dužine, može se izraziti
uz pomoć snadioca Rejnoldsa i usdušnog rastojanja vobora "a"
dećim transformacijama (jednačina 9.26a)

$$B = \frac{0,082 a^2 u}{V_{\infty} d} \frac{V_{\infty}^2}{V} = 0,082 \frac{u}{V_{\infty}} \frac{a}{d} Re,$$

Ako za vrednosti ovih odnosa uvrstimo one sa strane 67 dobijamo

$$B = 0,082 \cdot 0,2 \cdot 1,57 \cdot (0,281)^{-1} a Re = 0,092 a Re$$

Kada uvrstimo ove vrednosti u jednačinu 9.26a imamo

$$y = 0,685 \left[x e^{-0,092 \frac{a Re}{x}} - 0,092 a Re Ei\left(-0,092 \frac{a Re}{x}\right) \right]$$

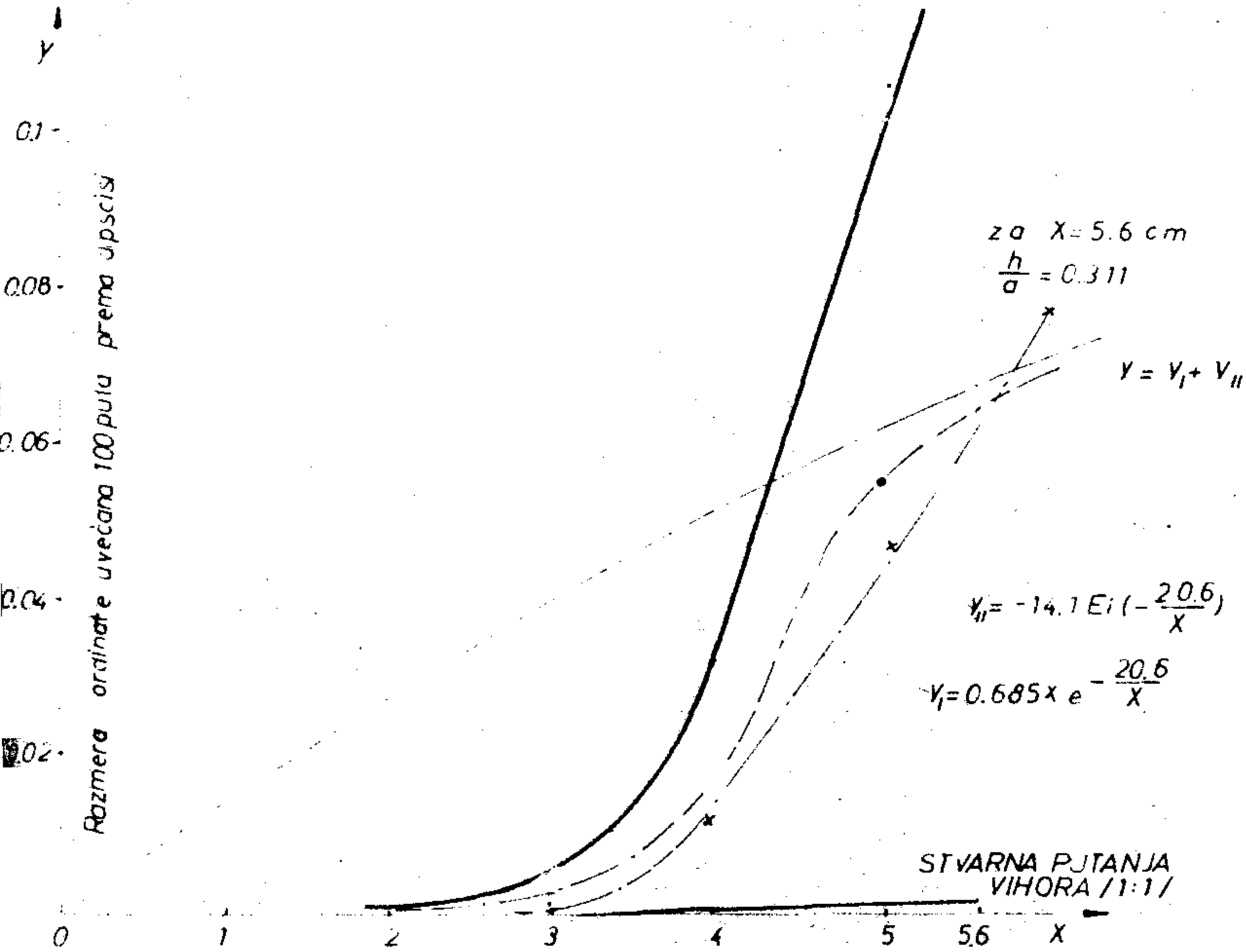
gde se promenljiva "x" menja u opsegu $0 \leq x \leq a$.

Da bi ispitati funkciju koja se javlja kao prvi član
snadioca 9.26a obradimo njen prvi izvod koji je oblika

$$\frac{dy}{dx} = A e^{-\frac{B}{x}} \left(1 + \frac{B}{x} \right), \text{ Lim } \left(\frac{dy}{dx} \right) = A, \text{ kada } x \rightarrow \infty$$

što ukazuje da kriva ima asimptotu.

Grafički prikaz jednačine 9.26a dat je na slici 36 sa



SL. 38. PUTANJE VIHORA NA POČETKU OBLASTI UTICAJA VISKOZNOSTI

Ovde je zanimljivo da su jedni istraživači tvrdili da se dvojni vihorni nisu širi pravolinijski dok su drugi prema svojim ogle-
dima navodili da se širi po nekom kvadratnom zakonu. Teorijska kriva
na slici 38 je pokazala da su i jedni i drugi u pravu, jer se u po-
četku kriva može aproksimirati parabolom, a kasnije se asimptotski
približava pravej liniji.

Međutim po isteku vremena $t_0 = \frac{R}{u}$ i levi vihor A je sve-
jim viskoznim jezgrom obuhvatio vihor B tako da izvedena jednačina
mora da se proširi dopunskim članom. Umesto jednačine 9.21 mora se use-
ti jednačina 8.6 i tako se potpuno analogno ranijem dolazi do nove re-
zultujuće indukovane brzine

$$v_B^A + v_B^C = v_{By} = \frac{\Gamma}{2\pi r} \left(e^{-\frac{r^2}{4\nu t_0}} - e^{-\frac{r^2}{4\nu t_A}} \right) \quad 9.29$$

sada su: $x_A = t_A \cdot u$, $x_G = x_A + a = u \cdot t_G$ pa je $t_G = \frac{x_A}{u} + \frac{a}{u}$

Ako zadržimo isti koordinatni početak kao ranije ($x_A = x$) i zadržimo usvojenu pretpostavku da se uzdužna brzina viora ne menja, tada se iz jednačine 9.29 dobija

$$y = \frac{\Gamma a}{2\pi u x^2} \left[\int_0^x e^{-\frac{x^2 u}{4v(x+a)}} dx - \int_0^{\frac{x}{u}} e^{-\frac{x^2 u}{4v x}} dx \right], \quad 9.30$$

odnosno sa ranije uvedenim oznakama

$$y = A \left(\int_0^x e^{-\frac{B}{x+a}} dx - \int_0^{\frac{x}{u}} e^{-\frac{B}{x}} dx \right). \quad 9.30a$$

Posle integriranja dobijamo

$$y = AB \sqrt{\frac{x+a}{B}} e^{-\frac{B}{x+a}} - \frac{x}{B} e^{-\frac{B}{x}} - \text{Ei} \left(-\frac{B}{x+a} \right) + \text{Ei} \left(-\frac{B}{x} \right) \quad 9.31$$

Važnost ove jednačine se proteže sve dok desni vior D ne dostigne viskoznu jezgrom tačku B. U tom slučaju indukovana božna sastavnica brzine počinje da se smanjuje usled viskoznosti u poredjenju sa homolegnom indukovanom brzinom u suprotnom pravcu

$$v_B^D = \frac{\Gamma}{2\pi a} \left(1 - e^{-\frac{x^2}{4vt}} \right), \quad 9.32$$

gde je vreme $t = \frac{x}{u} + \frac{1}{2} \frac{a}{u}$.. tako da izvedena jednačina dobija još jedan dopunski član

$$v_B^D + v_B^B = -\frac{\Gamma}{2\pi a} e^{-\frac{x^2}{4v(x/u + 1/2 a/u)}} \quad 9.33$$

$$y = -\frac{\Gamma}{2\pi a} \int_0^x e^{-\frac{x^2}{4v(x/u + 1/2 a/u)}} dx, \quad 9.34$$

$$y = -\frac{2\Gamma a \sqrt{4v}}{\pi \sqrt{a^2 u}} \left(x + \frac{1}{2} a \right) e^{-\frac{x^2}{4v(x + \frac{1}{2} a)}} - \text{Ei} \left(-\frac{x^2}{4v(x + \frac{1}{2} a)} \right) \quad 9.35$$

Mogade je uopštiti gornja razmatranja i napisati ponašanje viora za slučaj "x"-tog viskoznog viora

$$y = \frac{A}{B} \sum_1^m (-1)^n \frac{x+na}{B} e^{-\frac{B}{x+na}} + (-1)^n E_1 \left(-\frac{B}{x+na} \right) \Bigg| -$$

$$- \frac{A}{B} \sum_1^m (-1)^n \left(x + \frac{2n+1}{2} a \right) \frac{1}{B} \exp \left(\frac{-B'}{x + \frac{2n+1}{2} a} \right) +$$

$$+ (-1)^n E_1 \left(-\frac{B'}{x + \frac{2n+1}{2} a} \right) \Bigg| .$$

9.36

Na taj način korak po korak moguće je analitički konstruisati putanju širenja dvojnog vibornog nisa. Kada se ova odredi, moguće je odbaciti obe pretpostavke učinjene na početku, a koordinate vibera usvojiti da leže na ovoj krivoj, analogno postupku koji je izveden na početak dvojnog vibornog nisa. Rezultat će biti nova putanja na koju se očekuje da se skore poklapa sa onako izvedenom, jer su pretpostavke vrlo realne.

10. ZAKLJUČCI

Osnovni zaključak koji sleduje iz isvedene teorijske analize prekidnih strujanja, jeste da viborna kretanja fluida u tragu iza prepreke nastaju usled viskoznosti, ali istovremeno ona je i uzrok njihovog nestajanja.

Teorijske objašnjenja mehanizma nastajanja vibera iza prepreke zasnovane je na ideji da se viskoznost stvarnog fluida može posredno uvesti preko modela vrtložnog sloja u neviskoznom fluidu. Na taj način moguće je sadržati sve pretpostavke i rezultate teorije prekidnih strujanja Helmholtza i Kirchofa, a tim da graničnu strujnicu namenu vrtložnim slojem.

Postavljene jednačine nestaljenog kretanja vrtložnog sloja predstavljaju sistem nelinearnih integro-diferencijalnih jednačina.

S obzirom na njihovu složenost pristupilo se grafičkom rešavanju jednog određenog zadatka. Pokazalo se da se vrtložni sloj spirale nastava tokom vremena oko svoga slobodnog kraja i da neprekidno u toku namotavanja dolazi uporedo i do narastanja i širenja oblasti obuhvaćene ovom spiralom. Diskretne vrtložne niti, kojima je sačinjen kontinualni vrtložni sloj, se tokom vremena sve više udaljuju jedna od druge u spoljnom delu spirale, a kod slobodnog kraja vrtložnog sloja dolazi do njihoveg nagemilavanja, što znači da gustina vrtloga u vihornom jezgru raste. Osnovna karakteristika svakvog mehanizma nastajanja vihornog strujanja jeste veoma brzo obrazovanje u jezgri nered-sredjene cirkulacije, što u potpunosti potvrđuju ogledi. Kada se obrazuje jedan namotaj spiralnog vrtložnog sloja, tada njegov slobodni kraj dolazi u blizinu ivice ploče i indukuje na ovoj strani sa unutrašnje strane, koja prekazuje smanjivanje jačine vrtložnog sloja koji dalje nastaje. Ove daje objašnjenje davno opaženog naložanja između ukupne cirkulacije koja se stvori u toku obrazovanja vrtložnog sloja i one koju ima vihor u trenutku odvajanja od ploče.

Približno određivanje rezultujućeg strujanja u slučaju kada je vrtložni sloj oblika logaritmske spirale, predstavlja nepitavanje ~~teorijskog~~ razmatranja cilindričnog vrtložnog sloja.

U prilog navedenog teorijskog modela vrtložnog sloja ide i pokazana linearnost učestanosti odvajanja vihora koja je postignuta pogodnim izborom bezdimenzionih veličina.

Zanimljivi su zaključci koji se mogu izvući iz analize primenljivosti Karmanove teorije na dvojni niz vihora u traga isa tela. Analiza je zasnovana na ideji da se izbegne rešavanje nelinearnih diferencijalnih jednačina sa granične uslove dvojnog nisa vihora, time što ćemo rešenje linearne diferencijalne jednačine potencijalnog osamljenog vrtloga proširiti na dvojni niz vihora, a pri tom dokazati da se uticaj viskoznosti u ovako idealisovanom slučaju ne može zanemariti samo u izvesnim ograničenim oblastima, u kojima, se, opet sa svaku po-nasob, može primeniti poznate nustaljene rešenje difuzije vihora.

Tako je dobijeno da unutar granica unapred propisane tačnosti u dvojnem vihornom nizu isa tela postoje uvek dve oblasti:

1) Oblast neposredno isa tela u kojoj se uticaj viskoznosti može da zanemari, jer se manifestuje samo unutar viskoznih jezgara koji su s obzirom na malu "starost" vihora manji od njihovog međusobnog rastojanja.

2) Oblast širenja dvojnog vihornog niza usled difuzije viskoznih jezgara u toku njihovog "staranja".

Prva oblast se pri usvejenoj tačnosti od jednog procenta može podeliti na vrednosti značilaca Rejnoldsa veće od 716 na oblast uticaja početka dvojnog vihornog niza i Karmanovu oblast u kojoj se jedine može primeniti njegova teorija. Na taj način su objašnjeni uzroci mnogih neslaganja između oglada i Karmanove teorije kod onih istraživača koji su ispitivali dvojni vihorni niz u opsegu značilaca Rejnoldsa u kome prema ovde izvedenoj analizi ne važi Karmanova teorija.

Odredjivanje putanje vihora u dvojnem vihornom nizu izvedeno je sa sve tri oblasti ponesenob. Najsamimjivija je putanja vihora u slučaju širenja dvojnog vihornog niza u oblasti dejstva viskoznosti, koja predstavlja istovremenu potvrdu eglednih napućenja kako onih istraživača koji su tvrdili da se viheri šire po nekom parabeličnom zakonu tako i onih koji su smatrali da se viheri približno pravolinijski rasilase.

Na osnovu izloženog zaključujemo da je viskoznost osnovni pokretač i prigušivač vihernih strujanja, koje neprekidno stvaraju i uništavaju tokom vremena. Moguće je da viskozni mehanizam nastajanja i nestajanja vihora u tragu predstavlja makro-model, mikro-modela koji danas se zove turbulencija. Priroda nas i ovde zadivljuje i nadmašuje svojim maštom kao što kaže Paskal.

Autor želi da izrazi svoju duboku zahvalnost profesoru D^r. Konstantinu Veronjecu, rukovodilcu teme, za mnogobrojne diskusije, savete kao i konstruktivne kritike prilikom pregleda preliminarnih verzija svakog pojedinačnog poglavlja ovog rada.

LITERATURA

- 1) Abernathy, F. H., Kronauer, R. E.,
The Formation of Vortex Streets,
Journal of Fluid Mechanics, vol. 13, part 1, p. 1 - 18, 1962.
- 2) Ahlborn, H.,
Über den Mechanismus des Hydrodynamischen Widerstandes,
Abhandl. Geb. Naturwiss., Band 17, s. 25 - 28, 1902.
- 3) Bearman, P. W.,
Investigation of the Flow behind a Two-dimensional Model with
a Sharp Trailing Edge and Fitted with Splitter Plates,
Journal of Fluid Mechanics, vol. 21, part 2, p. 241-255, 1965.
- 4) Bénard, H.,
 - a) Formation de centres de rotation à l'arrière d'un obstacle
en mouvement.
Comp. Rend. Acad. Sci. (Paris), t. 147, Nov. 9, p. 839-842, 1908.
 - b) Sur la zone de formation des tourbillons alternés derrière un
obstacle,
Comp. Rend. Acad. Sci., t. 156, 11 Mars, p. 1003-1005, 1913.
 - c) Sur le marche des tourbillons alternés derrière un obstacle,
Comp. Rend. Acad. Sci., t. 156, 21 avril, p. 1225-1228, 1913.
 - d) Sur le lois de fréquence des tourbillons alternés détachés à
l'arrière d'un obstacle,
Verhandl. des 2 Internat. Congr. für Tech. Mech., Zürich, 12-17
sept., p. 495-501, 1926.
 - e) En résumé, les lois de Kármán sont très loin de s'appliquer
aux tourbillons des liquides réels,
Verh. 2 Int. Congr. für Tech. Mech., Zürich, 12-17 sept., p. 521-
525, 1926.
- 5) Becker, R.,
Integration des équations du mouvement d'un fluide visqueux
incompressible,
Handbuch der Physik, Strömungsmechanik, Band VIII/2, Springer
Verlag, Berlin, 1963.
- 6a) Bets, A., Petersohn, E.,
Anwendung der Theorie der freien Strahlen,
Ing. Archiv, Band. 2, s. 199 - 211, 1911.
- 6b) Bets, A.,

- 6) Betz, A.,
Wie entsteht ein Wirbel in einer wenig zähen Flüssigkeit,
Die Naturwissenschaften, Band 37, Heft 9, s. 193-196, 1950.
- 7a) Birkhoff, G.,
Formation of Vortex Street,
Journal of Applied Physics, vol. 24, p. 98-103, 1953
- b) Hydrodynamics, A Study in Logic, Fact and Similitude,
John Wiley, New York, 1954.
- c) Birkhoff, G., Sarantonello, N.,
Jets, Wakes and Cavities, Academic Press, New York, 1957.
- 8) Clifford, W. D.,
Effect of Air Pressure-Temperatures on Vortex Shedding
Frequency of Cylinders,
Journal of Aerospace Sciences, vol. 24, No. 11, p. 852, 1957.
- 9a) Delapšev, B.,
Über die Stabilität der Karmanschen Wirbelstrasse,
Z A M M, vol. 17, s. 313-327, 1937.
- b) Obobščajučij prijem opredjeljenija ustojčivosti pri iz-
voljno raspoloženih vjetrovih šerokak,
Dokladi Akademii Nauk SSSR, Novaja serija LXXVII, no. 6,
str. 985 - 988, 1951.
- 10) Donn, U.,
Über die Wirbelstrassen von geringster Instabilität,
Z A M M, Band 36, Heft 9/10, s. 367-371, 1956
- 11) Page, A. & Johansen, F. G.,
On the Flow of Air behind an Inclined Flat Plate of Infinite
Span, Proc. Roy. Soc. A, London, vol. 116, p. 170-197, 1928.
- 12a) Flachsbart, O.,
Geschichte der experimentellen Hydro und Aeromechanik insbe-
sondere Widerstandsforschung,
Handbuch der Experimental Physik, E. Schiller ed., Akademische
Verlag, G.m.b.H., Bd. 4, Teil 2, s. 3 - 61, Leipzig, 1932.
- b) Der Widerstand quer angelegter Rechteckplatten bei Reynold-
schen Zahlen 1000 bis 6000,
Z A M M, Bd. 15, s. 32 - 37, 1935.
- 13) Foch, A.,
Introduction a la Mecanique des Fluides, (p. 135),
Paris, 1932.

- 14) Pöpyl, L.,
Wirbelbewegungen hinter einem Kreiszylinder,
Sitzungsberichte. Königl. Bayer. Akad. d. Wissensch., 1913.
- 15) Goldstein, S., ed.,
Modern Developments in Fluid Mechanics, II,
The Clarendon Press, Oxford, 1938.
- 16) Golubjev, V. V.,
 - a) K teoriji vikhrevih čerag Karmana,
Mat. Sbornik, tom 40, No. 1, 1933.
 - b) Mehaničkim obrazovanjima tjagi mašinske krila,
Naučna Konferencija VVA KA, 1944.
 - c) Teorija mašinske krila i obična problema tjagi i soprotivljenij:
Obične sobranije Akademiji Nauk SSSR, 14-17 I 1944, s. 193, 194.
 - d) Tjaga mašinske krila,
Invest. Akademiji Nauk SSSR, Otdel. tehn. nauk, No. 3, 1946.
 - e) O nekatorih vapresah teoriji mašinske krila,
Učenije zapiski M G U, vypusk 138, T.KIN, 1951.
 - f) Ispjedenjanija po teoriji mašinske krila,
Učenije zapiski M G U, vypusk 134, tom IV, 1951.
 - g) O koeficijente poljemnoje dejstvija mašinske krila,
Učenije zapiski M G U, tom V, 1954.
 - h) O strojeniji sputnoj zoni iza ploše otkakajemim telom,
Invest. Akademiji Nauk SSSR, Otdel. tehn. Nauk, No. 12, 1954.
- 17) Kama, R. F.,
Three dimensional Vortex Patterns Behind Circular Cylinder,
Journal of Aeronautical Sciences, vol. 24, pp. 155-158, 1957.
- 18) Heisenberg, W.,
Die absoluten Dimensionen der Luftwirbelbewegung,
Physikalische Zeitschrift, Band 23, 1922.
- 19) Helmholtz, H.,
Über discontinuirliche Flüssigkeitsbewegungen,
Monatsbericht Berl. Akad., s. 217-228, 1868.
Pfeiffers u. : Philosophical Magazine vol. 36, p. 137-146, 1868.
- 20) Hocking, S. G.,
On the Action of Viscosity in Determining the Spacing Ratio of
a Vortex Street, Proc. Roy. Soc. London, vol. 154, p. 67-89,
1936.

- 21) Jahnke, E. und Kade, F.,
Funktionsentfeln, Teubner Verlag, 1907.
- 22) Kaden, H.,
Aufwicklung einer unstabilen Unstetigkeit
Ingenieur Archiv, Band II, s. 140-168, 19
- 23) Kármán, Th.,
 - a) Über den Mechanismus des Widerstandes den
in einer Flüssigkeit erfährt,
Göttinger Nachr. d. Gesellschaft für Wiss.
Heft 5, s. 509 - 517, 1911.
 - b) Über den Mechanismus des Flüssigkeits und
Physikalische Zeitschrift, No. 2, s. 49-5
- 24) Kirchhoff, G.,
Zur Theorie freier Flüssigkeitsstrahlen,
Journal für reine und angewandte Math., B
- 25) Klein, F.,
Über die Bildung von Wirbeln in reibungslos
Zeitschrift Math. Phys., Bd. 58, s. 259, 1
- 26a) Košin, N. S.,
O neustojčivostji vikhrevih cepoček Karmana
Dokladi Akademiji Nauk SSSR, tom XLIV, No.
- 26b) Košin, N. S., Kibalj i Rose,
Teortičeskaja gidromehanika, I i II, 6 izd
- 27) Kevannyay, L. S. G.,
Hot Wire Investigations of the Wake Behind
Reynolds Numbers,
Proc. Roy. Soc. A., A, London, vol. 198, p
- 28) Kuehmann, D.,
Report on I.U.T.A.M. (International Union
Applied Mechanics) Symposium on Concentrated
Fluids, Journal of Fluid Mechanics, vol. 2
- 29) Lipisch, A. M.,
Flow visualization, Aerc. Eng. Rev. Vol. 11
- 30) Merkovin, M. V.,
Flow around circular Cylinder a Kaleidoscope
Phenomena,
A S M E Symposium on Fully Separated Flows,

- 31) Müller, W.,
 a) Mathematische Strömungslehre, Springer Verlag, Berlin, 1928.
 b) Einführung in die Theorie der zähen Flüssigkeiten, Leipzig, 1932.
- 32) Nekrasov, A. N.,
 Difuzija vjehra, Trudi GAGI, vipusk 84, s. 1-31, 1931.
- 33) Pangeley, D. G.,
 Flow in a Viscous Vortex, Journal of Appl. Physics, Vol. , 1954.
- 34) Pierce, D.,
 Photographic Evidence of the Formation and Growth of Vorticity behind Plates accelerated from Rest in Still Air, Journal of Fluid Mechanics, vol. 11, pp450-456, 1961.
- 35) Polonskij, Ja. B.,
 Vihrevije doroški i ih pričeženija v teoriji mašušćevo krila, Dissert. V V A K A ineni Žakovskovo, 1948.
 Isto:
 Njakotorije vaproši mašušćevo krila, Inženjersij Sbornik, T. 8, 1950.
- 36) Prandtl, L.,
 a) Über Entstehung von Wirbeln in der Idealen Flüssigkeit, mit Anwendung auf die Tragflügeltheorie und andere Aufgaben, Vorträge auf dem Gebiete der Hydro- und Aeromechanik, Innsbruck, 1922.
 b) Über Wirbelablösung und deren Verhinderung, A V A , Göttingen, III Lief. s. 6-9, 1927
 c) The Generation of Vortices in Fluids of Small Viscosities, Roy. Aer. Soc., vol. XXXI, p. 729 -743, 1927.
 d) Entstehung von Wirbeln bei Wasserströmungen, Veröffentlichung der Reichstelle für den Unterrichtfilm C 1-3, 1932
 e) Theoretical and Applied Hydro and Aerodynamics, Springer, 1933.
- 37) Rayleigh, L.,
 a) Acoustical Observations, Phil. Mag, ser.5, vol.7, No.42, p.149-162, 1879.
 b) The Theory of Sound, II, Cambridge University Press, 1894.
- 38) Relf, E. R.,
 On the Sound emitted by Wires of Cylinders when exposed to Air Current, Phil. Mag., 6, vol.42, pp. 173-176, 1921.

- 39) Richards, G. J.,
Phil. Trans. Vol. 233, A, p. 279-302, (plika 16), 1934.
- 40) Rimoldi, R. P., Clifford, W. D., Basigalupi, R.J.,
Effect of Air Pressure on Vortex Shedding Frequency of Cylinders,
Jour. Aeronautical Sciences, vol. 25, No. 8, p. 532, 1958.
- 41) Rosenhead, L.,
a) An experimental investigation of the flow behind Circular Cylinders
in Channels of different Widths,
Proc. Roy. Soc. A, vol. 129, pp.115-135, 1930.
b) The Formation of Vortices from a Surface of Discontinuity,
Proc. Roy. Soc. A, vol. 134, p. 170-192, 1932.
c) Vortex Systems in Wakes,
Advances in Applied Mechanics, vol.3, Academic Press, New York, 1953.
- 42) Roshko, A.,
a) On the development of Turbulent Wakes from Vortex Streets,
N A C A Technical Report No. 1191, 1954
b) On the Drag and Shedding Frequency of Bluff Bodies,
N A C A Technical Note, No. 3169, 1954.
c) On the Effect of Air Pressure on Strouhal Number,
Journal of Aerospace Sciences, vol. 26, p. 121, 1959.
d) Experiments on the Flow past a circular Cylinder at very high Reynold
Numbers, Journal of Fluid Mechanics, vol.10, pp.345-355, 1961.
- 43) Sliozkin, N. A.,
Dinamika vjaskoj neslimajemoj kiskostji, GITTL, Moskva, 1955.
- 44) Strouhal, Č.,
Über eine besondere Art der Tonerregung,
Ann. Phys. und Chemie, Neue Folge, Bd.5, Heft 10, p.216-251, 1878.
- 45) Sullivan, R. B.,
A Two-cell Vortex Solution of the Naviers-Stokes Equations,
Jour. of Aerospace Sciences, vol. 26, p. 767-768, 1959.
- 46) Timme, A.,
Über die Geschwindigkeitsverteilung in Wirbeln,
Ingenieur Archiv, Bd. XXV, s. 209-225, 1957.
- 47) Thom, A.,
The Flow Past Circular Cylinders at Low Speeds,
Proc. Roy. Soc. A, vol. 141, p. 651-659, 1933.

- 48) Vinogradov, R. I.,
Fizičeskiye osnovi teoriji samokolebanjiji krila v ploskom potoke,
Naučno-tehničeskij sbornik, vipusk 13, 1953.
- 49) Wehrmann, O.,
Hitzdrahtmessungen in einer aufgespaltenen Karmanschen Wirbelströmung,
D V L Bericht, No. 43, 1957.
- 50) Zdravković, M.,
a) Frekventno strujanje stišljivog fluida upravno na ploču,
Izvod iz magistarske teze, Tehnika, God. XVIII, Br. 4, s. 197, 1963.
b) Comments of the Effect of Pressure and Temperature on Strouhal
Number,
A I A A Journal, September, 1965 (u štampi).

